

INSTITUTUL POLITEHNIC „TRAIAN VUIA” TIMIȘOARA
FACULTATEA DE ELECTROTEHNICA

ing. COLTEU ADRIAN

PROPRIETATI ALE LICHIDELOR MAGNETICE IN CIMPURI
ELECTROMAGNETICE STATIONARE.

T E Z A D E D O C T O R A T

BIBLIOTECA CENTRALĂ
UNIVERSITATEA "POLITEHNICA"
TIMIȘOARA

Cenducător științific

Prof.dr.ing. DE SABATA IOAN

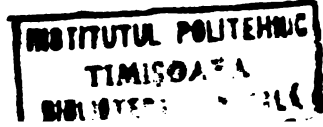
- 1 9 8 0 -

INSTITUTUL POLITEHNIC TIMIȘOARA	
BIBLIOTECĂ	
CENTRALĂ	
Volumul Nr.	402374
Dulap	310
LH.	F

C U P R I N S

Pag.

Introducere	1
Cap.1. LICHIDE MAGNETICE	3
1.1. Considerații generale	3
1.2. Metode de preparare	5
1.3. Aplicații tehnice ale lichidelor magnetice . . .	7
1.3.1. Etanșări cu lichide magnetice	8
1.3.2. Lagăre cu lichide magnetice	9
1.3.3. Conversia energiei termice în energie mecanică	10
1.4. Viscositatea lichidelor magnetice	11
1.5. Cercetări privind lichidele magnetice în ţara noastră	12
Cap.2. STUDIUL PROPIETĂILOR ELECTRICE SI MAGNETICE ALE LICHIDELOR MAGNETICE	16
2.1. Lichide magnetice în cîmp electric static. Particule conductoare în suspensie coloidală . . .	16
2.2. Cîmpul efectiv \bar{E}_0	25
2.3. Lichide magnetice în cîmp magnetic	27
2.4. Relație de tip Clausius-Mossotti pentru lichide magnetice	30
2.5. Lichide magnetice în cîmpuri electrice și magnetice statice	32
2.5.1. Cazul k_{LM}	33
2.5.2. Influența cîmpului electric asupra magnetizării	35
2.5.3. Influența cîmpului magnetic asupra polarizației electrice	36
2.5.4. Cazul k_{LL}	40
2.5.5. Particule dielectrice în suspensie coloidală .	44
2.6. Măsurarea permeabilității lichidelor magnetice .	48
2.6.1. Cilindru neliniar în cîmp magnetic exterior uniform	48
2.6.2. Elipsoid neliniar în cîmp magnetic exterior uniform	51



2.6.3. Măsurarea permeabilității magnetice ale mediilor nelineare. Rezultate experimentale . . .	54
2.7. Determinarea permeabilității lichidelor magnetice cu ajutorul galvanometrului balistic	57
2.8. Determinarea numărului de particule din unitatea de volum și a diametrului lor mediu	64
2.9. Determinarea experimentală a dependenței permittivității electrice relative de intensitatea cîmpului magnetic	66
Cap.3. FORȚE ÎN MEDII NELINIARE	74
3.1. Forțe în medii fluide nelineare	74
3.1.1. Tensorul tensiunilor	78
3.1.2. Calculul vectorului \bar{T}_n	80
3.1.3. Forțe superficiale	82
3.2. Cîmpuri electrocinetice repartizate pe suprafete	87
3.3. Forțe la suprafața de separație dintre medii nelineare în cîmp electromagnetic	97
3.3.1. Calculul densității \bar{f}_{sm}	100
3.3.2. Calculul densității \bar{f}_{se}	101
Cap.4. LICHIDE MAGNETICE ÎN REGIUNEA STATICĂ	104
4.1. Presiunea în lichide magnetice	104
4.2. Măsurarea curentilor continui intensi. Rezultate experimentale	109
4.2.1. Principiul metodei	110
4.2.2. Traductorul .	111
4.2.3. Circuitul feromagnetic	118
4.3. Levitataia magnetică /	122
CONCLUZII .	125
BIBLIOGRAFIE .	127

INTRODUCERE

Apărute relativ recent în tehnica mondială, lichidele magnetice se caracterizează prin faptul că au permeabilitatea magnetică de ordinul unităților sau chiar a zecilor, asupra lor exercitându-se forțe atunci cînd sunt plasate în cîmpuri magnetice exterioare. Aceste lichide sunt suspensii coloidale de particule magnetice în diferite lichide de bază (apă, siliconi, fluorocarburi, esteri etc) funcție de domeniul de utilizare.

Studiul teoretic al comportării lichidelor magnetice este deosebit de important avînd în vedere multiplele aplicații tehnice ale acestora.

In teza de doctorat autorul și-a propus să aducă unele contribuții la studiul comportării lichidelor magnetice aflate în cîmpuri electrice și magnetice.

Problemele studiate în teza de doctorat sunt cuprinse în 4 capitulo, primul avînd caracter introductiv.

In cap.2 se dezvoltă într-un mod original teoria proprietăților de material ale lichidelor magnetice, punînd în evidență efecte noi, neîntîlnite la alte materiale și enunțe: influențarea permisibilității electrice cu ajutorul unui cîmp magnetic, obținînd relații de forma $P = P(E; H)$ și de asemenea dependența permeabilității magnetice de intensitatea cîmpului magnetic și a cîmpului electric, adică $\mu = \mu(H; E)$.

Se prezintă apoi o metodă originală de măsurare a permeabilității lichidelor magnetice bazată pe comportarea corpurilor neliniare de formă particulară aflate în cîmp magnetic exterior omogen.

In capitolul 3 se deduce expresia densității de volum a forței ce se exercită asupra lichidelor neliniare introduse în cîmp exterior, precum și a densității forțelor ce se exercită la suprafață de separație dintre medii fluide neliniare,

atunci cînd sînt pласate în cîmp electromagnetic, suprafața parcursă de curenți superficiali de conductie și svînd sarcină liberă pe ea. Se tratează apoi în mod unitar problema cîmpurilor electrocinetice repartizate pe suprafete.

In ultimul capitol se face un studiu al lichidelor magnetice în regim static, determinînd presiunea în puncte din interiorul acestora, atunci cînd sînt pласate în cîmpuri magnetice exterioare.

Rezultatele obținute în acest capitol sînt folosite apoi la elaborarea unor metode de măsurare a curenților continui intensi precum și la explicarea levitației magnetice.

x
x x

Doresc să aduc cele mai respectuoase mulțumiri profesorului De Sabata Ioan căruia îi datorez întreaga mea formare profesională și care m-a sprijinit și îndrumat cu generozitate la elaborarea acestei lucrări.

Mulțumesc de asemenea prof. Alain Maïffert - Franța, pentru inițierea în domeniul lichidelor magnetice.

In numeroase rînduri am purtat fructuoase discuții cu membrii colectivului catedrei de Bazile electrotehnicii și cu grupul de cercetare de la catedra M.H.

Tuturor - calde mulțumiri.

CAPITOLUL 1

LICHIDE MAGNETICE

In acest capitol introductiv se prezintă unele aspecte generale în legătură cu lichidele magnetice, metodele cele mai obisnuite de preparare precum și unele dintre aplicațiile tehnice ale acestora. Se face o scurtă referire la rezultatele mai importante obținute în țara noastră în studiul lichidelor magnetice.

1.1. Considerații generale

Susceptivitatea magnetică a materialelor folosite pînă acum cîțiva ani în tehnică este cuprinsă într-un domeniu larg, avînd însă valori extreme, fie foarte mari pînă la 10^6 (superpermaloy) fie valori foarte mici, de ordinul 10^{-6} pentru materiale ca aluminiu, cupru etc. Nu existau materiale care să ai bă susceptivitatea magnetică cuprinse între aceste valori extreme.

In ultima perioadă au apărut în tehnică lichide cu proprietăți magnetice, avînd susceptivitatea magnetică de ordinul unităților sau chiar al zecilor [1, 2, 3, ..] Aceste lichide sunt suspensii coloidale de particule magnetice într-un lichid de bază care poate dîfări de la un lichid la altul, în funcție de domeniul de utilizare.

Existența suspensiilor coloidale obișnuite, în care particule fine de greutate specifică sensibil mai mare decît a lichidului de bază, pot rămîne în suspensie un timp nedefinit se explică printr-un mecanism datorat mișcării browniene a particulelor. Dacă particulele sunt însă magnetice, atunci există între ele o atracție care duce la formarea de aglomerări de particule, și în cele din urmă la separarea particu-

lelor solide de faza lichidă.

Un calcul simplu arată că energia de atracție magnetică este direct proporțională cu volumul V al particulelor. Prin urmare, micșorînd tot mai mult diametral particulelor magnetice suspendate, energia magnetică de interacțiune poate fi redusă la valori mai mici, decît energia agitației termice kT , și deci se poate ajunge la valori ale diametru-lui particulelor la care agitația termică să prevină formarea de aglomerări de particule. Aceste valori ale diametru-lui particulelor sunt cuprinse între 25 - 100 Å. La aceste dimensiuni mici ale particulelor mai apar însă și forțe de atracție de tip London care sunt invers proporționale cu puterea a 6-a a distanței dintre particule. Cînd suprafețele a două particule sferice se apropie mai mult decît la o distanță de cîteva de particulă, aceste forțe devin importante și produc aglomerări de particule.

In concluzie, pentru a preveni formarea aglomerărilor de particule trebuie impiedicată apropierea particulelor la distanțe prea mici. In cazul lichidelor magnetice acest deziderat a fost realizat prin acoperirea particulelor cu un strat de molecule adsorbante, dizolvînd un agent tensioactiv în lichidul de bază.

Stratul adsorbit pe suprafața particulelor se comportă ca o peliculă elastică care împiedică apropierea nelimitată a particulelor, substanță tensioactivă avînd deci rolul de stabilizator. Aceste suspensii coloidale se comportă ca un lichid omogen și prezintă avantajul de a avea o susceptibilitate magnetică considerabilă, care le face să interacționeze cu cîmpuri magnetice. Forța magnetică exercitată asupra acestor lichide se datorează prezenței particulelor magnetice în suspensie, avînd densitatea de ordinul 10^{17} particule pe cm^3 .

Deoarece aceste particule au dimensiuni ceva mai mici decît cea a domeniilor Weiss, fiecare constituie un magnet permanent, individual, Sub influența unui cîmp magnetic ele se orientează după direcția cîmpului, iar dacă există un gradient al cîmpului, particulele se vor deplasa, întrenînd

întreg volumul de lichid. Această proprietate a suspensiilor coloidale magnetice le face deosebit de utile în aplicații.

1.2. Metode de preparare

Metodele de preparare a lichidelor magnetice sunt legate de metodele de obținere a particulelor magnetice de dimensiuni mici care trebuie dispersate într-un lichid de bază și stabilizate.

a) Metoda mecanică de dispersare

Această metodă constă în introducerea unui amestec compus din pulbere magnetică (Fe , Cr , Ni , Fe_3O_4), lichid de bază și agent stabilizant într-o moară de oțel cu bile. Moara de o construcție specială, are o formă cilindrică și este încărcată cu 3 kg bile de oțel inoxidabil cu diametrul în jur de 12 mm. Ea se rotește cu 48 rot/min timp de cîteva zile, scoțîndu-se soluția coloidală și decantîndu-se. Se adaugă din nou la partea de material magnetic decantat lichid de bază și agent stabilizant și se reîncepe operația de măcinare. Procesul se repetă prin separarea de fiecare dată a suspensiei coloidale stabile, pînă ce cantitatea de magnetită rămasă în cupă nu mai oferă eficiență pentru măcinare. Această metodă (metoda Papell) de obținere a ferofluidelor necesită un timp lung de măcinare, de cele mai multe ori depășind 100 ore.

Măcinarea particulelor feromagnetice este dificilă, în special datorită forțelor dintre particule. Această interacțiune, de natură magnetică, se suprapune peste obișnuita interacțiune moleculară cauzată de forțele Van der Waals.

S.E.Khalofalla și G.W.Keimers au stabilit că timpul de măcinare necesar pentru a prepara un ferofluid poate fi redus foarte mult prin utilizarea potrivită a unor compuși precursori nemagnetic. Compusul precursor nemagnetic, de preferință un suboxid de fier, este măcinat la dimensiuni coloidale și dispersat într-un lichid de bază, fiind apoi transformat în forma feromagnetică chiar în suspensie, obținându-se astfel un lichid magnetic stabil.

Această tehnică reduce timpul de măcinare necesar pentru a produce suspensii coloidale magnetice stabile la mai puțin de 5% din timpul necesar prin măcinarea directă a materialului feromagnetic.

b) Metoda electrocondensării

Această metodă constă în trecerea unui curent continuu prin doi electrozi formați din metalul care se dispersează, scufundăți în lichidul de bază al suspensiei, astfel încât între electrozi să se formeze un arc electric continuu, la o densitate mare de curent. Arcul electric se obține prin depărțarea treptată a electrozilor care la începutul procesului erau în contact direct. Dispersarea are loc prin acțiunea mecanică a arcului electric asupra catodului, acesta fiind singurul electrod care se consumă, generând particulele dispersate. Această metodă are și alte variante cum ar fi înlocuirea electrozilor confecționați anterior din metalul care urma să fie dispersat, cu electrozi din Fe sau Al și introducerea metalului care urmează a fi dispersat sub formă de granule sau șpan pe fundul vasului de electrolyză. De asemenea curentul continuu poate fi înlocuit cu curent alternativ, de frecvență mai înaltă realizat cu un inductor special de alimentare. [7, 8]

c) Metoda descompunerii termice [9]

Această metodă constă în descompunerea termică a dicobalt octacarbonilului, dizolvat într-o hidrocarbură, solvent al unui polimer bine ales, conținut în soluție. Prin variația concentrației reactivului, a compozitiei materialului polimeric și a temperaturii, se poate varia mărimea medie a particulelor de la 10 Å pînă la 1000 Å.

Hess și Parker [10] au făcut un studiu aprofundat al polimerilor și solventilor pentru obținerea soluțiilor coloidale stabilizate de cobalt, studiind și proprietățile magnetice ale acestor soluții coloidale.

d) Metoda precipitării chimice.

Pentru obținerea unei dispersii de magnetit se poate urma calea precipitării chimice propusă de Blasre în 1933.

Aceasta constă în precipitarea magnetitei din soluții de săruri bi și trivalente de fier prin acțiunea hidroxidului de sodiu în exces. În literatură se dau rețete pentru obținerea lichidelor magnetice prin această metodă [11].

Având în vedere posibilitățile largi de aplicabilitate ale lichidelor magnetice în cele mai diverse ramuri ale tehnicii au apărut firme industriale specializate în producerea pe scară industrială a lichidelor magnetice (ex.: Ferrofluidics Corporation din S.U.A.).

Alegerea lichidului de bază se face în funcție de natura condițiilor în care suspensia magnetică va fi utilizată. Astfel suspensiile pe bază de fluorocarbon sunt chimic inerte și pot fi folosite în medii agresive ; cele pe bază de polifenilelor, au presiune de vapori extrem de mică și rezistă la radiații, iar cele pe bază de diesteri au vîscozitate redusă. Suspensiile pe bază de esteri pot lucra la temperaturi joase (-50°C).

1.3. Aplicații tehnice ale lichidelor magnetice

Preparate pentru prima dată în anul 1960, în cadrul cercetărilor de tehnologie spațială pentru a pune la punct un sistem de curgere controlată a combustibililor fluizi în condiții de imponderabilitate, lichidele magnetice sunt astăzi comercializate într-o bogată varietate de produse.

Cercetările tehnologice au în vedere realizarea unor suspensii ultrastabile de particule solide magnetice într-o gamă largă de lichide de bază, satisfăcîndu-se astfel cerințele diverselor aplicații în ceea ce privește proprietățile fizico-chimice ale lichidelor magnetice utilizate. Din punct de vedere mecanic și chimic lichidere magnetice păstrează caracteristicile lichidelor de bază. Deoarece ele sunt ultracentrifugate în timpul preparării, pot suporta accelerării enorme fără să devină instabile. Din punct de vedere electric, lichidele magnetice păstrează caracteristicile lichidelor de bază, neconductoare pentru lichide de bază cum sunt hidrocarburile, fluorocarburile, esterii, diestrii, apa, și conductoare pentru lichide de bază cum sunt mercurul, aliajele de galiu și alte metale lichide.

Lichidele magnetice răspund aproape instantaneu la aplicarea unui cîmp magnetic prin curgere, reposiționare sau modificarea distribuției presiunilor interne. Aceste manifestări sunt exploatați pentru soluționarea unor serie de probleme tehnice. Majoritatea aplicațiilor curente ale lichidelor magnetice se bazează pe posibilitatea de a le poziționa și controla magnetic.

1.3.1. Etanșare cu lichide magnetice

Una dintre aplicațiile importante ale lichidelor magnetice o constituie etanșarea dinamică. Se știe că dacă un dispozitiv de etanșare utilizează drept garnitură o nervură lichidă, rezultatul este o aderență perfectă atât la suprafețele în mișcare cât și la cele staționate. Nu mai este necesară o finisare superioară a suprafețelor, iar excentricitățile, inclusiv cele datorate încovoierilor nu mai sunt critice. Ideea a stat la baza etanșoarelor centrifugale în care un fluid este acționat de către forțe centrifuge pentru a se poziționa între suprafețele mobile și cele statice. Aceste etanșoare sunt utilizabile peste un anumit nivel al vitezei de rotație, sub care apar curgeri ale fluidului de lucru și scăpări în zona de etanșat.

Lichidele magnetice oferă posibilitatea înlocuirii forțelor centrifuge din etanșoarele centrifugale cu forțe magnetice. În etanșoarele cu lichide magnetice, etanșarea este perfectă independent de viteza de rotație a pieselor mobile. În figura 1 se prezintă două configurații de bază ale etanșorului cu lichid magnetic.

În mod practic etanșorul cu lichid magnetic este alcătuit dintr-un ansamblu de trepte etanșoare, fiecare fiind capabilă de a rezista la o diferență de presiune de cîteva atmosfere. Cînd presiunea maximă suportată de o treaptă este depășită, undeava pe circumferință acesteia se produce o spargere, un orificiu prin care se presurizează treapta imediat vecină. Spargerea nu are efect de pulverizare a treptei, lichidul magnetic fiind în continuare reținut de către cîmpul

..

magnetic, astfel că după înlăturarea suprapresiunii, treapta se autoformează.

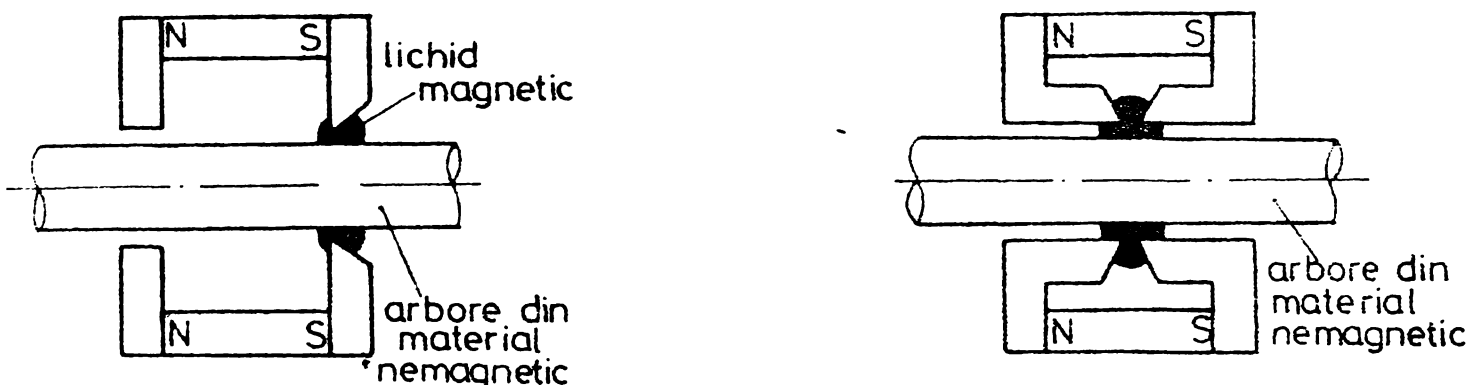


Fig.1

1.3.2. Lagăre cu lichid magnetic

Construcția de lagăre și tehnica lubrifierii explorează posibilitatea poziționării lichidelor magnetice în cimpuri de structură potrivită. Completa izolare fluidică a axului face ca cuplul de frânare să fie complet viscos și independent de sarcină. Un astfel de lagăr își găsește aplicații în instalațiile care necesită izolare electrică, acustică și de vibrații. Cu toate că aceste concepții sunt noi și interesante ele oferă capacitate joase de suportare a sarcinilor.

Funcția de lubrifiere a lichidelor magnetice a fost făcută posibilă odată cu realizarea de suspensii magnetice ultrastabile în mai multe sortimente de uleiuri. În cadrul lucrărilor de testare a oncozitatii și uzurii s-a constatat echivalenta lichenidului magnetic cu lichenidul de bază. Nemântarea gradului de uzură se dătoarește în primul rând, dimensiunilor foarte mici ale particulelor suspendate și în al doilea rând reducerii uzurii prin menținerea pe cale magnetică a ferrolubrifiantilor exact în punctele de contact ale pieselor în mișcare relativă. În literatură se prezintă pe larg problema etanșării și a lubrifierii cu lichenide magnetice [12...21].

Printre alte aplicații care exploatează capacitatea de poziționare a lichidelor magnetice, tratate în literatură se întâlnesc : comutatoare electrice fără uzuri, pisto-nul ferofluidic, supape și valve ferofluidice etc.

1.3.3. Conversia energiei termice în energie mecanică

In fig.2 se prezintă schema de principiu a unui altfel de convertor.

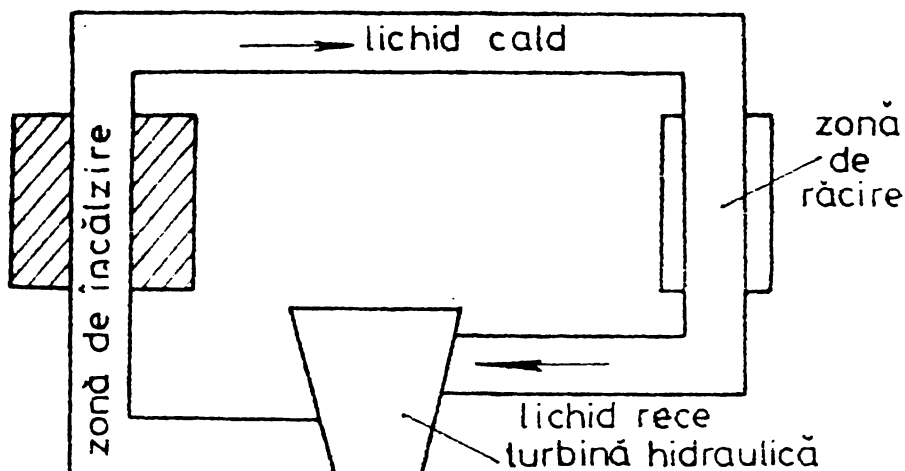


Fig.2

Dacă în interiorul zonei de cîmp magnetic lichidul e încălzit pînă în apropierea temperaturii Curie, apare o diferență de presiune între capetele zonei de cîmp magnetic, care produce o mișcare a lichidului magnetic, fiind posibilă acționarea unei turbine hidraulice.

Utilizînd cîmpuri magnetice foarte intense și lichide magnetice pe bază de fier, randamentul unui generator poate fi apropiat de randamentul limită (Carmen).

In perioada de timp care a trecut de la primele experiențe ale lui Loskowitz și Rosensweig (1967) problema rotației lichidelor magnetice a fost relativ mult corectat. Cu-

torită multiplelor posibilități de aplicare în fluidică ("dioda cu vîrtej", "trioda cu vîrtej", etc) și în alte domenii.

Se preconizează și utilizarea giroscoapelor magneto-fluidice pentru stabilizare în tehnica navală, aeronautilică și spațială.

În medicină lichidele magnetice pot fi folosite pentru tratarea aneurismelor. În literatură se prezintă numeroase alte aplicații ale lichidelor magnetice [22 ... 31].

1.4. Vîscozitatea lichidelor magnetice

Înainte de a trece la studiul teoretic al comportării ferofluidelor în cîmp magnetic și electric, se vor face cîteva referiri la vîscozitatea fluidelor magnetice.

Vîscozitatea suspensiei coloidale η se poate calcula în absența unui cîmp magnetic exterior cu ajutorul formulei lui Einstein :

$$\eta = \eta_0 (1 + \frac{5}{2} \varphi)$$

η_0 fiind vîscozitatea fluidului de bază, iar φ volumul total al particulelor disperseate în unitatea de volum.

Un efect interesant se observă în cazul suspensiilor magnetice aflate sub influența unui cîmp magnetic exterior. După cum se arată în literatură [35, 44, 45] vîscozitatea lichidelor magnetice crește în cîmp magnetic, depinzînd și de orientarea cîmpului magnetic față de direcția curgerii. Creșterea datorită cîmpului magnetic e mai mare, dacă cîmpul magnetic e orientat paralel cu direcția curgerii, față de situație cînd e perpendicular pe aceasta.

În [46] sînt date rezultate privind influența unui cîmp magnetic paralel cu direcția curgerii, în cazul unei suspensiuni coloidale de magnetită, avînd proprietățile de bază date în tabelul de mai jos.

Notăm cu η_{\parallel} vîscozitatea suspensiei în cîmp magnetic longitudinal. În cazul lichidului î rapportul η_{\parallel}/η_0

ajunge chiar pînă la 3 deja la $H = 36 \cdot 10^3$ A/m.

Nr.	Lichid de bază	ρ g/cm ³	ρ	d(A)	X _i	M_s A/m	$\eta_0 \cdot \eta$ (N.s.m ⁻²)
I	Ulei mineral	0,88	-	-	0,86	$33,5 \cdot 10^3$	$122 \cdot 10^{-3}$
II	Kerosen	0,78	0,90	136	0,37	$8,2 \cdot 10^3$	$2,2 \cdot 10^{-3}$
III	Fluoro-carbon	1,73	1,81	100	0,19	$7 \cdot 10^3$	$2 \cdot 10^{-3}$
IV	Fluoro-carbon	1,73	1,82	72	0,09	$6,6 \cdot 10^3$	$2 \cdot 10^{-3}$

In cazul lichidului II reportul $\frac{\eta(\eta)}{\eta_0}$ crește de la 1 la 2 dacă H variază între zero și $1,7 \cdot 10^6$ A/m. Lichidul III are o comportare asemănătoare, iar în cazul lichidului IV creșterea vîscozității este ceva mai redusă.

Dependența vîscozității de cîmpul magnetic și a fost analizată teoretic de mai mulți autori [47, 48]. Pentru a îngloba influența cîmpului magnetic formula vîscozității devine

$$\eta(\xi) = \eta_0 \left[1 + \frac{\varphi}{2} (5+3 \frac{\xi - \text{th} \xi}{\xi + \text{th} \xi} \sin^2 \alpha) \right]$$

unde

$$\xi = \mu_0 \frac{m}{kT}$$

Deși într-o aproximație mai bună reiese că lichidele magnetice au un caracter nenewtonian, cu o bună aproximatie ele se pot considera lichide newtoniene.

1.5. Cercetări privind lichidele magnetice în țara noastră

In țara noastră primele cercetări privind lichidele magnetice au fost efectuate la Iași în 1973 în cadrul centrului de fizică tehnică, iar apoi la catedra de fizici a

Facultății de electrotehnică. Cercetările efectuate în cadrul catedrei de fizică au condus la obținerea de noi tipuri de lichide magnetice pe bază de uleiuri speciale ca : ulei de transformator și ulei de mecanisme fine. Se obțin de asemenea lichide magnetice concentrate pe bază de apă care să poată fi folosite la depistarea fisurilor de suprafață a arborilor de mașini și tractoare în instalațiile feroflux. Tot în cadrul tehnologiei de preparare, colectivul din Iași a furnizat în 1978, pe bază de comandă, Institutului politehnic din Timișoara o cantitate de 1000 de lichid magnetic cu caracteristici speciale, necesare pentru cercetări privind funcționarea turbotransformatoarelor magnetohidrodinamice cu lichid magnetic.

Cercetările colectivului de la Iași se fac și în direcția aplicării lichidelor magnetice în practică. În acest sens s-a proiectat și construit un etanșor cu lichid magnetic pentru gaze, care însă nu etansează presiuni prea mari. Există de asemenea preocupări, în vederea folosirii lichidelor magnetice drept lubrifianti.

Din 1977 la Institutul politehnic din Timișoara se formează un colectiv, condus de acad. I. Anton care se ocupă la început cu aplicațiile lichidelor magnetice, iar mai apoi, din 1978 și cu producerea lor.

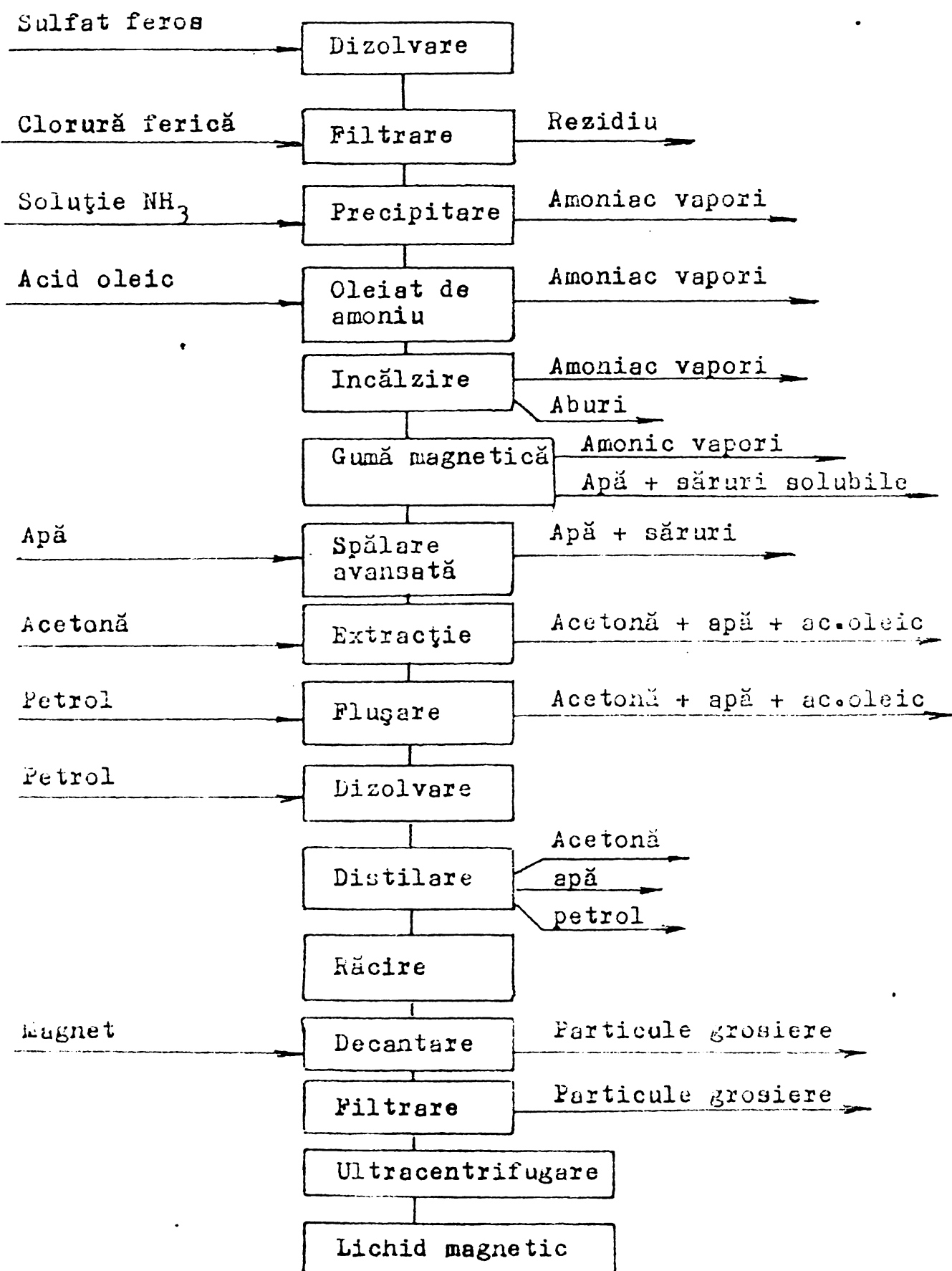
În vederea folosirii lichidelor magnetice pentru turbotransformatoare magnetohidrodinamic, care reprezintă brevet de invenție, se fac studii și cercetări privind rotația lichidelor magnetice cu ajutorul cîmpurilor magnetice.

Se proiectează și se construiesc un arbore de turărie ridicată pentru reactor chimic, etanșat cu lichid magnetic având următoarele caracteristici :

- diferența de presiune etanșată max 1,5 at
- turărie maximă 15000 rot/min
- durata de funcționare limitată doar la performanțele rulmenților
- etanșeitatea : scăpări nule.

Din 1978 încep cercetări și în vederea obținerii lichidelor magnetice. Schema de principiu pentru prepararea

lichidelor magnetice pe bază de hidrocarburi aplicată la IPT este următoarea :



După această schemă s-au obținut probe de lichid magnetic având μ_{oM_s} cuprins între 300 și 800 G_s folosite pe-

tru rotații în cîmp magnetic și probe avînd $\mu_0 M_s$ cuprins între 200 și 600 G_s folosite pentru etanșare.

Ca rezultat al cercetărilor efectuate, s-au publicat o serie de lucrări [32 ... 43].

Lichidele obținute le noi în țară sînt competitive cu cele produse de firme cu renume pe plan mondial, cum ar fi Ferrofluidic Corporation SUA.

CAPITOLUL 2

STUDIUL PROPRIETATILOR ELECTRICE SI MAGNETICE ALE LICHIDELOR MAGNETICE

In acest capitol se tratează într-un mod original teoria proprietăților de material ale lichidelor magnetice, punând în evidență dependența permitivității electrice de intensitatea cîmpului electric avînd ca parametru intensitatea cîmpului magnetic, respectiv a permeabilității magnetice de intensitatea cîmpului magnetic avînd intensitatea cîmpului electric drept parametru.

Se prezintă apoi o metodă originală de determinare experimentală a susceptivității magnetice a lichidelor magnetice, bazată pe comportarea unor corpuri neliniare în cîmp exterior omogen.

2.1. Lichide magnetice în cîmp electric static. Particule conductoare în suspensie coloidală

In etapa actuală firmele producătoare au elaborat tehnologii pentru obținerea lichidelor magnetice pe bază de fier sau magnetită în suspensie coloidală. Pentru studiul teoretic al proprietăților electrice și magnetice, în literatură se consideră că particulele în suspensie sunt identice și au o formă sferică.

Din fotografiile obținute cu ajutorul microscopului electronic prezentate în literatură, reiese că forme particulelor suspendate diferă în general de cea sferică nefiind exclusă nici posibilitatea obținerii unor lichide magnetice în care particulele să aibă în mod intenționat formă alungită. Abaterea de la forma sferică are drept urmare apariția unor efecte noi, studiate de autor în acest capitol : dependența permeabilității magnetice de un cîmp electric exterior și a

permisivitatea electrică de un cîmp magnetic. Pentru studiul teoretic al acestor efecte noi se va presupune că particulele aflate în suspensie au forma unor elipsoizi de semiaxe a , b , c .

Studiul polarizației temporare a lichidului magnetic se va face în următoarele ipoteze :

- fluidul de bază are permisivitatea electrică $\epsilon_f = \epsilon_0$ și conductivitatea electrică $\sigma_f = 0$, fiind deci un dielectric ideal.

- particulele în suspensie sunt conductoare.

In principiu pentru determinarea relației $P = P(E)$ se va face suma statistică a momentelor electrice din unitatea de volum a lichidului magnetic.

In unitatea de volum a lichidului se află atît fluid de bază avînd permisivitatea electrică ϵ_f , cît și N particule în suspensie care vor contribui la polarizarea electrică macroscopică, deoarece, așa cum se va arăta în continuare, aceste particule se comportă ca dipoli electrii de moment \bar{p} , (moment induz realizat prin separarea sarcinilor în particula neutră din punct de vedere electric), asupra cărora se exercită acțiunea de orientare a cîmpului electric activ \bar{E}_0 . Cîmpul activ \bar{E}_0 nu coincide cu cîmpul electric macroscopic \bar{E} , deoarece acesta din urmă e obținut prin medierea cîmpului microscopic pe un volum finit mic fizic care e ocupat de foarte multe particule, inclusiv de particula asupra căreia se exercită acțiunea, pe cînd cîmpul activ se obține prin medierea efectuată numai pe volumul particulei considerate și în lipsa acesteia.

Polarizarea lichidului magnetic se va calcula deci cu relația

$$P = \lim_{\Delta V \rightarrow 0} \frac{(\sum \bar{p})_f + (\sum \bar{p})_p}{\Delta V} \quad (1)$$

unde $\frac{(\sum \bar{p})_f}{V}$ reprezintă suma statistică a momentelor electrice ale fluidului de bază din unitatea de volum polarizat uniform,

iar $\frac{(\sum \bar{p})_p}{V}$ - suma statistică a momentelor electrice corespun-

402374
710 F

zătoare particulelor suspendate din unitatea de volum. Dar $(\sum \bar{p})_f = P_f \cdot \Delta V_f = P_f [\Delta V - (NV) \cdot \Delta V]$, V fiind volumul particulei, astfel încât relația (1) devine

$$P = (1-NV)(\epsilon_f - \epsilon_0)E + \lim_{\Delta V \rightarrow 0} \frac{\sum (\bar{p})_p}{\Delta V} \quad (1')$$

Se va calcula în continuare contribuția particulelor suspendate la polarizarea macroscopică a lichidului magnetic. În acest scop e necesară determinarea momentului electric echivalent unei particule având formă de elipsoid de semiaxe a, b, c plasat în cîmp exterior \vec{E}_0 dirijat după axa x.

Potențialul electric în exteriorul elipsoidului, aflat în condițiile de mai sus satisface ecuația lui Laplace, care în coordonate eliptice are forma [49]:

$$\Delta \varphi = \frac{4}{(\xi-\eta)(\eta-\zeta)(\xi-\zeta)} \left[h_\xi (\eta-\zeta) \frac{\partial}{\partial \xi} (h_\xi \frac{\partial \varphi}{\partial \xi}) + h_\eta (\xi-\zeta) \frac{\partial}{\partial \eta} (h_\eta \frac{\partial \varphi}{\partial \eta}) + h_\zeta (\xi-\eta) \frac{\partial}{\partial \zeta} (h_\zeta \frac{\partial \varphi}{\partial \zeta}) \right] \quad (2)$$

unde, corespunzător sistemului de coordonate eliptic ales

$$\left\{ \begin{array}{l} x = \pm \left[\frac{(\xi+a^2)(\eta+a^2)(\zeta+a^2)}{(b^2-a^2)(c^2-a^2)} \right]^{1/2} \\ y = \pm \left[\frac{(\xi+b^2)(\eta+b^2)(\zeta+b^2)}{(c^2-b^2)(a^2-b^2)} \right]^{1/2} \\ z = \pm \left[\frac{(\xi+c^2)(\eta+c^2)(\zeta+c^2)}{(a^2-c^2)(b^2-c^2)} \right]^{1/2} \end{array} \right.$$

parametrii lui Lamé se calculează cu relațiile

$$h_\xi = \sqrt{\frac{(\xi-\eta)(\xi-\zeta)}{2R_\xi}}, \quad h_\eta = \sqrt{\frac{(\eta-\xi)(\eta-\zeta)}{2R_\eta}}, \quad h_\zeta = \sqrt{\frac{(\zeta-\xi)(\zeta-\eta)}{2R_\zeta}}$$

$$\text{iar } R_u = \sqrt{(a^2+u)(b^2+u)(c^2+u)} \quad u = \xi, \eta, \zeta.$$

Soluția ecuației (1) se caută sub forma [49]:

$$\varphi = \varphi_0 + \varphi' \approx \varphi_0 [1 + F(\xi)] \quad (3)$$

unde φ_0 reprezintă potențialul cîmpului exterior, iar $\varphi_0 F(\xi) = \varphi'$ modificarea potențialului datorită prezenței elipsoidului conductor. Introducînd încercarea de soluție (3) în ecuația (2) rezultă ecuația pe care o satisface $F(\xi)$:

$$\frac{d^2 F}{d\xi^2} + \frac{dF}{d\xi} \frac{d}{d\xi} \ln [R_\xi (\xi + a^2)] = 0 \quad (4)$$

Din ecuația (4) rezultă

$$F(\xi) = \text{const.} \int_{\xi}^{\infty} \frac{ds}{R_s(s+a^2)}$$

limitele de integrare fiind astfel alese încît $\varphi' = 0$ pentru $\xi = \infty$. Pentru $\xi = 0$ se consideră $\varphi = 0$ și deci relația (3) ia forma

$$\varphi = \varphi_0 \left\{ 1 - \frac{\int_{\xi}^{\infty} \frac{ds}{R_s(s+a^2)}}{\int_{0}^{\infty} \frac{ds}{R_s(s+a^2)}} \right\}$$

La distanță mare de elipsoid (ξ mare)

$$\int_{\xi}^{\infty} \frac{ds}{s+a^2 R_s} \approx \frac{2}{2r^3} \quad \text{iar}$$

$$\varphi' = \frac{E_0 x}{r^3} - \frac{V}{4\pi \frac{abc}{2} \int_0^{\infty} \frac{ds}{R_s(s+a^2)}} = \frac{E_0 x V}{4\pi r^3 A_1(0)},$$

V reprezentînd volumul elipsoidului.

rezultă că elipsoidul conductor aflat în cîm exterior elogen E_0 se comportă ca un dipol electric de moment:

$$\overline{p} = \frac{\epsilon_0 \overline{E}_0 V}{A_1(0)} \quad \text{ sau } \overline{p} = \frac{\epsilon \overline{E}_0 V}{A_1(0)} \quad \text{ dacă mediul exterior}$$

are permittivitatea ϵ .

In cazul cînd elipsoidul conductor se află într-un cîmp electric exterior E_0 care face cu una din axele elipsoidului unghiul θ , și se află în planul format de semiaxele a și b, medium din exteriorul lui avînd permittivitatea ϵ_f ,

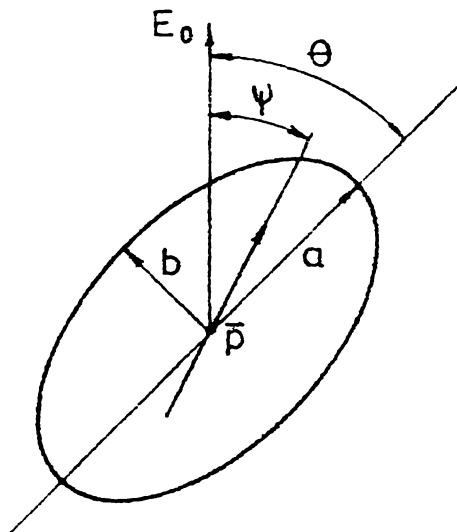


Fig.3

ca în fig.3, momentul electric \bar{p} , echivalent elipsoidului are expresia

$$\bar{p} = V \epsilon_f E_0 \left(\frac{\cos \theta}{A_1(o)} \bar{i} + \frac{\sin \theta}{A_2(o)} \bar{j} \right) \quad (5)$$

Pentru un elipsoid de revoluție alungit

$$A_1(o) = \frac{1-e^2}{2e^3} \left(\ln \frac{1+e}{1-e} - 2e \right) \quad e = \sqrt{1 - \frac{b^2}{a^2}}$$

$$A_2(o) = \frac{1}{2} \left[1 - A_1(o) \right]$$

In prezența cîmpului exterior, particulele trebuie să se orienteze sub acțiunea cuplului

$$\bar{C} = \bar{p} \times \bar{E}_0 = \epsilon_f V \cdot E_0^2 \left(\frac{1}{A_1(o)} - \frac{1}{A_2(o)} \right) \sin \theta \cos \theta \bar{k}$$

astfel încît momentalele lor electrice să devină omoparalele cu intensitatea cîmpului, a cărui direcție constituie o direcție privilegiată în corp. La această ordonare a orientării particulelor, determinată de cuplul exercitat de cîmpul extiv \bar{E}_0 .

asupra lor, se opune agitația termică astfel încât momentele electrice ale particulelor formează diferite unghiuri cu direcția cîmpului, fiind mai frecventă realizarea unghiurilor ascuțite cu această direcție privilegiată. În această situație suma momentelor din unitatea de volum e diferită de zero și deci corpul rezultă polarizat în sensul intensității cîmpului. În continuare se aplică teoria lui Langevin considerînd particule identice.

In absența unui cîmp exterior, toate direcțiile din spațiu sunt în mod egal îndreptățite și de aceea numărul de particule ce au axa mare cuprinsă între θ și $\theta+d\theta$, φ și $\varphi+d\varphi$ e proporțional cu unghiul solid elementar corespunzător, adică probabilitatea ca particula să aibă axa mare cuprinsă în unghiul elementar considerat este :

$$dP = \text{const} \sin\theta d\theta d\varphi$$

In prezența cîmpului exterior E_0 , în care fiecare particulă are energie potențială :

$$W = \int cd\theta = - \frac{\varepsilon_f V E_0^2}{2} \left[\frac{1}{A_1(\theta)} - \frac{1}{A_2(\theta)} \right] \cos^2\theta + C_1 \quad (\text{const}) \quad (6)$$

această probabilitate în acord cu repartitia Maxwell Boltzmann devine

$$dP = \text{const. } e^{-\frac{W}{kT}} \sin\theta d\varphi d\theta \quad (7)$$

unde constanta din relația (7) se determină din condiția de normare, care în cazul unei mulțimi continue de stări se exprimă prin integrală

$$\int dP = 1$$

Iuată asupra tuturor valorilor posibile ale variabilelor independente.

Se obține

$$\text{const} = \frac{1}{2\pi} \int_0^{\pi} e^{-\frac{W}{kT}} d(\cos\theta)$$

Momentul electric mediu al unei particule se calculează cu formula mediei statistice

$$\overline{\overline{p}} = \int \overline{p} dP = \text{const} \int_0^{\pi} \int_0^{2\pi} \overline{p} e^{-\frac{W}{kT}} d(\cos\theta) d\varphi$$

Singura componentă nenulă a momentului mediu e aceea în lungul direcției cîmpului exterior. De aceea momentul mediu coincide în modul cu proiecția lui după direcția cîmpului

$$\overline{p} = \int (p \cos\psi) dP = \text{const} \int_0^{\pi} \int_0^{2\pi} (p \cos\psi) e^{-\frac{W}{kT}} d(\cos\theta) d\varphi$$

Contribuția la polarizarea lichidului magnetic datorită prezenței particulelor, după simplificarea cu factorul constant $e^{-Cl/kT}$, va fi

$$P_{\text{part}} = \lim_{\Delta V \rightarrow 0} \frac{\sum \overline{p}_D}{\Delta V} = \\ = N \epsilon_0 \epsilon_f V \frac{\int_0^{\pi} \left[\frac{\cos^2\theta}{A_1(o)} + \frac{\sin^2\theta}{A_2(o)} \right] e^{\frac{\epsilon_f V E_o^2}{2kT} \left(\frac{1}{A_1(o)} - \frac{1}{A_2(o)} \right) \cos^2\theta} d(\cos\theta)}{\int_0^{\pi} e^{\frac{\epsilon_f V E_o^2}{2kT} \left(\frac{1}{A_1(o)} - \frac{1}{A_2(o)} \right) \cos^2\theta} d(\cos\theta)} \quad (8)$$

Notînd cu $\alpha = \left[\frac{1}{A_1(o)} - \frac{1}{A_2(o)} \right] \frac{\epsilon_f \cdot V E_o^2}{2kT}$ relația (8) devine

$$P_{\text{part}} = N V \epsilon_0 \epsilon_f \left[\frac{1}{A_2(o)} + \left(\frac{1}{A_1(o)} - \frac{1}{A_2(o)} \right) \frac{\int_0^{\pi} \cos^2\theta e^{\alpha \cos^2\theta} d(\cos\theta)}{\int_0^{\pi} e^{\alpha \cos^2\theta} d(\cos\theta)} \right] \quad (8')$$

Expresia care depinde de α , adică de intensitatea cîmpului activ E_o din relația (8') și notată cu $I(\alpha)$ se obține

te pune sub forma raportului a două funcții factorial incomplete :

$$I(\alpha) = \frac{\int_0^\alpha t^{1/2} e^{-t} dt}{\int_0^\alpha t^{-1/2} e^{-t} dt} = - \frac{1}{\alpha} \frac{(\frac{1}{2}, -\alpha)!}{(-\frac{1}{2}, -\alpha)!}$$

unde

$$\int_0^y e^{-t} t^x dt = (x, y)!$$

fiind valabile următoarele relații :

$$(x, \infty)! = x!$$

$$\frac{(x, y)!}{(x, \infty)!} = \frac{y^{x+1}}{(x+1)!} (1 - \frac{y}{1!} \frac{x+1}{x+2} + \frac{y^2}{2!} \frac{x+1}{x+3} - \frac{y^3}{3!} \frac{x+1}{x+4} + \dots)$$

Sub formă dezvoltată

$$I(\alpha) = \frac{\frac{1}{3} + \alpha \frac{1}{5} + \frac{\alpha^2}{2!} \frac{1}{7} + \dots + \frac{\alpha^k}{k!} \frac{1}{(2k+3)}}{1 + \alpha \frac{1}{3} + \frac{\alpha^2}{2!} \frac{1}{5} + \dots + \frac{\alpha^k}{k!} \frac{1}{(2k+1)}} \quad (9)$$

Pentru valori mici ale parametrului α , expresia (9) ia forma

$$I(\alpha) = \frac{1}{3} + \frac{1}{45} \alpha + \frac{29}{21 \cdot 45} \alpha^2 + \dots \quad (9')$$

Expresia (9) nu poate fi folosită pentru cazul valorilor mari ale parametrului α , adică în cazul cîmpurilor mari, motiv pentru care se va căuta o dezvoltare esențială a funcției $I(\alpha)$:

$$I(\alpha) = \frac{\int_{-1}^1 u^2 e^{\alpha u^2} du}{\int_{-1}^1 e^{\alpha u^2} du} = \frac{\int_0^1 u^2 e^{\alpha u^2} du}{\int_0^1 e^{\alpha u^2} du} = \frac{F(\alpha)}{G(\alpha)}$$

Se observă că $\frac{dG}{d\alpha} = F(\alpha)$ și

$$F(\alpha) = \int_0^1 u^2 e^{\alpha u^2} du = \frac{1}{2\alpha} [e^\alpha - G(\alpha)]$$

adică

$$\frac{dG}{d\alpha} + \frac{G}{2\alpha} = \frac{e^\alpha}{2\alpha} \quad (10)$$

Soluția ecuației (10) este de forma

$$G = e^\alpha (a_0 + \frac{a_1}{\alpha} + \frac{a_2}{\alpha^2} + \dots + \frac{a_n}{\alpha^n} + \dots)$$

Coefficienții având valorile

$$a_0 = 0, \quad a_1 = \frac{1}{2}, \quad a_2 = \frac{1}{2^2}, \quad a_3 = \frac{1 \cdot 3}{2^3}, \quad \dots \quad a_n = \frac{1 \cdot 3 \cdot 5 \cdot \dots \cdot (2n-3)}{2^n}$$

În final

$$G(\alpha) = \frac{e^\alpha}{2\alpha} (1 + \frac{1}{2\alpha} + \frac{1 \cdot 3}{2^2 \alpha^2} + \dots + \frac{1 \cdot 3 \cdot 5 \cdot \dots \cdot (2n+1)}{2^n \alpha^n} + \dots)$$

$$F(\alpha) = \frac{e^\alpha}{2\alpha} (1 - \frac{1}{2\alpha} - \frac{1}{2^2 \alpha^2} - \dots - \frac{1 \cdot 3 \cdot 5 \cdot \dots \cdot (2n-3)}{2^n \alpha^n} - \dots)$$

căstfel încât dezvoltarea lui $I(\alpha)$ pentru valori mari ale lui α ia forma

$$I(\alpha) = 1 - \frac{1}{\alpha} - \frac{1}{2\alpha^2} - \dots$$

Se observă deci că

$$\lim_{\alpha \rightarrow \infty} I(\alpha) = 1$$

adică din punct de vedere fizic aceasta corespunde faptului că toate particulele sunt orientate după direcția cimpului iar din relația (8') rezultă

$$P_{part} = Np$$

Sistemul de ecuații, care determină în mod implicit legătura dintre polarizația P și intensitatea cîmpului electric se scrie în forma

$$\begin{cases} P = (1-NV)(\epsilon_f - \epsilon_0)E + NV\epsilon_f E_0 f(\alpha) \\ E_0 = E_0(E, P) \end{cases} \quad (11)$$

unde s-a folosit notația

$$f(\alpha) = \frac{1}{A_2(0)} + \left[\frac{1}{A_1(0)} - \frac{1}{A_2(0)} \right] I(\alpha),$$

fiind specificat anterior.

Dacă se cunoaște dependența cîmpului efectiv de E și P , sistemul (11) va putea fi rezolvat cu ușurință grafic, pentru a obține curba $P = P(E)$.

2.2. Cîmpul efectiv \bar{E}_0

Prin cîmp efectiv se înțelege cîmpul care se exercită asupra particulei considerate, diferind de cîmpul macroscopic \bar{E} . Pentru a pune în legătură cîmpul efectiv \bar{E}_0 cu mările macroscopice \bar{E} și \bar{P} , se ia o suprafață sferică Σ de rază "a" - infinit mic fizic - centrată pe particula (dipolul) considerată. În aceste condiții se poate scrie :

$$\bar{E}_0 = \bar{E}_1 + \bar{E}_2$$

unde :

\bar{E}_1 reprezintă cîmpul produs în centrul sferei de toate particulele din exteriorul ei, iar \bar{E}_2 cîmpul electric produs de toate particulele din interiorul suprafeței Σ , cu excepția sarcinii dipolului considerat [50].

Dacă toate particulele din interiorul suprafeței Σ le considerăm echivalente cu un dipol \bar{m} (toate particulele avînd momentul electric orientat la fel) rezultă $\bar{E}_2 = 0$. Cîmpul \bar{E}_1 se poate calcula prin suma dintre cîmpul electric din interiorul unei cavități sferice de rază "a" și un "cîmp de reacție" ce ține cont de influența particulelor din interiorul suprafeței Σ asupra exteriorului ei, adică

$$\bar{E}_o = \bar{E} \frac{3\varepsilon}{2\varepsilon+\varepsilon_0} + \frac{\bar{J}}{4\pi\varepsilon_0 a^3} \frac{2(\varepsilon-\varepsilon_0)}{2\varepsilon+\varepsilon_0} \quad (12)$$

In general, particulele pot avea un moment electric indu si unul permanent, adica $\bar{J} = \bar{J}_p + \bar{J}_i$.

Asupra unei particule de moment electric ($\bar{p}_p + \bar{p}_i$) se va exercita cuplul

$$\begin{aligned} \bar{C} &= (\bar{p}_p + \bar{p}_i) \times \bar{E}_o = \bar{p}_p \times \bar{E}_o = \\ &= \bar{p}_p \times \left[\bar{E} \frac{3\varepsilon}{2\varepsilon+\varepsilon_0} + \frac{\bar{J}_p + \bar{J}_i}{4\pi\varepsilon_0 a^3} \frac{2(\varepsilon-\varepsilon_0)}{2\varepsilon+\varepsilon_0} \right] \\ &= \bar{p}_p \times \left[\bar{E} \cdot \frac{3\varepsilon}{2\varepsilon+\varepsilon_0} + \frac{\bar{J}_i}{4\pi\varepsilon_0 a^3} \frac{2(\varepsilon-\varepsilon_0)}{2\varepsilon+\varepsilon_0} \right] \end{aligned} \quad (13)$$

Deci in calculul energiei potențiale care intervine în statistica Boltzman, se poate considera drept cimp efectiv cimpul dat de relația (13) în locul celui dat de relația (12).

Dacă influențele reciproce ale particulelor nu sunt prea însemnate, relația (13) se poate particulariza și se obține

$$\bar{E}_o = \bar{E} + \frac{\bar{P}}{3\varepsilon_0} \quad (14)$$

adică tocmai cimpul efectiv calculat de Lorentz.

In cazul in care particulele se influențează foarte puternic reciproc, scoaterea dipolilor din interiorul suprafeței Σ nu modifică prea mult particulele din exteriorul suprafeței Σ și cimpul efectiv va fi identic cu cel calculat de Onsager :

$$\bar{E}_o = \bar{E} \cdot \frac{3\varepsilon}{2\varepsilon+\varepsilon_0} \quad (15)$$

In cazul lichidelor magnetice cimpul efectiv care se exercită asupra particulelor va fi cimpul Lorentz dat de relație (14), putindu-se neglija interacțiunea reciprocă a particulelor. Cu (14) legătura neliniară dintre P și E pentru

lichide magnetice va fi dată de

$$P = \frac{(1-NV)(\epsilon_f - \epsilon_0) + NV\epsilon_f f(\alpha)}{1 - \frac{NV\epsilon_f}{3\epsilon_0} f(\alpha)} E \quad (16)$$

unde $f(\alpha)$ și α au fost specificate anterior.

In cazul cîmpurilor foarte mici, susceptivitatea electrică a lichidului magnetic tinde către

$$X_e = \frac{(1-NV)(\epsilon_{fr}-1)+NV\epsilon_{fr}\left[\frac{1}{A_2(o)}+\left(\frac{1}{A_1(o)}-\frac{1}{A_2(o)}\right)\frac{1}{3}\right]}{1-\frac{NV}{3}\epsilon_{fr}\left[\frac{1}{A_2(o)}+\left(\frac{1}{A_1(o)}-\frac{1}{A_2(o)}\right)\frac{1}{3}\right]} \quad (17)$$

iar pentru cîmpuri intense

$$X_e = \frac{(1-NV)(\epsilon_{fr}-1)+NV\epsilon_{fr}\frac{1}{A_1(o)}}{1-\frac{NV}{3}\epsilon_{fr}\frac{1}{A_1(o)}} \quad (18)$$

Din relația (18) se observă că și în cîmpuri foarte intense, deși toate particulele în suspensie s-au orientat după direcția cîmpului exterior polarizarea P nu tinde către o valoare de saturare. Acest lucru e posibil, deoarece momentul echivalent particulei în suspensie depinde de intensitatea cîmpului, crescînd odată cu ea.

2.3. Lichide magnetice în cîmp magnetic

Determinarea dependenței magnetizației macroscopice a lichidului magnetic, L , de intensitatea cîmpului magnetic H , se va face considerînd că particulele în suspensie au un moment magnetic permanent m dirijat după axa mare.

Se consideră de asemenea că permeabilitatea magnetică a fluidului de bază este μ_0 și se neglijază viscozitatea fluidului de bază.

Magnetizarea lichidului în prezența unui cîmp exterior H , va fi prin orientare, suma statistică a momentelor magneti-

tice din unitatea de volum, conform statisticii Boltzmann conduce la expresia

$$M = N \cdot m \frac{\int_0^{\pi} \cos \theta e^{-\frac{\mu_0 m H_0}{kT}} \cos \theta d(\cos \theta)}{\int_0^{\pi} e^{-\frac{\mu_0 m H_0}{kT}} \cos \theta d(\cos \theta)} \quad (17)$$

sau

$$M = N \cdot m \left(c \operatorname{th} \gamma - \frac{1}{\gamma} \right) = N \cdot m \cdot L(\gamma)$$

unde : $L(\gamma) = c \operatorname{th} \gamma - \frac{1}{\gamma}$ reprezintă funcția lui Langevin.

$$\gamma = \frac{\mu_0 m}{kT} H_0 (H, M)$$

iar H_0 = cîmpul efectiv care se exercită asupra particulei. Neglijînd interacția reciprocă a particulelor suspendate, cîmpul efectiv va fi de tip Lorentz și sistemul de ecuații ce determină dependența $M(H)$ se va scrie

$$\begin{cases} \frac{M}{M_s} = L(\gamma) \\ \gamma = \frac{\mu_0 m}{kT} \left(H + \frac{M}{3} \right) \end{cases} \quad (18)$$

Sistemul (18) poate fi rezolvat grafic cum indică fig.4, după ce în prealabil a fost pus sub forma (18')

$$\begin{cases} \frac{M}{M_s} = L(\gamma) \\ \frac{M}{M_s} = \frac{3kT}{\mu_0 m^2 N} \gamma - \frac{3H}{N \cdot m} \end{cases} \quad (18')$$

cunoscută în literatură.

În cîmpuri magnetice slabe, $L(\gamma) = \frac{\gamma}{3}$ și magnetizația devine o funcție liniară de H

$$M = \frac{N \mu_0 m^2}{3kT} \cdot \frac{1}{1 - \frac{N \mu_0 m^2}{9kT}} H \quad (19)$$

Relația (19) dă posibilitatea aprecierii numărului de particule din unitatea de volum, precum și a dimensiunii me-

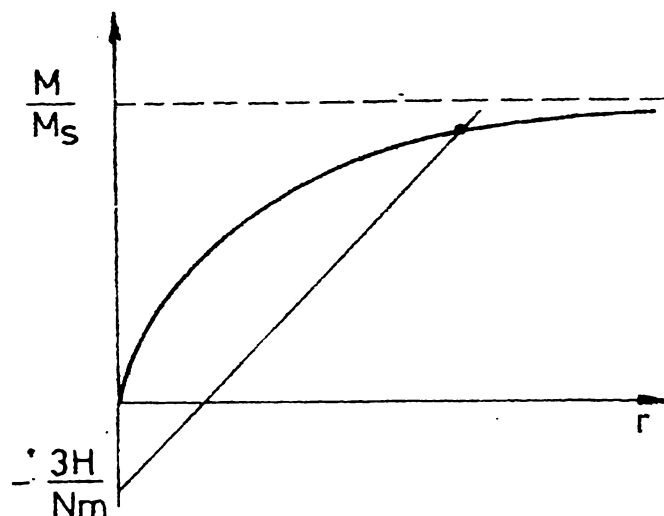


Fig.4

dii ale lor (un lichid echivalent având particule identice, sféricice) prin măsurarea magnetizației de saturatie M_s și a susceptivității initiale X_i . Astfel :

$$\frac{Nm^2\mu_0}{3kT} = \frac{X_i}{1 + \frac{X_i}{3}}$$

Cu $M_s = N \cdot m$ rezultă momentul magnetic al particulei în forma:

$$m = \frac{3kT}{\mu_0} \frac{X_i}{1 + \frac{X_i}{3}} \frac{1}{M_s} \quad (20)$$

și

$$N = \frac{\mu_0 m^2 (1 + \frac{X_i}{3})}{X_i} \quad (21)$$

Notind cu ρ , ρ_ℓ și ρ_m densitățile lichidului magnetic, a lichidului de bază și a particulelor magnetice, diametrul mediu al acestora se poate calcula cu relația

$$D = \sqrt[3]{\frac{18 X_i k T (\rho - \rho_\ell)}{\mu_0 \pi m^2 (1 + X_i/3) (\rho_m - \rho_\ell)}} \quad (22)$$

unde s-a ținut cont de faptul că raportul între volumul parti-

culelor și volumul lichidului e dat de

$$\frac{V_m}{V} = \frac{\rho - \rho_l}{\rho_m - \rho_l},$$

adică

$$NV_{part} = \frac{\rho - \rho_l}{\rho_m - \rho_l}.$$

In concluzie se observă că lichidele magnetice au proprietățile mediilor paramagnetice. Din cauza permisibilității lor magnetice de ordinul unităților sau chiar a zecilor, deci mult mai mare decât cea a substanțelor paramagnetice obișnuite, lichidele magnetice se mai numesc și „superparamagnetice”.

2.4. Relație de tip Clausius-Mossotti pentru lichide magnetice

In expresiile densităților de forță ce se exercită asupra lichidelor magnetice apare derivata magnetizației în raport cu densitatea lichidului, motiv pentru care se va stabili relația $L = M(\rho)$.

Numărul de particule din unitatea de volum poate fi exprimat în funcție de densități, în forma

$$N = \frac{\rho}{V(\rho_m - \rho_l)} - \frac{\rho_l}{V(\rho_m - \rho_l)}, \quad (23)$$

unde V reprezintă volumul particulei.

Introducind relația (23) în sistemul (18), și considerând momentul magnetic al particulei $m = L_s^* V$, L_s^* fiind magnetizarea de saturare a materialului din care sunt făcute particulele, rezultă :

$$\left\{ \begin{array}{l} L = \frac{L_s^* L(t)}{(\rho_m - \rho_l)} (\rho - \rho_l) \\ \gamma^t = \frac{\mu_0 L_s^* V}{kT} \left(H + \frac{L}{3} \right) \end{array} \right. \quad (24)$$

Sistemul (24) scoate în evidență dependența lui L de ρ . Deriva-

ta $\frac{\partial M}{\partial \rho}$ se calculează ușor, și rezultă

$$\left\{ \begin{array}{l} \frac{\partial M}{\partial \rho} = \frac{\frac{M_s^*}{\rho_m - \rho_e} L(\gamma)}{1 - \frac{M_s^*}{(\rho_m - \rho_e)} \frac{\mu_0 M_s^* V}{3kT} \cdot \frac{\partial L}{\partial \gamma} (\rho - \rho_e)} \\ \gamma = \frac{\mu_0 M_s^* V}{kT} \left(H + \frac{M}{3} \right) \end{array} \right. \quad (25)$$

In sistemul (25) derivate funcției lui Langevin în raport cu γ se poate pune sub forma

$$\frac{\partial L}{\partial \gamma} = \frac{1}{\gamma^2} - \frac{1}{\sinh^2 \gamma} = 1 - \left(\coth^2 \gamma - \frac{1}{\gamma^2} \right)$$

sau

$$\frac{\partial L}{\partial \gamma} = 1 - L(\gamma) \left[L(\gamma) + \frac{2}{\gamma} \right]$$

funcția $L(\gamma)$ fiind dată în tabelul de mai jos :

γ	0	1	2	3	4	5	6	7	8	9	10	20	30	40	50	∞
$L(\gamma)$	0	0,31	0,53	0,67	0,75	0,83	0,85	0,87	0,89	0,91	0,95	0,966	0,975	0,98	1	

Pentru valori mici ale cîmpului magnetic, $L(\gamma) = \frac{\gamma}{3}$ și $(\frac{\partial L}{\partial \gamma}) = \frac{1}{3}$ iar din sistemele (24) și (25) rezultă

$$M = \frac{(\rho - \rho_e) a}{1 - \frac{(\rho - \rho_e) a}{3}} H \quad (26)$$

unde

$$\frac{\partial M}{\partial \rho} = \frac{a}{\left[1 - \frac{(\rho - \rho_e) a}{3} \right]^2} H \quad (27)$$

unde

$$a = \frac{\mu_0 M_s^{*2} V}{3kT(\rho_m - \rho_e)}$$

Legătura dintre permeabilitatea magnetică și densitatea rîchidului magnetic se stabilește ușor și rezultă

$$\rho = \rho_\ell + \frac{3}{a} \frac{k_r^{-1}}{k_r + 2} \quad (28)$$

In cîmpuri magnetice intense, $L(\gamma) \approx 1$, $(\frac{\partial L}{\partial r}) = 0$ și din (24) și (25) rezultă

$$M = \frac{M_s^*}{\rho_m - \rho_\ell} (\rho - \rho_\ell) \quad (29)$$

$$\frac{\partial M}{\partial \rho} = \frac{M_s^*}{\rho_m - \rho_\ell} \quad (30)$$

Rezolvarea sistemelor (24) și (25) se poate face grafic ca în fig.5 și rezultă că pentru cîmp magnetic constant magnetizația crește cu creșterea densității lichidului magnetic (la același lichid de bază).

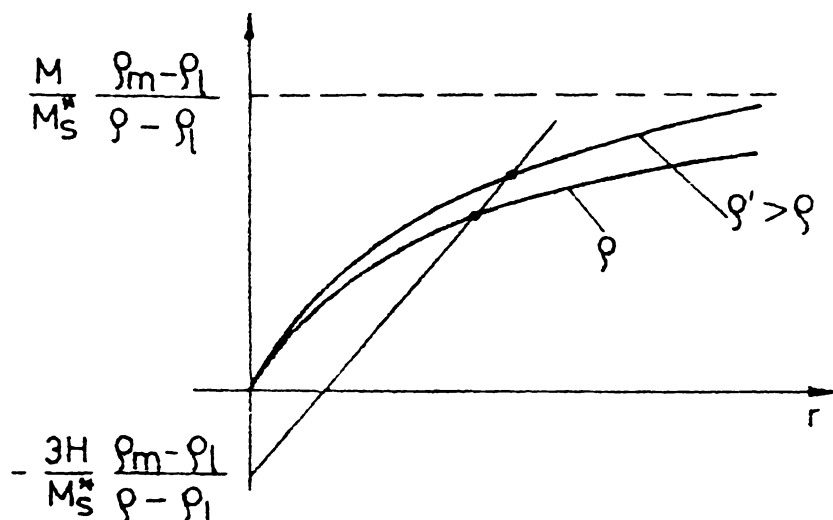


Fig.5

In toate relațiile de mai sus magnetizația lichidului devine zero cînd $\rho = \rho_\ell$, lucru evident, deoarece în acest caz nu mai există particule suspendate în lichidul de bază.

2.5. Lichide magnetice în cîmpuri electrice și magnetice statice

In cazul lichidelor magnetice a căror particule în suspensie au o formă diferită de cea sferică, există posibilitatea că magnetizația lichidului să fie influențată de pre-

zența unui cîmp electric, avînd în vedere acțiunea de orientare a particulelor de către cîmpul electric. De asemenea și polarizația lichidului va putea fi influențată de prezența unui cîmp magnetic. La astfel de lichide, deci permittivitatea electrică și permeabilitatea magnetică vor fi funcție de intensitățile cîmpurilor electric și magnetic.

2.5.1. Cazul $E \parallel H$

Se vor stabili dependențele menționate mai sus în următoarele ipoteze : particulele în suspensie au forma de elipsoizi caracterizați prin momentul lor magnetic \bar{m} și prin momentul electric echivalent \bar{p} determinat în paragraful 2.1. Lichidul de bază are proprietățile $\epsilon_f \neq \epsilon_0$ și $\mu_f = \mu_0$. Considerăm de asemenea că intensitățile cîmpurilor efective \bar{E}_0 și \bar{H}_0 sunt paralele (fig.6).

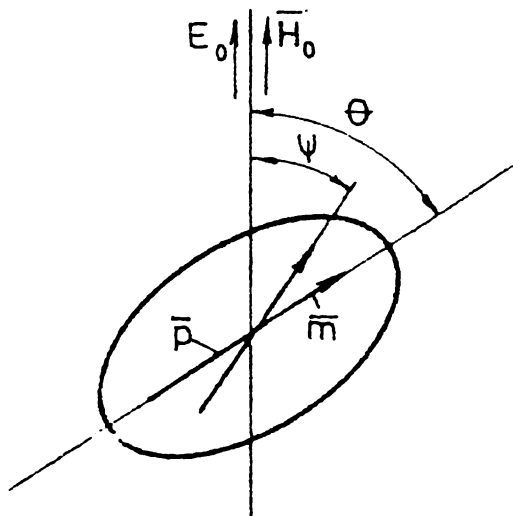


Fig.6

In aceste ipoteze, la un același cîmp magnetic exterior, magnetizația trebuie să fie mai mare în prezența cîmpului electric care exercită o acțiune de orientare asupra particulelor după direcția lui și care coincid cu cea a lui \bar{H}_0 . Polarizația electrică ar trebui să crească și ea în prezența cîmpului magnetic.

Energia potențială a particulelor din lichidul magnetic este dată de relația:

$$W = - \frac{\varepsilon_f V E_0^2}{2} \left(\frac{1}{A_1(\theta)} - \frac{1}{A_2(\theta)} \right) \cos^2 \theta - \mu_0 m H_0 \cos \theta \quad (31)$$

și intervine în expresia probabilității statistice Maxwell Boltzmann în forma

$$e^{-\frac{W}{kT}} = e^{\alpha \cos^2 \theta + \gamma \cos \theta}$$

Probabilitatea ca axa mare a elipsoidului să fie cuprinsă în unghiul solid determinat de θ , $\theta + d\theta$ și φ , $\varphi + d\varphi$ conține un factor constant care se calculează din condiția de normare și are expresia :

$$C = \frac{1}{2\pi \int_0^{\pi} e^{\alpha \cos^2 \theta + \gamma \cos \theta} d(\cos \theta)}$$

Efectuind suma statistică a momentelor magnetice din unitatea de volum se obține magnetizația M în forma

$$M = N \cdot m \frac{\int_0^{\pi} \cos \theta e^{\alpha \cos^2 \theta + \gamma \cos \theta} d(\cos \theta)}{\int_0^{\pi} e^{\alpha \cos^2 \theta + \gamma \cos \theta} d(\cos \theta)} = N \cdot m \cdot F(\alpha, \gamma) \quad (32)$$

In mod analog se poate calcula polarizația P

$$P = (1 - NV)(\varepsilon_f - \varepsilon_0)E + \\ + NV E_0 \varepsilon_f \left[\frac{1}{A_2(\theta)} - \frac{1}{A_1(\theta)} - \frac{1}{A_2(\theta)} \frac{\int_0^{\pi} \cos^2 \theta e^{\alpha \cos^2 \theta + \gamma \cos \theta} d(\cos \theta)}{\int_0^{\pi} e^{\alpha \cos^2 \theta + \gamma \cos \theta} d(\cos \theta)} \right] \quad (33)$$

Sistemul de ecuații care va determina deci dependențele $P = P(E; H)$ și $M = M(H; h)$ se va scrie :

$$\left\{ \begin{array}{l} M = N \cdot m \cdot F(\alpha, \gamma) \\ P = (1-NV)(\varepsilon_f - \varepsilon_0)E + NV\varepsilon_0 \varepsilon_f G(\alpha, \gamma) \\ \alpha = \frac{\varepsilon_f V}{2kT} \left(\frac{1}{A_1(0)} - \frac{1}{A_2(0)} \right) E_0^2 \\ \gamma = \frac{\mu_0 m}{kT} H_0 \end{array} \right. \quad (34)$$

Mărurile α și γ din sistemul (34) depind de intensitatea cîmpurilor efective E_0 , H_0 și se măresc odată cu creșterea acestora, respectiv cu creșterea cîmpurilor exterioare E , H .

2.5.2. Influența cîmpului electric asupra magnetizației M

In cîmpuri efectrice slabe, adică atunci cînd $\alpha \ll 1$ relația (32) devine

$$\frac{L}{M_s} = F(\alpha, \gamma) = F(0, \gamma) + \alpha \left(\frac{\partial F}{\partial \alpha} \right)_{\alpha=0}$$

unde în dezvoltarea în serie a funcției F în jurul lui $\alpha = 0$ am reținut doar primii doi termeni. Considerînd cîmpul efectiv H_0 de tip Lorentz sistemul de ecuații care determină $L = M[H, \alpha(E)]$ se scrie :

$$\left\{ \begin{array}{l} \frac{L}{M_s} = L(\gamma) + \alpha \left[\frac{2}{\gamma} L^2(\gamma) + \underbrace{\frac{6}{\gamma^2} L(\gamma)}_{\phi(\gamma)} - \frac{2}{\gamma} \right] \\ \frac{L}{M_s} = \frac{3kT}{\mu_0 m^2 N} \gamma - \frac{3H}{N \cdot m} \end{array} \right. \quad (35)$$

Valoarea funcției $\phi(\gamma)$ e dată în tabelul de mai jos.

γ	1	2	3	4	5	6	7	8	9	∞
$\phi(\gamma)$	0,074	0,094	0,09	0,063	0,048	0,038	0,029	0,024	0,021	0

Comparînd sistemul (35) cu (17) rezultă că termenul $\alpha \phi(\gamma)$ reprezintă corecția magnetizației datorită prezenței cîmpului

electric. Din fig.7 se vede că magnetizația crește atunci cînd și crește adică atunci cînd cîmpul electric E crește, intensitatea cîmpului magnetic rămînînd aceeași.

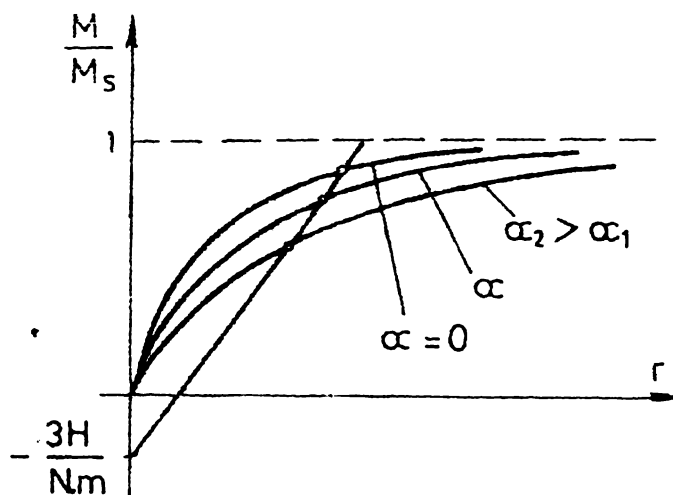


Fig.7

In cîmpuri electrice și magnetice slabe, adică atunci cînd $\alpha \approx \gamma \ll 1$, ecuația (32) devine

$$\frac{M}{M_s} = F(0,0) + \alpha \left(\frac{\partial F}{\partial \alpha}\right)_{0,0} + \gamma \left(\frac{\partial F}{\partial r}\right)_{0,0} = \gamma \frac{1}{3}$$

In acest caz se observă că influența cîmpului electric asupra magnetizației este neglijabilă în raport cu cea a cîmpului magnetic.

Pentru cîmpuri magnetice slabe, $\gamma \ll 1$ vom avea

$$\left\{ \begin{array}{l} \frac{M}{M_s} = F(\alpha,0) + \gamma \left(\frac{\partial F}{\partial r}\right)_{r=0} \text{ sau} \\ \frac{M}{M_s} = \frac{-1}{\int_{-1}^1 e^{\alpha u^2} du} + \gamma \left[\frac{-1}{\int_{-1}^1 e^{\alpha u^2} du} - \left(\frac{-1}{\int_{-1}^1 e^{\alpha u^2} du} \right)^2 \right] = \gamma h(\alpha) \\ h(\alpha) = \int_{-1}^1 u^2 e^{\alpha u^2} du \\ \frac{M}{M_s} = \frac{3kT}{\mu_0 m^2 N} \gamma - \frac{3H}{N \cdot m} \end{array} \right. \quad (36)$$

In prima ecuație a sistemului de mai sus, termenul întîi din sumă, este nul, adică nu se poate obține o magnetizație diferită de zero doar prin influența cîmpului electric, atunci cînd cîmpul magnetic ar fi zero. Aceasta este în concordanță cu faptul că influența cîmpului electric asupra par-

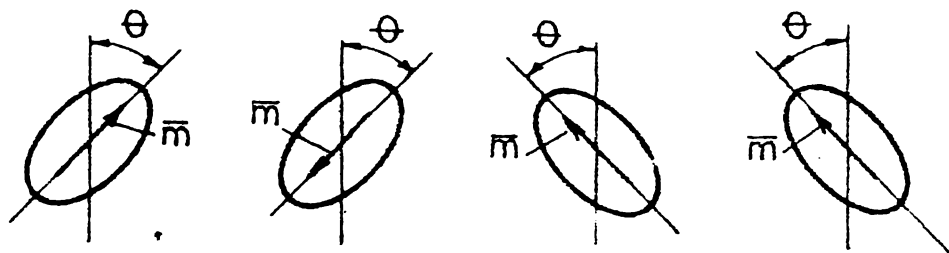


Fig.8

ticulelor din fig.8 este aceeași, factorul din probabilitatea elementară ce depinde de cîmpul electric, fiind funcție pară de $\cos\theta$.

Din sistemul (36) rezultă

$$\frac{M}{M_s} = \frac{\mu_0^m h(\alpha)}{kT \left(1 - \frac{\mu_0^m N}{3kT} h(\alpha) \right)} H \quad (37)$$

Pentru $\alpha=0$ rezultă $h(\alpha) = \frac{1}{3}$ și expresia (37) devine identică cu (19).

În cîmpuri electrice slabe $h(\alpha) = \frac{1}{3} + \alpha \frac{4}{45}$, și magnetizația devine

$$\frac{M}{M_s} = \frac{h(\alpha)}{a+b h(\alpha)} H = \frac{h(0)}{a+b h(0)} H + \alpha \frac{ah'(0)}{(a+bh(0))^2} H$$

sau identificînd constantele a și b,

$$\frac{M}{M_s} = \frac{\mu_0^m}{3kT} \frac{1}{1 - \frac{\mu_0^m N}{9kT}} \left[1 + \frac{4}{15} \alpha \frac{1}{1 - \frac{\mu_0^m N}{9kT}} \right] H \quad (38)$$

Corecția asupra magnetizației datorată cîmpului electric este dată de termenul : $x = \frac{4}{15} \frac{1}{1 - \frac{\mu_0^m N}{9kT}} \alpha$

Pentru $\alpha = 0$ avem

$$\frac{\mu_0 m^2 N}{9kT} = \frac{\mu_{ro}^{-1}}{\mu_{ro} + 2}$$

și deci termenul de corecție se poate scrie în forma :

$$x = \alpha \frac{4}{45} (\mu_{ro} + 2) \quad (39)$$

μ_{ro} reprezentând permeabilitatea magnetică a lichidului în absența cîmpului electric.

2.5.3. Influența cîmpului magnetic asupra polarizației electrice

Pentru a studia influența cîmpului magnetic asupra polarizației electrice vom considera din ecuațiile sistemului (34) doar pe cele relative la polarizația P , scrise sub o formă asemănătoare sistemului (16)

$$\left\{ \begin{array}{l} P = \frac{(1-NV)(\epsilon_f - \epsilon_0) + NV\epsilon_f G(\alpha, \gamma)}{1 - \frac{NV}{3\epsilon_0} \epsilon_f G(\alpha, \gamma)} E \\ G(\alpha, \gamma) = \frac{1}{A_2} + \left(\frac{1}{A_1} - \frac{1}{A_2} \right) \frac{-1}{\int_{-1}^1 \frac{u^2 e^{\alpha u^2 + \gamma u}}{e^{\alpha u^2 + \gamma u}} du} \\ P = 3\epsilon_0 \sqrt{\frac{\alpha}{\frac{\epsilon_f V}{2kT} \left(\frac{1}{A_1} - \frac{1}{A_2} \right)}} - 3\epsilon_0 E \end{array} \right. \quad (40)$$

Vom dezvolta în serie funcția $T(\alpha, \gamma)$ pentru valori mici ale lui γ

$$T(\alpha, \gamma) = T(\alpha, 0) + \gamma \left(\frac{\partial T}{\partial \gamma} \right)_{\gamma=0} + \frac{\gamma^2}{2!} \left(\frac{\partial^2 T}{\partial \gamma^2} \right)_{\gamma=0} + \dots$$

Dar

$$\left. \frac{\partial T}{\partial r} \right|_{r=0} = \frac{\int_{-1}^1 u^3 e^{\alpha u^2} du \cdot \int_{-1}^1 e^{\alpha u^2} du - \int_{-1}^1 u^2 e^{\alpha u^2} du \int_{-1}^1 u e^{\alpha u^2} du}{\left[\int_{-1}^1 e^{\alpha u^2} du \right]^2} =$$

deoarece termenii de la numărătorul expresiei de mai sus conțin factori ce sunt integrale ale unor funcții impare pe domeniul $[-1, 1]$, deci egali cu zero.

Pentru valori mici ale lui α , dezvoltarea lui $T(\alpha, r)$ are forma

$$T(\alpha, r) = \frac{1}{3} + \alpha \frac{4}{45} + r^2 \left(\frac{2}{45} + \alpha \frac{8}{15 \cdot 63} \right)$$

Cu aceste dezvoltări sistemul (40) se scrie :

$$\left\{ \begin{array}{l} P = \frac{(1-NV)(\varepsilon_f - \varepsilon_0) + NV\varepsilon_f \left[f(\alpha) + \left(\frac{1}{A_1} - \frac{1}{A_2} \right) \frac{r^2}{2!} \frac{\partial^2 T}{\partial r^2} \right]_{r=0}}{E} \\ P = 3\varepsilon_0 \sqrt{\frac{\alpha}{\frac{\varepsilon_f V}{2kT} \left(\frac{1}{A_1} - \frac{1}{A_2} \right)}} - 3\varepsilon_0 E \end{array} \right. \quad (40')$$

și se pretează la o rezolvare grafică întocmai ca sistemul (16). Din prima ecuație a sistemului (40') rezultă că în prezență cîmpului magnetic, coeficientul unghiular al acestei drepte crește față de coeficientul unghiular al dreptei reprezentată de prima ecuație a sistemului (16). Rezultă deci că și polarizarea electrică va crește în prezență cîmpului magnetic (fig.9).

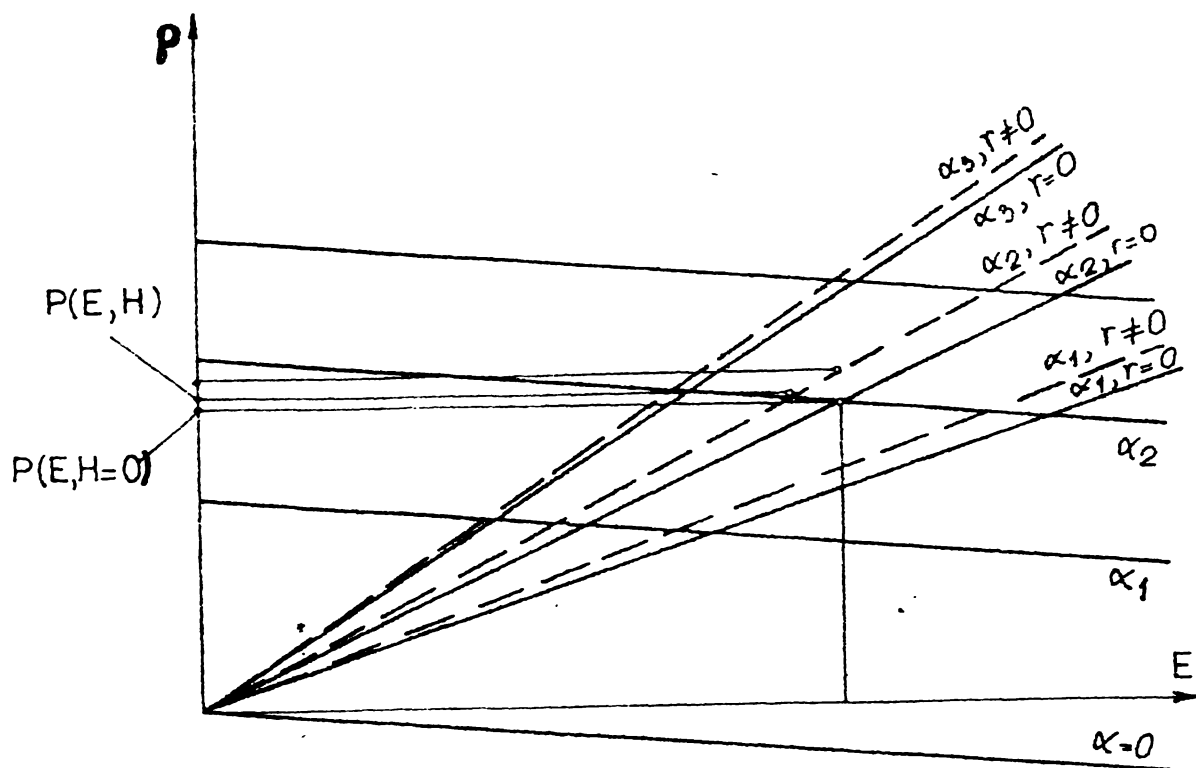


Fig.9

2.5.4. Cazul $E \perp H$

Calculul magnetizației și a polarizației electrice a fluidelor magnetice se poate face și considerînd cîmpurile \vec{E}_0 și \vec{H}_0 perpendiculare, ca în fig.10, celelalte ipoteze menționate la începutul paragrafului rămînînd aceleagăi.

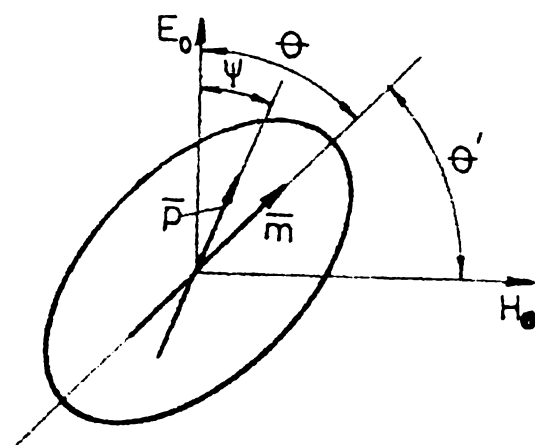


Fig.10

In această situație prezența cîmpului electric trebuie să ducă la micșorarea magnetizației și în mod asemănător, prezența cîmpului magnetic ca micșora polarizarea electrică.

Energia potențială a particulelor din lichidul de bază va fi :

$$W = - \frac{\varepsilon_f V E_0^2}{2} \left(\frac{1}{A_1(\theta)} - \frac{1}{A_2(\theta)} \right) \cos^2 \theta - \mu_0 m H_0 \sin \theta$$

și

$$e^{-\frac{W}{kT}} = e^{\alpha \cos^2 \theta + \gamma \sin \theta}$$

α și γ fiind specificați la începutul paragrafului.

Prin însumarea statistică a momentelor magnetice și electrice din unitatea de volum, se obține magnetizarea respectiv polarizarea electrică. Astfel

$$\frac{M}{N \cdot m} = \frac{\int_0^{\pi} \cos \theta' e^{\alpha \sin^2 \theta' + \gamma \cos \theta'} d(\cos \theta')}{\int_0^{\pi} e^{\alpha \sin^2 \theta' + \gamma \cos \theta'} d(\cos \theta')} \quad (41)$$

După simplificarea cu e^α , relația (41) devine

$$\frac{M}{N \cdot m} = \frac{\int_0^1 u e^{-\alpha u^2 + \gamma u} du}{\int_{-1}^1 e^{-\alpha u^2 + \gamma u} du} = F_1(\alpha, \gamma) \quad (42)$$

Analog

$$P = (1-NV)(\varepsilon_f - \varepsilon_0)E + NV E_0 \varepsilon_f G_1(\alpha, \gamma) \quad (43)$$

unde

$$G_1(\alpha, \gamma) = \frac{1}{A_2} + \left(\frac{1}{A_2} - \frac{1}{A_1} \right) \frac{\int_0^{\pi} \cos^2 \theta e^{\alpha \cos^2 \theta + \gamma \sin \theta} d(\cos \theta)}{\int_0^{\pi} e^{\alpha \cos^2 \theta + \gamma \sin \theta} d(\cos \theta)} \quad (44)$$

Pentru a vedea influența cîmpului electric asupra magnetizării se observă că : $F_1(0, \gamma) = L(\gamma)$

$$F_1(\alpha, \gamma) = \frac{\int_{-1}^1 u e^{-\alpha u^2} du}{\int_{-1}^1 e^{-\alpha u^2} du} = 0$$

$$\lim_{\gamma \rightarrow \infty} F_1(\alpha, \gamma) = \lim_{\gamma \rightarrow \infty} L(\gamma) = 1$$

$$\left(\frac{\partial F_1}{\partial \gamma} \right)_{\gamma=0} = \frac{\int_{-1}^1 u^2 e^{-\alpha u^2} du}{\int_{-1}^1 e^{-\alpha u^2} du} = \frac{1}{3} - \frac{4}{45} \alpha + \dots$$

Determinarea magnetizației M se poate face grafic ca în fig.11.

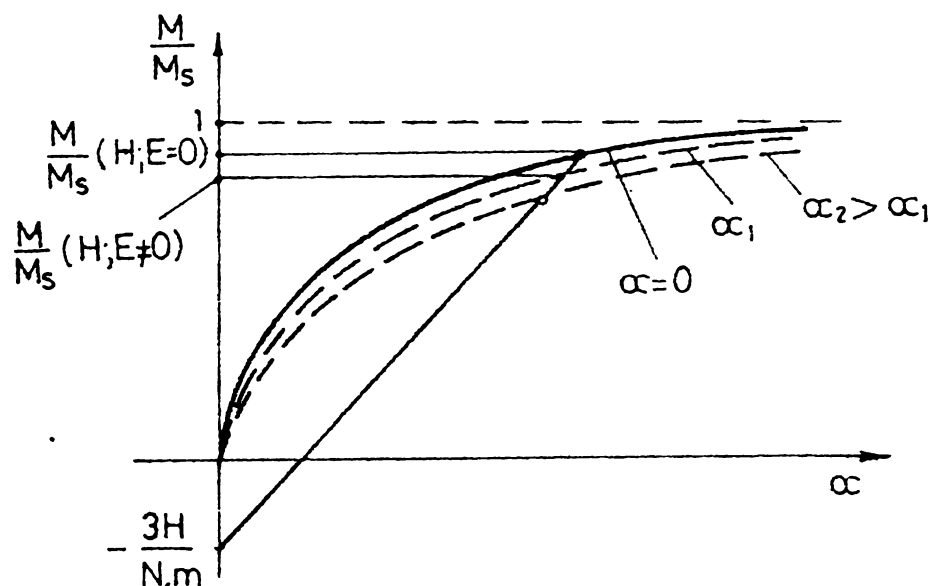


Fig.11

de unde rezultă faptul că întrădevăr, prezența cîmpului electric duce la micșorarea magnetizației.

Pentru valori mici ale cîmpului magnetic $\gamma \ll 1$ va rezulta

$$\begin{cases} \frac{M}{M_s} = \gamma \frac{\int_{-1}^1 u^2 e^{-\alpha u^2} du}{\int_{-1}^1 e^{-\alpha u^2} du} = \gamma h_1(\alpha) \\ \frac{M}{M_s} = \frac{3kT}{\mu_0 m^2 N} \gamma - \frac{3H}{N \cdot m} \end{cases} \quad (45)$$

relația între magnetizația și intensitatea cîmpului magnetic devinind

$$\frac{M}{M_s} = \frac{\mu_0^m h_1(\alpha)}{kT \left[1 - \frac{\mu_0^m N^2}{3kT} h(\alpha) \right]} H$$

cu

$$h_1(\alpha) = \frac{1}{3} - \frac{4}{45} \alpha + \dots$$

sau

$$\frac{M}{M_s} = \frac{\mu_0^m}{3kT} \frac{1}{1 - \frac{\mu_0^m N^2}{9kT}} \left[1 - \frac{4}{15} \alpha - \frac{1}{1 - \frac{\mu_0^m N^2}{9kT}} \right] H \quad (46)$$

Termenul de corecție este deci același cu cel dat de relația (39). Pentru a studia influența cîmpului magnetic asupra polarizației electrice se va observa că integrala din relația (44) tinde spre 1 cînd $\alpha \rightarrow \infty$, iar pentru $\alpha=0$ și γ avînd valori mici se dezvoltă în serie rezultînd :

$$G_1(0, \gamma) = \frac{1}{A_1} + \left(\frac{1}{A_1} - \frac{1}{A_2} \right) \left(\frac{1}{3} - \frac{1}{48} \gamma + \dots \right)$$

cîstfel încît funcțiile $G_1(\alpha, \gamma)$ și $G(\alpha, \gamma)$ vor arăta ca în Fig.12.

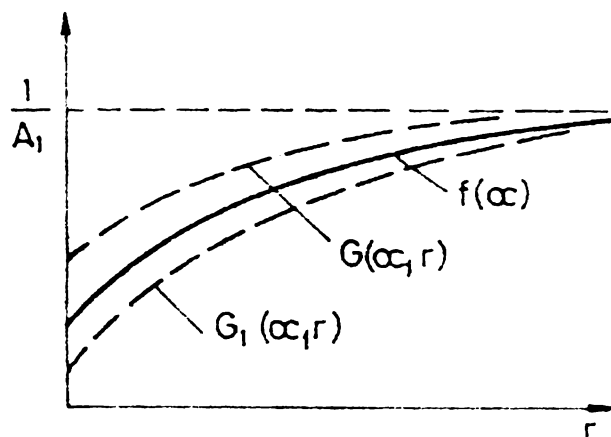


Fig.12

Determinarea polarizației electrice se face grafic rezolvînd un sistem asemănător cu (40'), în care încă pre-

zența cîmpului magnetic determină micșorarea coeficientului unghiular al dreptei reprezentată de prima ecuație, în timp ce ecuația a doua rămîne neschimbătă. Rezultă deci o micșorare a polarizației electrice în prezența cîmpului magnetic.

2.5.5. Particule dielectrice în suspensie coloidală

La începutul cap.2 s-a presupus faptul că particulele în suspensie din lichidul de bază ar fi metalice. Există lichide magnetice la care particulele în suspensie, avînd momentul magnetic \bar{m} , se comportă ca niște dielectrici din punct de vedere electric.

Si în acest caz, datorită formei alungite a particulelor polarizația electrică și magnetizația vor depinde atât de intensitatea cîmpului magnetic cît și de cea a cîmpului electric. Momentul electric echivalent particulei din fig.13 se determină după ce în prealabil se rezolvă problema cîmpu-

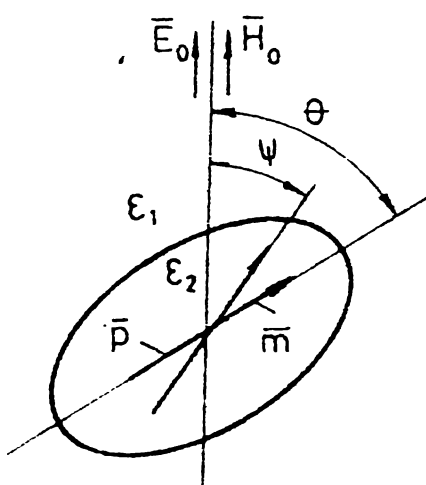


Fig.13.

lui electric în interiorul și exteriorul unei elipsoide dielectric păsat într-un cîmp electric exterior, și are expresia [56]:

$$\bar{p} = V(\varepsilon_2 - \varepsilon_0) \left[\frac{\cos \theta}{1 + \frac{\varepsilon_2 - \varepsilon_1}{\varepsilon_1} A_1(o)} \bar{i} + \frac{\sin \theta}{1 + \frac{\varepsilon_2 - \varepsilon_1}{\varepsilon_1} A_2(o)} \bar{j} \right] \bar{E}_0 \quad (47)$$

Relația (47) este foarte asemănătoare cu (5), astfel încât

concluziile în cele două cazuri nu vor dифeri prea mult. De altfel pentru $\varepsilon_2 \rightarrow \infty$ și $\varepsilon_1 = \varepsilon_f$ din relația (47) se obține relația (5).

Raportul dintre energia potențială a particulelor în cimpurile E_o , H_o și energia de agitație termică kT are expresia :

$$\begin{aligned} -\frac{W}{kT} &= \frac{V}{2kT} \frac{(\varepsilon_2 - \varepsilon_1)^2}{\varepsilon_1} \frac{A_2(o) - A_1(o)}{\left[1 + \frac{\varepsilon_2 - \varepsilon_1}{\varepsilon_1} A_2(o)\right] \left[1 + \frac{\varepsilon_2 - \varepsilon_1}{\varepsilon_1} A_1(o)\right]} E^2 \cos^2 \theta + \\ &+ \frac{\mu_0 m}{kT} H_o \cos \theta = \alpha' \cos^2 \theta + \gamma \cos \theta \end{aligned}$$

Procedind ca în paragrafele anterioare se obține sistemul de ecuații care determină în mod implicit dependențele $L = L(H, E)$ și $P = P(E, H)$ în forma

$$\left\{ \begin{array}{l} L = N \cdot m F(\alpha', \gamma) \\ P = (1-NV)(\varepsilon_1 - \varepsilon_o)E + NV(\varepsilon_2 - \varepsilon_o)E_o G_2(\alpha', \gamma) \\ \alpha' = \frac{V}{2kT} \frac{(\varepsilon_2 - \varepsilon_1)^2}{\varepsilon_1} \frac{A_2(o) - A_1(o)}{(1 + \frac{\varepsilon_2 - \varepsilon_1}{\varepsilon_1} A_1)(1 + \frac{\varepsilon_2 - \varepsilon_1}{\varepsilon_1} A_2)} E_o^2 = \beta E_o^2 \\ \gamma = \frac{\mu_0 m}{kT} H_o \end{array} \right. \quad (48)$$

unde funcția F e dată de relația (32) iar G_2 are expresia :

$$\begin{aligned} G_2(\alpha', \gamma) &= \frac{1}{1 + \frac{\varepsilon_2 - \varepsilon_1}{\varepsilon_1} A_2(o)} + \\ &+ \left(\frac{1}{1 + \frac{\varepsilon_2 - \varepsilon_1}{\varepsilon_1} A_1} - \frac{1}{1 + \frac{\varepsilon_2 - \varepsilon_1}{\varepsilon_1} A_2} \right) \frac{-1}{\int_{-1}^1 e^{\alpha' u^2 + \gamma u} du} \end{aligned}$$

Din compararea sistemelor (43) și (34) rezultă că prezența unui cîmp electric paralel cu cîmpul magnetic duce la mărirea magnetizației. Prezența cîmpului magnetic însă poate să mărească sau să micșoreze polarizația electrică, după cum $\epsilon_2 > \epsilon_1$ sau $\epsilon_1 > \epsilon_2$. Pentru justificarea acestei afirmații se va prezenta o rezolvare grafică calitativă a ecuațiilor din sistemul (43) care determină dependența $P=P(E, \gamma)$, ținind cont de influența cîmpului magnetic.

Ecuatiile respective le vom scrie în forma :

$$\left\{ \begin{array}{l} P - a_1 E = a_2 \sqrt{\alpha'} G_1(\alpha', \gamma) \\ \alpha' = \beta(E + \frac{P}{3\epsilon_0})^2 \end{array} \right. \quad (49)$$

unde mărimele constante a_1 și a_2 se determină ușor prin identificare. În fig.14 se prezintă rezolvarea grafică a sistemului (49) pentru cele două cazuri amintite : $\epsilon_2 > \epsilon_1$ și $\epsilon_1 > \epsilon_2$.

Concluziile de mai sus rezultă și dacă rezolvarea sistemului (43) se făcea în modul prezentat în paragraful 1.1, adică scriind în prealabil ecuațiile (43) în forma :

$$\left\{ \begin{array}{l} P = \frac{(1-NV)(\epsilon_1 - \epsilon_0) + NV(\epsilon_2 - \epsilon_0)G_1(\alpha', \gamma)}{1 - \frac{NV}{3\epsilon_0} (\epsilon_2 - \epsilon_0)G_1(\alpha', \gamma)} E \\ P = \text{const} \sqrt{\alpha'} - \frac{3\epsilon_0}{E} \end{array} \right.$$

Din fig.15 rezultă că la aceeași valoare a cîmpului electric prezența cîmpului magnetic produce micșorarea polarizației electrică cînd $\epsilon_1 > \epsilon_2$.

Brept concluzie generală se poate afirma că în cauză lichidelor magnetice ale căror particule suspendate au formă ce se abată de cea sferică, permeabilitatea magnetice și permisivitatea electrică sunt funcție atât de intensitatea cîmp-

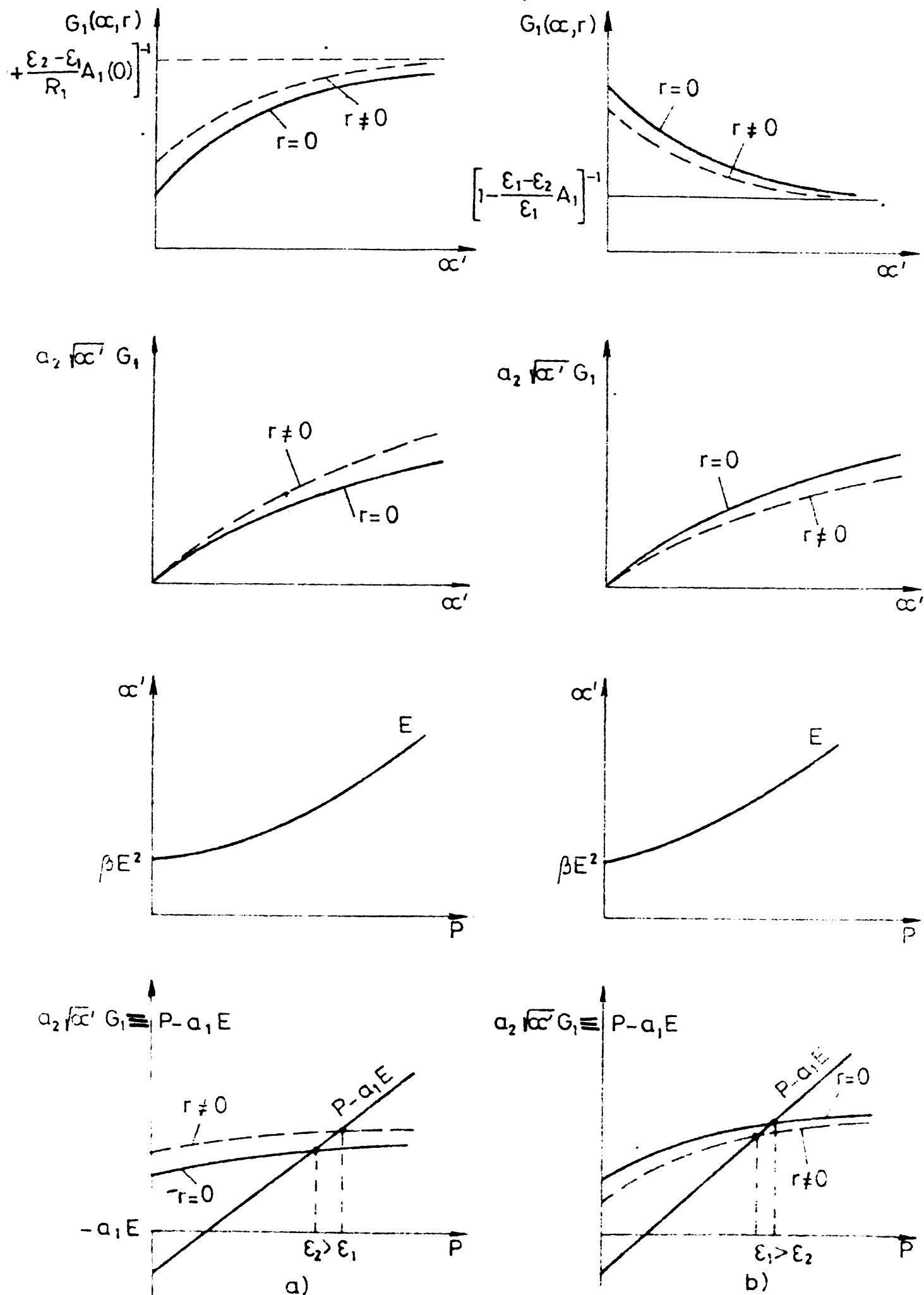


Fig.14

pului magnetic cît și de cea a cîmpului electric adică
 $\mathcal{E} = \mathcal{E}(E; H)$ și $\mu = \mu(H; E)$.

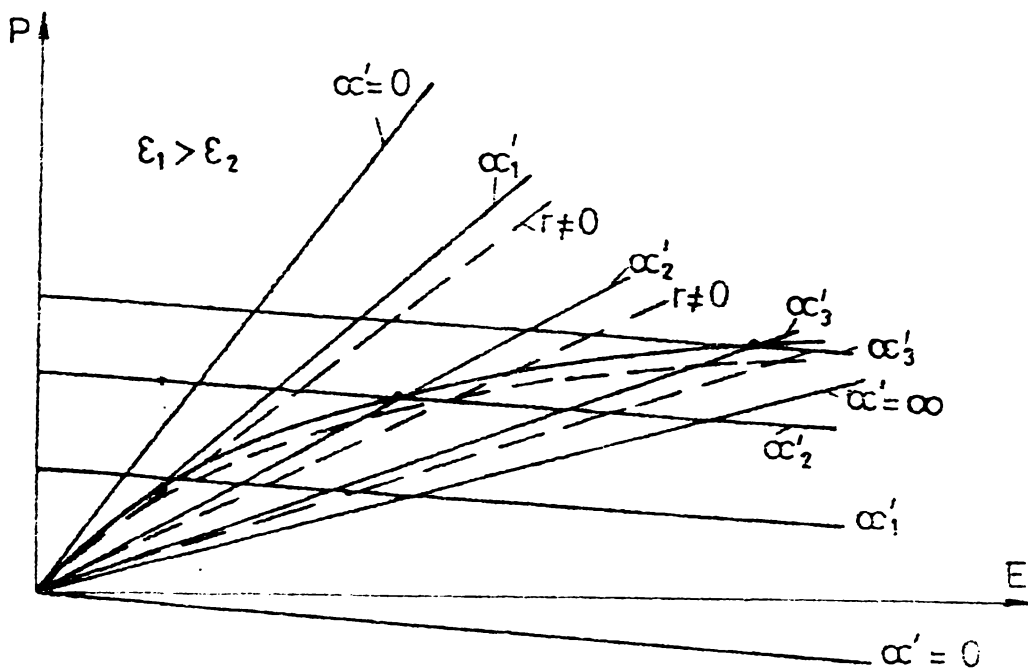


Fig.15

2.6. Măsurarea permabilității lichidelor magnetice

Modificările produse de un cilindru de secțiune circulară, infinit de lung și de un elipsoid, ambele având permeabilități magnetice constantă, asupra lui cîmp magnetic exterior sănt studiate în literatură [51 - 53].

În cele ce urmăzează se vor determina cîmpurile magnetice staționare din interiorul și exteriorul acestor corpură în ipoteza că ele au permeabilități magnetice nelinieră, dar magnetizație reversibilă. Condițiile de unicitate ale cîmpurilor staționare în astfel de medii sănt date în [54].

Rezultatele obținute au fost folosite la determinarea curbelor de magnetizare ale fluidelor magnetice [41].

2.6.1. Cilindru nelinier în cîmp magnetic extins uniform

Fie H_0 intensitatea cîmpului magnetic în care intră într-un cilindru de rază a , lungime l ,

și având curba de magnetizare dată, fig.16.b.

Curba de magnetizare se aproximează liniar pe porțiuni. Pe dreapta OP' permeabilitatea magnetică este constantă, iar

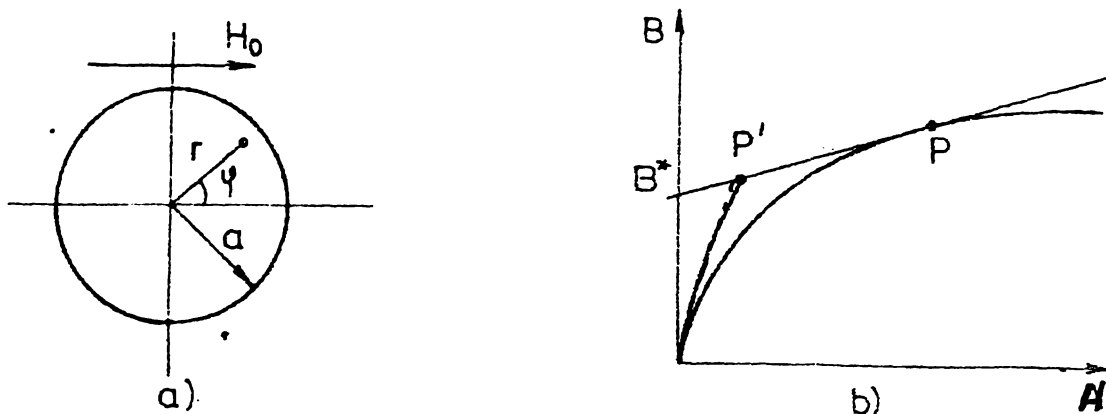


Fig.16

calculele arată că în interiorul cilindrului se stabilește un cîmp uniform de intensitate \bar{H}_i , iar în exterior un cîmp neuniform de intensitate \bar{H}_e [13 - 16]. Fie acum o stare magnetică reprezentată de dreapta $P'P$ fig.16.b. În substanță legătura dintre \bar{B} și \bar{H} va fi dată de :

$$\bar{B}_i = \mu_d \bar{H}_i + \bar{B}^* \quad (50)$$

în care \bar{B}^* se presupune un cîmp uniform avînd orientarea lui \bar{B}_0 , decarece în punctul P' , ce aparține dreptei OP , vectorii \bar{B} și \bar{H} au această orientare. Permeabilitatea diferențială μ_d este calculată în punctul P .

Cu această observație din (50) și din legea fluxului magnetic rezultă din $\bar{H}_i = 0$, iar din relația lui Ampere rezultă $\bar{H}_i = 0$ avem $\bar{H}_i = -\nabla V_{Hi}$; $\nabla^2 V_{Hi} = 0$.

Pentru potențialul magnetic din exterior aceleiași legi ne conduc la $\bar{H}_e = -\nabla V_{He}$ și $\nabla^2 V_{He} = 0$.

Condițiile de limită se referă la relațiile pe care le satisfac funcțiile scalare V_{Hi} și V_{He} la suprafața cilindrului ($r = a$). Acestea sunt : continuitatea componentelor tangențiale ale vectorilor \bar{H}_e și \bar{H}_i adică $V_{Hi} = V_{He}$ și continuitatea componentelor normale ale vectorilor \bar{B}_i și \bar{B}_e . Ultima se scrie în coordonate cilindrice pornind de la relațiile :

$$\overline{B}_e = -\mu_0 \nabla V_{He} = -\mu_0 \left(\frac{\partial V_{He}}{\partial r} \overline{u}_r + \frac{1}{r} \cdot \frac{\partial V_{He}}{\partial \varphi} \overline{u}_\varphi \right) \quad (51)$$

$$\overline{B}_i = -\mu_d \nabla V_{Hi} + \overline{B}^* = -\mu_d \left(\frac{\partial V_{Hi}}{\partial r} \overline{u}_r + \frac{1}{r} \frac{\partial V_{Hi}}{\partial \varphi} \overline{u}_\varphi \right) + \overline{B}^* \overline{u}_B$$

rezultă

$$\left(-\mu_d \frac{\partial V_{Hi}}{\partial r} + B^* \overline{u}_B \cdot \overline{u}_r \right)_{r=a} = -\mu_0 \frac{\partial V_{He}}{\partial r} \Big|_{r=a} \quad (51)$$

Așadar condițiile de limită sunt :

$$V_{Hi} = V_{He} ; \mu_d \left(\frac{\partial V_{Hi}}{\partial r} \right)_{r=a} - B^* \cos \varphi = \mu_0 \left(\frac{\partial V_{He}}{\partial r} \right)_{r=a} \quad (52)$$

Folosind metoda separării variabilelor, se obțin pentru ecuațiile lui Laplace soluții de forma :

$$V_{He} = -H_0 r \cos \varphi + \sum_{k=1}^{\infty} A_k r^{-k} \cos k\varphi$$

$$V_{Hi} = \sum_{k=1}^{\infty} C_k r^k \cos k\varphi$$

unde s-a ținut seama că pentru $r \rightarrow \infty$, potentialul V_{He} trebuie să tindă spre $V_{Ho} = -H_0 r \cos \varphi$, iar în interiorul cilindrului V_{Hi} este o funcție finită.

Condițiile (52) conduc la :

$$A_2 = A_3 = \dots = 0 \quad C_2 = C_3 = \dots = 0$$

$$A_1 = a^2 \frac{B + \mu_0 (\mu_d - \mu_0)}{\mu_d + \mu_0}, \quad C_1 = \frac{B^* - 2\mu_0 H_0}{\mu_d + \mu_0} \quad (53)$$

de unde rezultă :

$$V_{He} = -H_0 r \cos \varphi + \frac{a^2}{r} \frac{2B^* + \mu_0 (\mu_d - \mu_0)}{\mu_d + \mu_0} \cos \varphi \quad (54)$$

$$V_{Hi} = \frac{B^* - 2\mu_0 H_0}{\mu_d + \mu_0} \cos \varphi$$

și deci vectorul intensitate a cimpului magnetic în interiorul cilindrului are expresia

$$H_i = - \frac{B^* - 2\mu_0 H_0}{\mu_d + \mu_0} \cos \varphi \bar{u}_r + \frac{B^* - 2\mu_0 H_0}{\mu_d + \mu_0} \sin \varphi \bar{u}_\varphi = \\ = \frac{2\mu_0 H_0 - B^*}{\mu_d + \mu_0} \bar{u}_\beta \quad (55)$$

iar în exterior

$$\bar{H}_e = -\nabla H_e = (H_0 + \frac{a^2 B^* + H_0(\mu_d - \mu_0)}{r^2 \mu_d + \mu_0}) \cos \varphi \bar{u}_r - \\ - (H_0 - \frac{a^2 B^* + H_0(\mu_d - \mu_0)}{r^2 \mu_d + \mu_0}) \sin \varphi \bar{u}_\varphi$$

Tinind seama de (50) se poate scrie

$$B_i - B^* + \mu_0 H_i = 2B_0 - B^*$$

și decarece în punctul P : $\bar{B}_i = \mu \bar{H}_i$ rezultă

$$\frac{B_i}{B_0} = \frac{2\mu_r}{\mu_r + 1} \quad (56)$$

relație identică cu cea obținută în ipoteza cilindrului magnetic liniar.

2.6.2. Elipsoid neliniar în cîmp magnetic exterior uniform

Fie un elipsoid avînd semiaxele a, b, c, introdus într-un cîmp magnetic exterior uniform (fig.17).

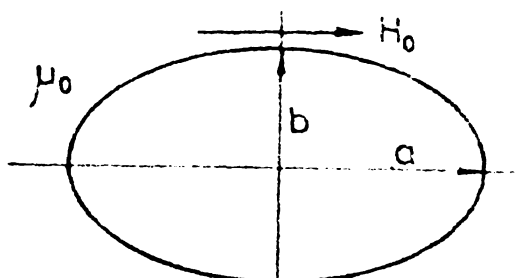


Fig.17

Curba de magnetizare a mediului se presupune reversibilă și se liniarizează pe porțiuni (fig.16.b). Cu un raționament

identic cu precedentul se determină ecuațiile pe care le satisfac potențialele magnetice în puncte interioare și exterioare elipsoidului :

$$\nabla^2 V_{Hi} = 0, \quad \nabla^2 V_{He} = 0$$

precum și condițiile la limită.

În coordonate elipsoidale ultimele se scriu :

$$V_{Hi} = V_{He} \text{ pentru } \xi = 0 \text{ și}$$

$$-\mu_d \left(\frac{1}{h_\xi} \cdot \frac{\partial V_{Hi}}{\partial \xi} \right)_{\xi=0} + B^*(\bar{u}_B \cdot \bar{u}_\xi)_{\xi=0} = -\mu_0 \left(\frac{1}{h_\xi} \cdot \frac{\partial V_{He}}{\partial \xi} \right)_{\xi=0} \quad (57)$$

Pentru ecuațiile lui Laplace se încearcă soluții de forma :

$$V_{He} = V_{Ho} + V_{Ho} F(\xi) \quad V_{Hi} = C V_{Ho} \quad (58)$$

unde :

$$V_{Ho} = -H_0 X = \mp H_0 \sqrt{\frac{(\xi+a^2)(\eta+a^2)(\zeta+a^2)}{(a^2-b^2)(a^2-c^2)}} \quad (59)$$

reprezintă potențialul magnetic al cîmpului magnetic presupus uniform. Introducînd încercarea de soluție (58) în ecuația lui Laplace se obține funcția $F(\xi)$:

$$F(\xi) = A \int_{\xi}^{\infty} \frac{d\xi}{R_\xi (\xi + a^2)} \quad (60)$$

în care $R_\xi = \sqrt{(a^2+\xi)(b^2+\xi)(c^2+\xi)}$ iar A reprezintă o constantă de integrare.

Deoarece $\bar{U}_B = \bar{l}$, iar $\bar{B}_i = \mu_d H_i + \bar{B}^*$, a doua condiție la limită cu forma (58) a soluțiilor, devine :

$$\mu_d \left[C \frac{\partial V_{Ho}}{\partial \xi} \right]_{\xi=0} - B^* h_\xi (\bar{l} \bar{u}_\varphi) = \mu_0 \left[C \frac{\partial V_{He}}{\partial \xi} - A \frac{V_{Ho}}{R_\xi (\xi + a^2)} \right]_{\xi=0}$$

sau cu (59) și (60) avem :

$$[C(\mu_d - \mu_0) \frac{\partial x}{\partial \xi} \frac{R_\xi (\xi + a^2)}{x} + \frac{B^*}{H_0} \frac{\partial x}{\partial \xi} \frac{R_\xi (\xi + a^2)}{x}]_{\xi=0} = -A\mu_0$$

în care s-a ținut cont că $h_\xi (\bar{i} \cdot \bar{u}_\xi) = \frac{\partial x}{\partial \xi}$.

Calculind derivatele și folosind expresia lui h se obțin în final condițiile la limită (57) în forme :

$$C = 1 + A \int_0^\infty \frac{ds}{R_s(s+a^2)}, \quad (61)$$

$$C(\mu_d - \mu_0) \frac{abc}{2} + \frac{B^*}{H_0} \frac{abs}{2} = -A\mu_0$$

din care se calculează constantele A și C :

$$C = \frac{\mu_0 - \frac{B^*}{H_0} A_1(0)}{\mu_0 + (\mu_d - \mu_0) A_1(0)}, \quad (62)$$

$$A = -\frac{abc}{2} \frac{(\mu_d - \mu_0) H_0 + B^*}{H_0 \mu_0 + (\mu_d - \mu_0) A_1(0)}$$

unde s-a făcut notația

$$A_1(0) = \frac{abc}{2} \int_0^\infty \frac{ds}{R_s(s+a^2)} \quad (63)$$

Intensitatea cîmpului magnetic în interiorul elipsoidului rezultă sub forma

$$\bar{H}_i = -\nabla V_{Hi} = \frac{\mu_0 H_0 - B^* A_1(0)}{\mu_0 + (\mu_d - \mu_0) A_1(0)} \bar{l} \quad (64)$$

Tinînd cont de (50) și că în punctul P , $\bar{B}_i = \mu_i \bar{H}_i$, din (64) rezultă

$$A_1(0) [\mu_d \bar{H}_i + B^*] + [\mu_0 - \mu_0 A_1(0)] H_i = \mu_0 H_0$$

sau

$$\frac{B_i}{B_0} = \frac{\mu_r}{1 + (\mu_r - 1) A_1(0)} \quad (65)$$

relație identică cu cea cunoscută pentru medii liniare. Un caz particular important în aplicațiile practice îl constituie elipsoidul de revoluție alungit : $b=c$, pentru care avem:

$$A_1(\sigma) = \frac{abc}{2} \int_0^{\infty} \frac{ds}{(b^2+s)(a^2+s)^{3/2}} = \frac{1-e^2}{2e^3} \left(\ln \frac{1+e}{1-e} - 2e \right) \quad (66)$$

unde

$$e = \frac{1}{a} \sqrt{a^2 - b^2}$$

2.6.3. Măsurarea permeabilității magnetice a mediilor neliniare. Rezultate experimentale

Relațiile (56) și (65) sugerează posibilitatea măsurării permeabilităților magnetice ale mediilor neliniare, în particular ale fluidelor magnetice, folosind probe cilindrice situate transversal respectiv longitudinal în cîmpuri magnetice exterioare omogene. Deoarece fluidele magnetice au conductivitate nulă egalitățile (56) și (65) își mențin valabilitatea și în cîmpuri magnetice exterioare variabile, dacă fenomenele pot fi considerate cuasistacionare.

Cilindru situat longitudinal

Cilindrul se aproximează cu un elipsoid de revoluție alungit. Dacă ℓ respectiv d reprezintă lungimea, respectiv diametrul cilindrului. elipsoidul ce-l aproximează se obține fie din condiția $b = \frac{d}{2}$ și $c = \frac{\ell}{2}$, fie din $b = \frac{d}{2}$ și $a = \frac{\ell}{2}$. Valoriile lui e sunt :

$$e = \frac{1}{\sqrt{1 + \left(\frac{d}{\ell}\right)^2}} \quad \text{respectiv} \quad e' = \sqrt{1 - \left(\frac{d}{\ell}\right)^2}$$

adică

$$e' = \frac{e}{\sqrt{1 - \left(\frac{d}{\ell}\right)^4}} \quad (67)$$

Se constată că pentru $\frac{d}{\ell} \ll 1$ $e \approx e'$, de unde rezultă că din punct de vedere al calculului mărimii $A_1(\sigma)$ cele două aproximări sunt echivalente. Prima construcție asigură o lungime mai mare coincidență între elipsoid și cilindru (fig.18).

Pentru măsurarea inducției magnetice din fluidul magnetic alfat în interiorul unui tub de sticlă având dimensiunile

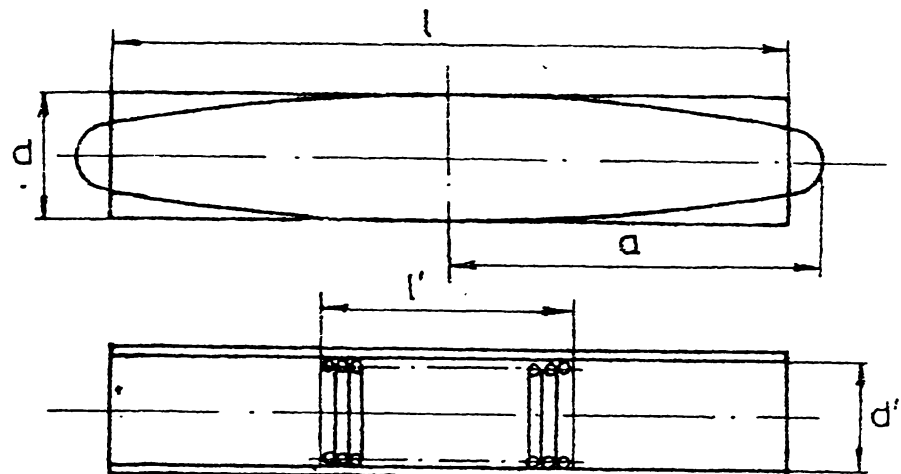


Fig.18

$d = 7,1 \text{ mm}$, $l = 100 \text{ mm}$, s-a introdus o bobină cu $N = 200$ spire de lungime $l' = 50 \text{ mm}$ având diametrul 7 mm care cuprinde porțiunea de coincidență între cilindru și elipsoid, fig.18.

Cilindrul a fost introdus într-o bobină lungă alimentată cu tensiune sinusoidală pentru a crea un cîmp exterior uniform și variabil în timp. Prin calcule s-a determinat $B_0 = \mu_0 H_0$ iar din valoarea tensiunii electromotoare induse în bobină cu $N = 200$ spire, inducția magnetică B_i cu (65) și (66) s-a calculat μ_r , rezultatele fiind reprezentate în fig.19.

Metoda este indicată pentru studiul proprietăților magnetice ale fluidelor în cîmpuri magnetice slabe.

Cilindrul lung situat transversal în cîmp magnetic

Din egalitatea (56) rezultă

$$\mu_r = \frac{B_i}{2B_0 - B_i} \quad (68)$$

expresie ce permite determinarea experimentală a permeabilității relative prin măsurarea mărimilor B_i și $2B_0 - B_i$. Aceasta s-a realizat folosind două sonde Hall legate ca în fig.20. Înainte de efectuarea măsurătorilor cele două sonde au fost etalonate, iar curentii de comandă astfel alegi încit la aceeași

inducție magnetică, tensiunile lor să fie egale. Apoi pentru conda I păsată în cîmpul de inducție B_0 , curentul ei de co-

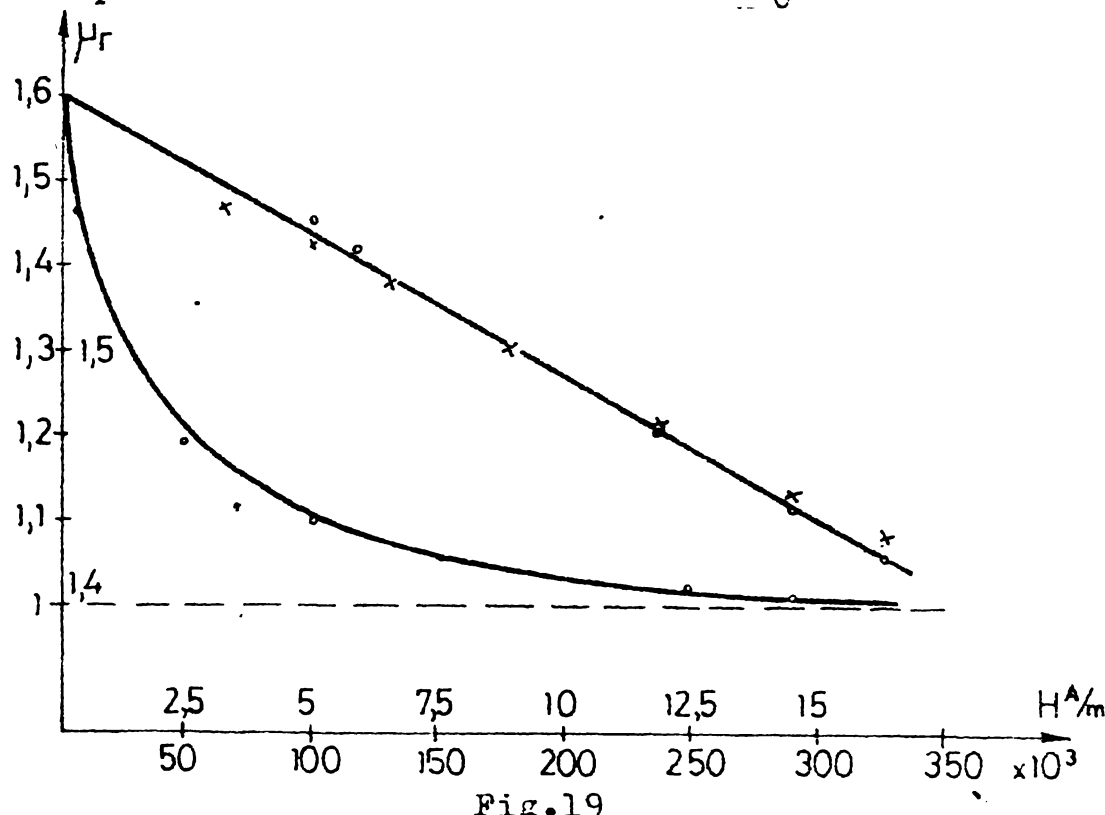


Fig.19

mandă s-a dublat. Cînd întrerupătoarele k_1 este închis și k_2 deschis, milivoltmetrul măsoară tensiunea

$$U' = U_{ho} - U_{hi} = 2CB_0 - CB_i$$

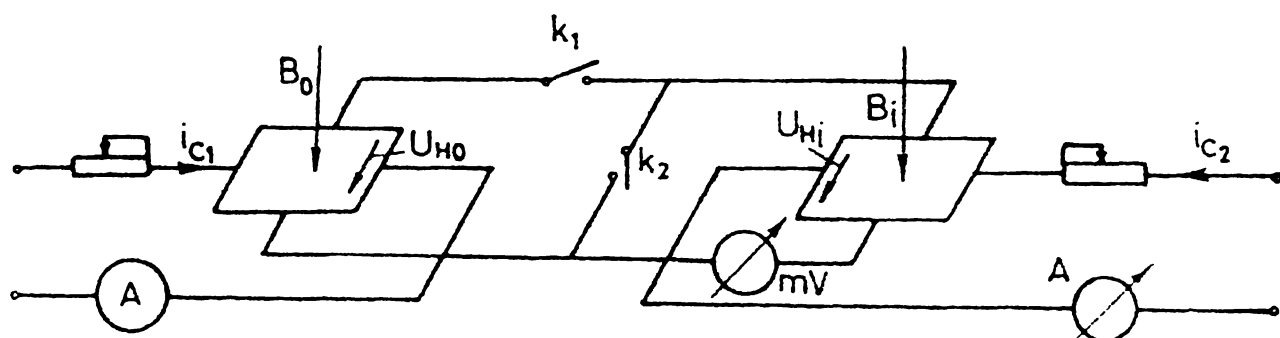


Fig.20

La k_2 închis și k_1 deschis, același instrument dă $U = CB_i$. Rezultă deci din (68) și din cele două măsurători relația de calcul

$$\mu_r = \frac{U}{U'}$$

Pentru a realiza inducția B_0 la prima sondă s-a calculat distanța minimă, r , de pe axa cilindrului astfel încât

$B'_0 = \mu_0 H_0 \approx B_0$. Din (56) rezultă pentru puncte situate pe axa ce coincide cu direcția lui B_0 , intensitatea cîmpului magnetic sub forma

$$H'_0 = H_0 + \frac{a^2}{r^2} \frac{B^* + H_0(\mu_d - \mu_0)}{\mu_d + \mu_0}$$

adică

$$\begin{aligned} \frac{B'_0 - B_0}{B_0} &= \frac{a^2}{r^2} \left[\frac{B^*}{H_0(\mu_d + \mu_0)} + \frac{\mu_d - \mu_0}{\mu_d + \mu_0} \right] = \\ &= \frac{a^2}{r^2} \left[\frac{B_i - \mu_d H_i}{H_i \frac{\mu}{\mu_0} \frac{\mu_r + 1}{2\mu_r} (\mu_d + \mu_0)} + \frac{\mu_d - \mu_0}{\mu_d + \mu_0} \right] \end{aligned}$$

și cum $B_i = \mu H_i$, avem în final :

$$\varepsilon = \frac{B'_0 - B_0}{B_0} = \frac{a^2}{r^2} \frac{\mu_r - 1}{\mu_r + 1}$$

S-au calculat pentru $\mu_r = 2$ valorile lui ε în funcție de raportul $\frac{r}{a}$. S-a ales $\frac{r}{a} > 4$ pentru că $\varepsilon < 0,02$.

Pentru determinarea corectă a inducției B_i , sonda II a fost introdusă în interiorul fluidului magnetic.

Rezultatele experimentale sunt indicate în fig.19.

Metoda este avantajoasă pentru determinarea permeabilităților magnetice ale fluidelor în cîmpuri magnetice intense.

Determinarea permeabilității lichidelor magnetice cu ajutorul galvanometrului balistic

Determinarea permeabilității magnetice a lichidelor magnetice cu ajutorul galvanometrului balistic se poate face măsurînd variația înlățuirii magnetice a unei bobine în interiorul căreia se află lichid magnetic (fig.21).

La scoserea bobinei de măsură din cîmpul magnetic al electromagnetului Weiss, variază înlățuirea magnetica a bobinei de măsură și deci, de-a lungul circuitului apare o tensiune electromotore egală cu $-\frac{d\psi}{dt}$. Considerind rezistența totală a circuitului egală cu R , va rezulta :

$$-\frac{d\psi}{dt} = iR = \frac{dQ}{dt} R \quad (69)$$

Integrînd relația (69) între limitele ψ și zero, rezultă

$$\psi = QR \quad (70)$$

Sarcina electrică măsurată de galvanometrul balistic este proporțională cu prima deviație maximă a acestuia, $Q = k\alpha_m$, k fiind constanta galvanometrului. Aproximînd tubul cu lichid magnetic,

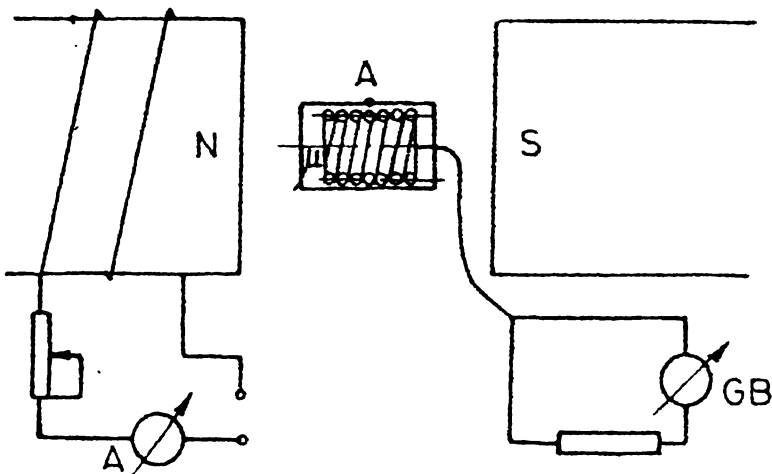


Fig.21

în care se introduce bobina cu N spire, drept un elipsoid de rotație alungit, rezultă că în interiorul tubului cîmpul magnetic este omogen, și relația (70) devine

$$I.B.S = k\alpha_m R$$

sau

$$B = \frac{kR}{N.S} \alpha_m \quad (71)$$

unde $S = \frac{\pi d^2}{4}$, d fiind diametrul mijlociu al bobinei.

Pentru determinarea intensității cîmpului magnetic în interiorul lichidului se va măsura inducția magnetică în prezența lichidului în punctul A_0 . Admitînd că intensitatea cîmpului magnetic e omogenă între polii electromagnetului, din conservarea componentelor tangente a lui B rezultă

$$H = \frac{B_o}{\mu_o} \quad (72)$$

Din relațiile (71) și (72) rezultă formula de calcul pentru permeabilitatea relativă în forma :

$$\mu_r = \frac{kR}{N \cdot S} \frac{\alpha_m}{B_o} \quad (73)$$

Pentru măsurarea sarcinii electrice, galvanometrul balistic trebuie etalonat în prealabil, măsurînd o sarcină electrică cunoscută și observînd deviația maximă a acestuia.

Etolonarea se face încărcînd un condensator la o anumită tensiune și apoi descărcîndu-l peste galvanometru ca în fig.22. Considerînd condensatorul ideal, rezultă că rezistența exterioară a galvanometrului, astfel alesă încît să fie egală cu cea critică, este $R_1 + R_2$.

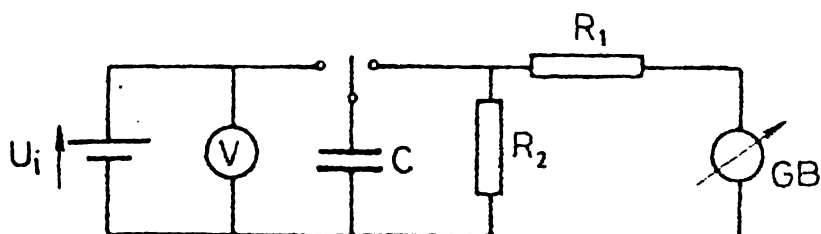


Fig.22

Sarcina electrică ce trece prin galvanometru balistic se va calcula cu relația

$$Q_1 = Q \frac{R_2}{R_1 + R_2 + R_g} = CU \frac{R_2}{R_1 + R_2 + R_g} = k \alpha_m$$

dе unde rezultă constanta galvanometrului

$$k = \frac{CR_2}{R_1 + R_2 + R_g} \frac{U}{\alpha_m} \quad (74)$$

Calculul numărului de spire al bobinei de măsură se face cu ușurință considerînd cunoscute și numărul maxim de diviziuni pe scară galvanometrului a_g , secțiunea unei spire, constanta k , și inducția magnetică maximă B_m , cu formula

$$N = \frac{k a_m \cdot R}{S B_m} \quad (75)$$

Cunoscând numărul de spire al bobinei de măsură se poate verifica dacă prin bobina galvanometrului curentul electric trece într-un timp mult mai mic decât constanta proprie a galvanometrului T_0 .

Astfel timpul în care curentul electric scade la o anumită fracție din valoarea sa inițială e

$$t^* = \frac{L}{R} \ln \frac{I_0}{I} \quad (76)$$

Pentru $\frac{I_0}{I} = 100 \quad t^* = 4,6 \frac{L}{R}$, L fiind inductivitatea circuitului, iar R rezistența sa.

Rezultatele experimentale pentru etalonarea galvanometrului sunt date în tabelul de mai jos.

Nr.crt.	U V	α_m cm	k cb/cm
1	5	5,8	$13,303 \cdot 10^{-3}$
2	7,5	8,8	$13,152 \cdot 10^{-3}$
3	10	11,9	$12,963 \cdot 10^{-3}$
4	15	17,2	$13,458 \cdot 10^{-3}$

$$\begin{aligned} R_1 &= 15 \\ R_2 &= 10 \\ R_g &= 7,4 \\ C &= 0,5 \mu F \end{aligned}$$

Cu relația (74) avem

$$k = \frac{0,5 \cdot 10^{-6} \cdot 10}{10 + 15 + 7,4} \frac{U}{\alpha_m} = \frac{5}{32,4} \cdot 10^{-6} \frac{U}{\alpha_m},$$

valoarea medie obținută pentru constanta k fiind

$$k = 13,22 \cdot 10^{-3} \text{ cb/cm}$$

Pentru $B_m = 0,1 \text{ T}_0$, $a_m = 25 \text{ cm}$, $S = 1 \text{ cm}^2$ și $R = 32,4$ se obține pentru numărul de spire al bobinei de măsură, valoarea

$$N = \frac{13,22 \cdot 10^{-3} \cdot 25 \cdot 32,4}{10^{-4} \cdot 0,1} = 10,7 \text{ spire.}$$

Pentru măsurători s-au folosit trei bobine având $N_1=10$ spire, $N_2=4$ spire și $N_3=2$ spire. Datorită faptului că suprafetele reale ale spirelor introduse în lichid nu pot fi cunoscute cu precizie s-a mai făcut o etalonare, determinând deviația α_m a galvanometrului, pentru scoaterea din cîmp, a bobinelor cu N_1 , N_2 și N_3 spire, cîmpul magnetic fiind determinat cu teslametrul Hall. Rezultă următoarele relații :

$$B_{(N1)} = 4,77\alpha_m; \quad B_{(N2)} = 11,75\alpha_m; \quad B_{(N3)} = 24,73\alpha_m.$$

Pentru bobina cu $N=10$ spire se verifică, cu ușurință că $t^* \ll T_0 = 9$ sec, inductivitatea L avînd valori de ordinul mH. S-au efectuat măsurători pentru trei tipuri de lichide magnetice obținute de colectivul de cercetare al Facultății de Inginerie chimică al IPTVT.

Rezultatele măsurătorilor sunt trecute în tabelele 1 - 3, iar corespondențele $\mu_r = \mu_r(H)$ și $\mu_0^L = f(H)$ în fig. 23.

Lichidul nr.1

Tab.1

Nr. crt.	B_0 mTe	α_m cm	B mTe	μ_r	$H = \frac{B}{\mu_0 \mu_r}$	$\mu_0^L = B \cdot \frac{\mu_r - 1}{\mu_r}$
1	1,7	1,5	7,15	4,20	1350	5,45
2	4,3	3,7	17,64	4,10	3421	13,34
3	9	6,6	31,48	3,49	7161	22,48
4	13,6	8,8	41,97	3,03	10322	23,37
5	13,5	10,5	50,08	2,70	14721	31,56
6	30	14,5	69,16	2,30	23873	39,16
7	47	19	90,63	1,92	37401	43,63
8	69	23,7	113,05	1,66	54112	45,05
9	120	14,9	175,07	1,45	95492	55,07
10	150	17,7	207,97	1,38	119366	57,97
11	200	22	258,5	1,29	159154	58,5
12	310	15	370,95	1,19	246690	60,95
13	409	19	469,87	1,14	325471	60,37
14	510	23,1	571,26	1,12	405845	61,26

Lichidul nr.2

Tab.2

Nr. crt.	B_0	mTe α_m	cm	B	mTe μ_r	$H = \frac{B}{\mu_0 \mu_r}$	$\mu_0^L = B \frac{\mu_r^{-1}}{\mu_r}$
1	1,7	1,8		8,58	5,05	1352	6,83
2	4,2	4		19,08	4,54	3342	14,83
3	8,5	6,9		32,91	3,87	6764	24,41
4	13,5	9,2		43,88	3,25	10742	30,38
5	19	11,2		53,42	2,81	15119	34,42
6	27,5	14,2		67,73	2,46	21833	40,23
7	47	19,7		93,96	1,99	37401	46,96
8	65	24,8		118,29	1,81	51725	53,29
9	87	12,2		143,35	1,64	69232	56,35
10	150	17,9		210,32	1,40	119366	60,32
11	205	22,8		268	1,30	163133	63,00
12	320	15,6		383,26	1,21	254647	68,26
13	435	20,5		506,96	1,16	346162	71,96
14	521	24		593,52	1,13	414598	72,5

Lichidul nr.3

Tab.3

Nr. crt.	B_0	mTe α_m	cm	B	mTe μ_r	$H = \frac{B}{\mu_0 \mu_r}$	$\mu_0^L = B \frac{\mu_r^{-1}}{\mu_r}$
1	1,75	1,1		5,24	2,99	1392	3,49
2	4,8	2,9		13,83	2,83	3319	9,03
3	11	5,6		26,71	2,42	8753	15,71
4	14,4	6,9		32,91	2,28	11459	18,51
5	19,3	8,2		39,11	2,02	15358	20,19
6	29,5	11		52,47	1,77	23475	22,97
7	50	16,3		77,75	1,55	39738	27,75
8	69	20,8		99,21	1,43	54908	30,21
9	125	13,8		163,32	1,30	99471	38,32
10	160	17,1		200,92	1,25	127323	42,92
11	235	23,6		277,3	1,18	137007	42,4
12	325	14,9		368,47	1,13	253626	45,47
13	423	18,9		467,39	1,10	336612	44,32
14	550	24		593,52	1,07	437676	45,52

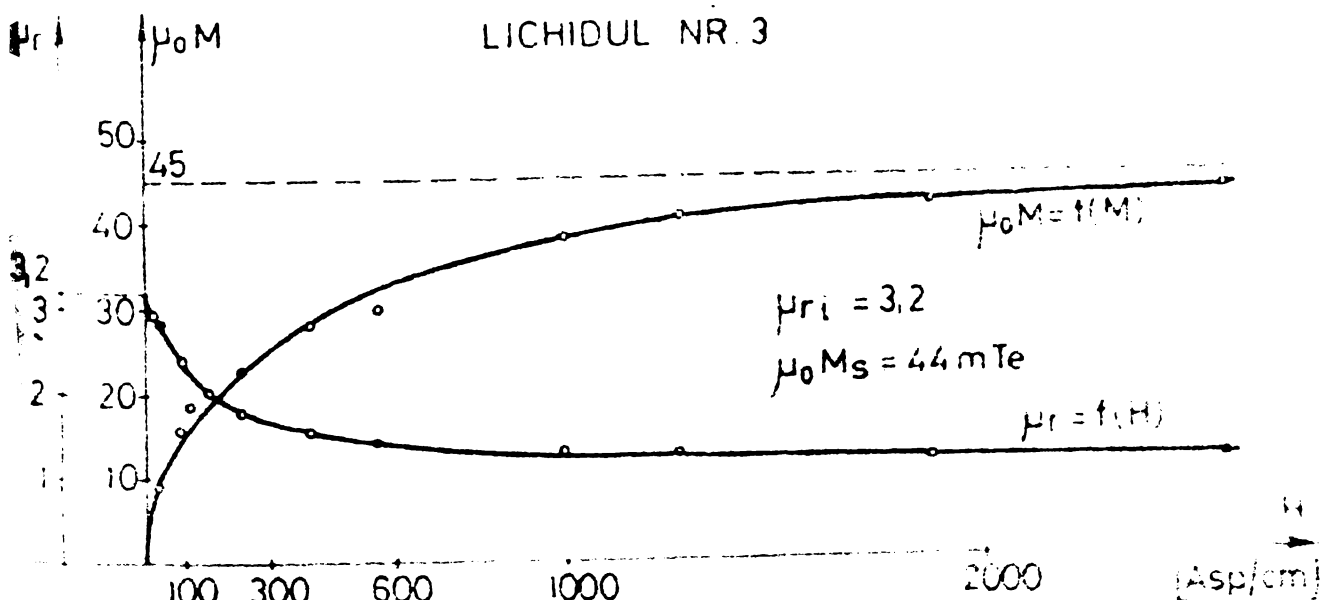
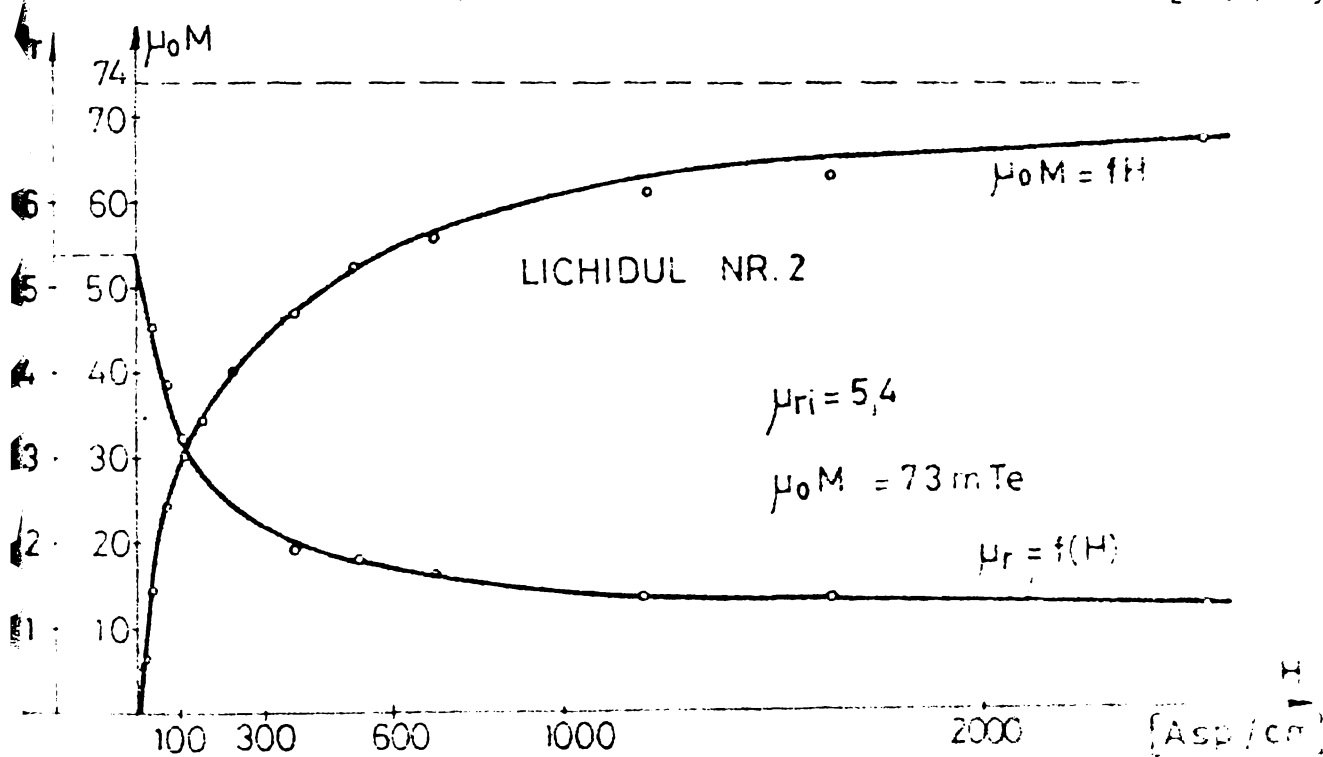
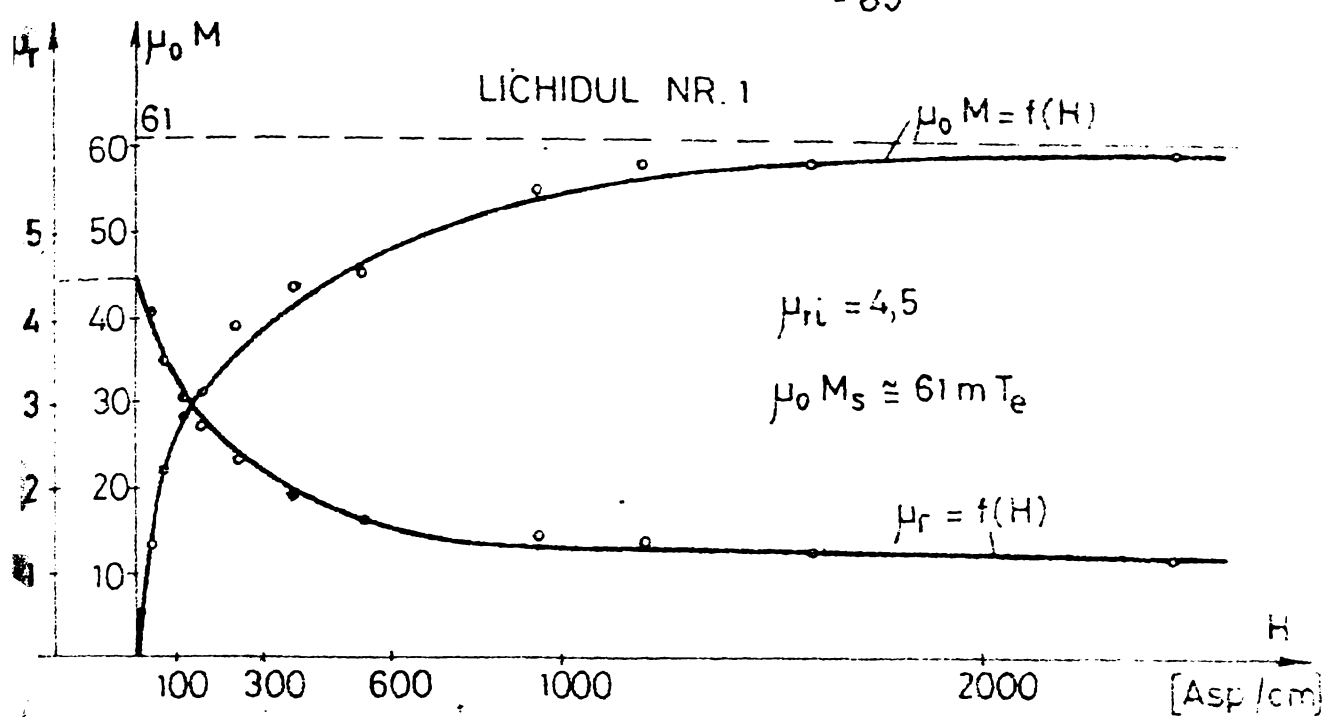


Fig. 23

2.8. Determinarea numărului de particule din unitatea de volum și a diametrului lor mediu

Datele primite de la producătorul lichidelor sunt cuprinse în tabelul 4.

Tab. 4

Cod Denumire caract.	1	2	3
Lichid de bază	Petrol	Petrol	White spirit
Densitate la 20°C	1,133	1,52	1,03
Concentrație -volumică cm ³ /cm ³ -în greutate gr/cm ³	0,0822 0,410	0,16 0,8	0,067 0,339
Compoziția particulelor γFe ₂ O ₃ % Fe ₃ O ₄ %	72,6 27,4		45,9 55,2

Obs. Pentru Fe₂O₃ $\mu_{0s}^{H*} = 5150$ G_{ss}
Fe₃O₄ $\mu_{0s}^{H*} = 5900$ G_{ss}.

Din datele de mai sus rezultă densitățile lichidului de bază ρ_L și ale materialului particulelor în suspensie.
Astfel pentru lichidul nr.1

$$\rho_m = \frac{0,41}{0,082} = 5 \text{ gr/cm}^3$$

$$\frac{\rho - \rho_L}{\rho_m - \rho_L} = 0,161$$

$$\rho_L = \frac{1,13 - 0,41}{1 - 0,082} = 0,78 \text{ gr/cm}^3$$

Pentru lichidul nr.2

$$\rho_m = 5 \text{ gr/cm}^3$$

$$\rho_L = 0,85 \text{ gr/cm}^3$$

$$\frac{\rho - \rho_L}{\rho_m - \rho_L} = 0,161$$

Pentru lichidul nr.3

$$\rho_m = 5 \text{ gr/cm}^3$$

$$\rho_f = 0,79 \text{ gr/cm}^3$$

$$\frac{\rho - \rho_f}{\rho_m - \rho_f} = 0,68$$

Cunoscind susceptivitatea magnetică inițială și magnetizația de saturare, din rezultatele experimentale, se poate determina numărul de particule din unitatea de volum și diametru median al particulelor cu relațiile (21) și (22)

$$N = \frac{\mu_0 \chi_s^2}{3kT} \frac{1 + \frac{x_i}{3}}{x_i}$$

$$D = \sqrt[3]{\frac{18 x_i kT}{\mu_0 \chi_s^2} \frac{1}{1 + \frac{x_i}{3}} \frac{\rho - \rho_f}{\rho_m - \rho_f}}$$

Pentru lichidul nr.1, $x_i = 3,5$ și $\mu_0 \chi_s \approx 61$ mre, deci

$$N = \frac{0,061^2 (1 + \frac{3,5}{3})}{3 \cdot 4 \cdot 10^{-7} \cdot 300 \cdot 1,38 \cdot 10^{-23} \cdot 3,5} \quad n = 1,47 \cdot 10^{17} \frac{\text{part}}{\text{cm}^3}$$

$$D = \sqrt[3]{\frac{18 \cdot 300 \cdot 1,38 \cdot 10^{-23} \cdot 4 \cdot 10^{-7} \cdot 0,032 \cdot 3,5}{0,061^2 (1 + \frac{3,5}{3})}} \quad D = 1,03 \cdot 10^{-10} \text{m}$$

Pentru lichidul nr.2 $x_i = 4,4$ și $\mu_0 \chi_s \approx 73$ mre

$$N = \frac{0,073^2 (1 + \frac{4,4}{3})}{3 \cdot 4 \cdot 10^{-7} \cdot 300 \cdot 1,38 \cdot 10^{-23} \cdot 4,4} \quad n = 1,17 \cdot 10^{17} / \text{cm}^3$$

$$D = \sqrt[3]{\frac{18 \cdot 300 \cdot 1,38 \cdot 10^{-23} \cdot 4 \cdot 10^{-7} \cdot 0,031 \cdot 4,4}{0,073^2 (1 + \frac{4,4}{3})}} \quad D = 1,17 \cdot 10^{-10} \text{m}$$

Pentru lichidul nr.3 $x_i = 2,2$ și $\mu_0 \chi_s \approx 44$ mre

$$N = \frac{0,044^2 \cdot (1 + \frac{2,2}{3})}{3 \cdot 4\pi \cdot 10^{-7} \cdot 300 \cdot 1,38 \cdot 10^{-23} \cdot 2,2} \quad N = 0,95 \cdot 10^{-17} / \text{cm}^3$$

$$D = \sqrt[3]{\frac{18 \cdot 300 \cdot 1,38 \cdot 10^{-23} \cdot 4 \cdot 10^{-7} \cdot 0,068 \cdot 2,2}{0,044^2 \cdot (1 + \frac{2,2}{3})}} \quad D = 110 \cdot 10^{-10} \text{m}$$

Din măsurătorile și din calculele efectuate rezultă că atât numărul de particule din unitatea de volum N , cât și diametrul mediu D , corespund datelor furnizate de producători cu renume pe plan mondial, fapt ce constituie un rezultat remarcabil al grupului de cercetare de la Facultatea de Inginerie chimică a IPTVT.

2.9. Determinarea experimentală a dependenței permisivității electrice de intensitatea cîmpului magnetic

Pentru determinarea experimentală a permisivității electrice a lichidului magnetic, precum și a dependenței acesteia de intensitatea cîmpului magnetic s-a introdus un condensator plan avînd între armături lichid magnetic între polii unui electromagnet Weiss. Capacitatea condensatorului a fost măsurată cu o punte de tip Bli 400G iar inducția magnetică între polii electromagnetului cu un teslametru Hall. Capacitatea condensatorului fără lichid între armături avea valoarea $C_0 = 44,6 \text{ pF}$.

S-au făcut măsurători asupra a trei tipuri de lichide, avînd caracteristicile date în tabelul 4.

Rezultatele obținute sunt prezentate în tabelele 5 - 7, iar reprezentările lor grafică în fig. 24.

Valoarea permisivității relative pentru ulei spirt și pentru petrol au fost măsurate rezultând

$$\varepsilon_{fr \text{ petrol}} = 2,5 \quad \text{și} \quad \varepsilon_{fr \text{ ws}} = 1,85.$$

În absența cîmpului magnetic permisivitățile relative ale celor trei lichide au avut valorile

$$\epsilon_{r1} = 3,7$$

$$\epsilon_{r2} = 5,12$$

$$\epsilon_{r3} = 1,35$$

sau

$$x_{el} = 2,7$$

$$x_{e2} = 4,12$$

$$x_{e3} = 1,25$$

Lichidul nr.1

Tab. 1

B mTe	H Asp/cm	C pF	ϵ_r
20	159	170,8	3,83
30	238	171,2	3,84
70	557	173,7	3,895
100	796	174,8	3,919
180	1432	175,4	3,933
255	2029	176	3,946
310	2466	176,2	3,951

Lichidul nr.2

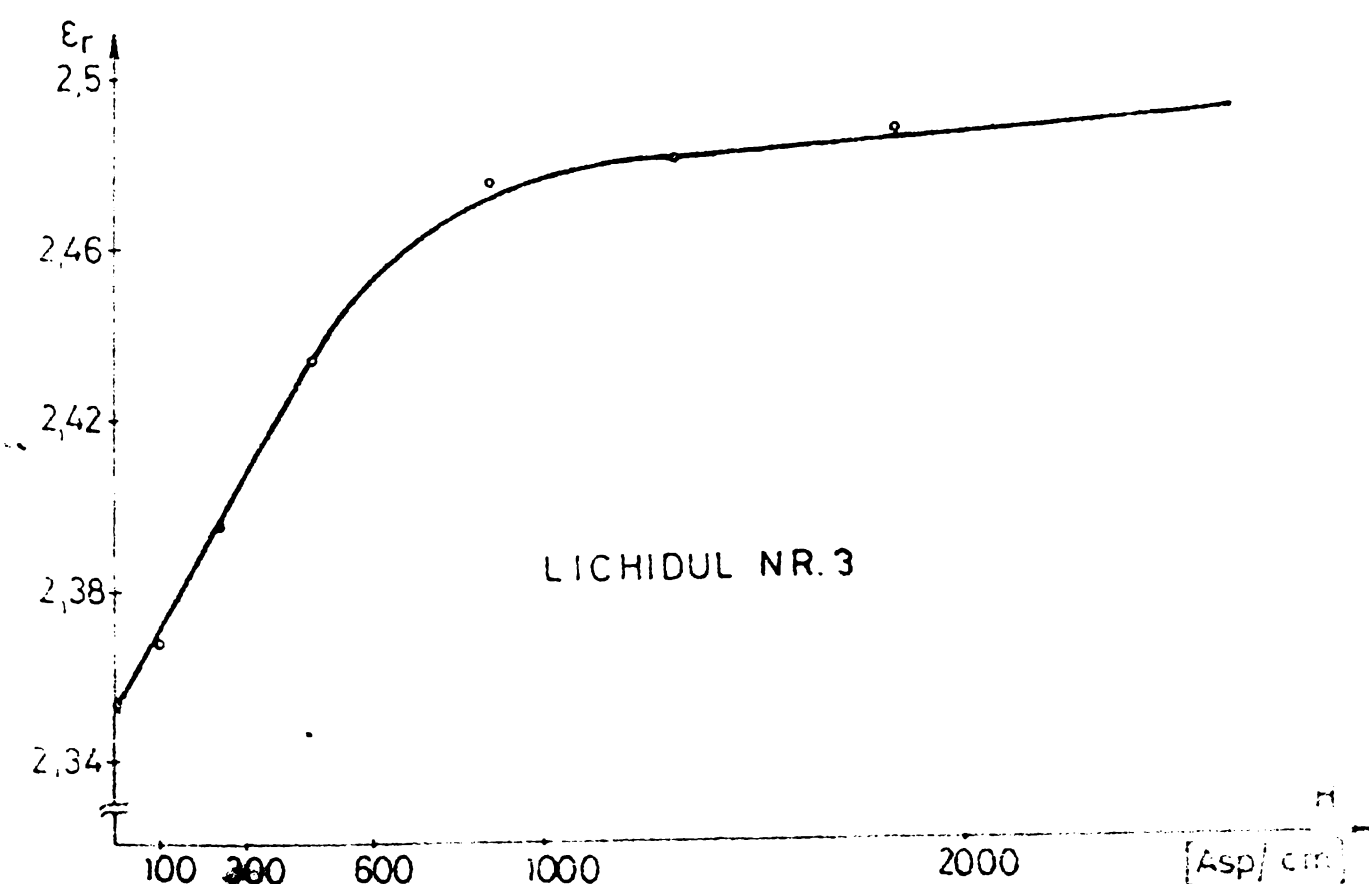
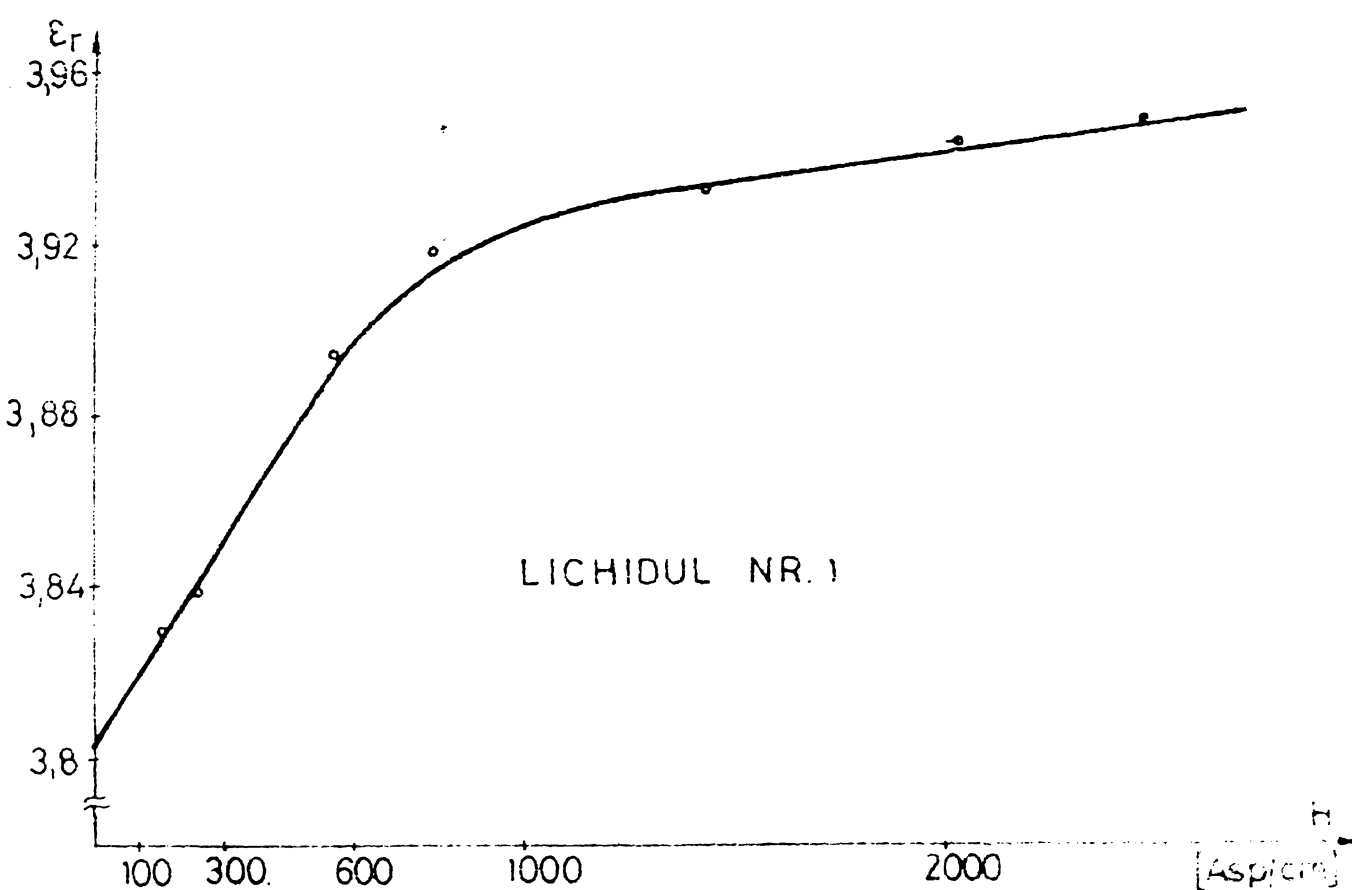
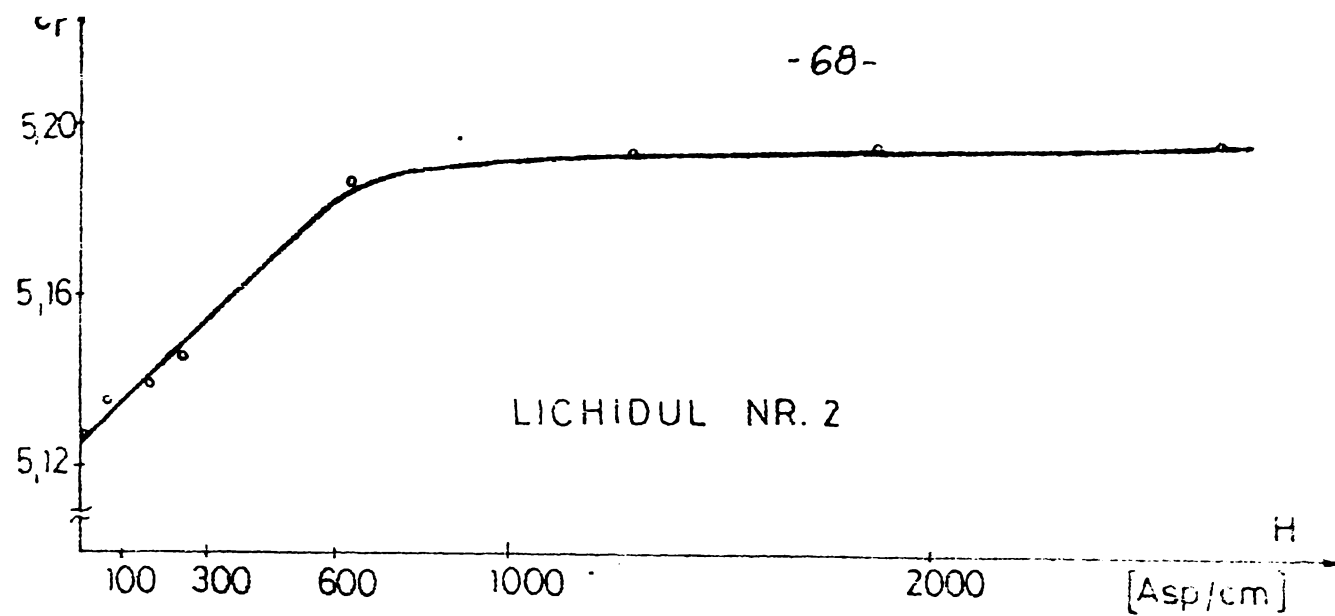
Tab. 2

B mTe	H Asp/cm	C pF	ϵ_r
1,5	12	233,7	5,135
8	64	229	5,131
21	147	229,2	5,133
30	239	229,5	5,135
80	637	231,3	5,137
163	1297	231,5	5,139
235	1870	231,7	5,139
240	2705	231,8	5,137

Lichidul nr.3

Tab. 3

B mTe	H Asp/cm	C pF	ϵ_r
0,5	4	105	4,32
13	103	105,0	4,32
16	239	104,9	4,32
50	401	104,5	4,32
110	775	104,4	4,32
160	1115	104,5	4,32
230	1450	104,9	4,32



Verificarea teoriei prezentate în capitolul II ar fi posibilă dacă s-ar cunoaște dimensiunile și b din fotografie obținute cu un microscop electronic.

Vom presupune teoria corectă și vom determina valoriile a și b pentru cele trei lichide.

Din relația (16) se obține

$$f(\alpha) = \frac{\chi_e - (1-NV)(\epsilon_{fr} - 1)}{NV\epsilon_{fr}(1 + \frac{\chi_e}{3})} \quad (77)$$

χ_e reprezentând susceptivitatea electrică a lichidului magnetic în absența cîmpului magnetic. Pentru valori mici ale cîmpului electric, din relațiile

$$f(\alpha) = \frac{1}{A_2(0)} + \left(\frac{1}{A_1(0)} - \frac{1}{A_2(0)} \right) \frac{1}{3}$$

$$A_2(0) = \frac{1}{2}[1 - A_1(0)]$$

rezultă ecuația pe care o satisface $A_1(0)$ în forma

$$A_1^2(0) - \frac{f(\alpha)-1}{f(\alpha)} A_1(0) + \frac{1}{3f(\alpha)} = 0 \quad (78)$$

După calcularea constantei $A_1(0)$ se poate determina excentricitatea cîmpului magnetic în funcție de e , rezultatul fiind cont de rezultatul din tablă mai jos.

e	$A_1(0)$	e	$A_1(0)$	e	$A_1(0)$
0,1	0,33	0,6	0,275	0,8	0,174
0,2	0,323	0,7	0,243	0,94	0,144
0,3	0,32	0,8	0,203	0,96	0,12
0,4	0,31	0,85	0,183	0,98	0,101
0,5	0,295	0,9	0,149		

Cunoscând excentricitatea și volumul mediu ai particulelor, obținut din măsurători magnetice, unde formă particulei nu are importanță, sistemul de ecuații care determină pe a și b se scrie în forma

$$\left\{ \begin{array}{l} e^2 = 1 - \frac{b^2}{a^2} \\ \frac{D^3}{8} = ab^2 \end{array} \right.$$

de unde

$$\left\{ \begin{array}{l} a = \frac{D}{2 \sqrt[3]{1-e^2}} \\ b = \frac{D}{2} \sqrt{\frac{6}{1-e^2}} \end{array} \right. \quad (79)$$

Lichidul nr.1

$$f(\epsilon) = \frac{2,7 - (1 - 0,0822)(2,5 - 1)}{0,0822 \cdot 2,5(1 + \frac{2,7}{3})} = 0,39$$

$$A_1(0)^2 - 0,705 A_1(0) + 0,093 = 0$$

Soluția corespunzătoare este $A_1(0) = 0,705 \text{ cm}^{-2}$, care rezultă $\epsilon = 0,8$.

Cu relațiile (31) avind $D_1 = 102 \cdot 10^{-10} \text{ m}$,

$$a_1 = 71 \cdot 10^{-10} \text{ m}$$

$$b_1 = 43 \cdot 10^{-10} \text{ m}$$

Lichidul nr.2

$$f(\epsilon) = \frac{4,12 - 0,84 \cdot 1,5}{0,16 - 2,5(1 + \frac{4,12}{3})} = 0,012$$

$$A_1(0)^2 - 0,603 A_1(0) + 0,11 = 0$$

din unde $A_1(0) = 0,294$, iar $e = 0,5$.

Pentru $D_2 = 117 \cdot 10^{-10}$ m se obtine

$$a_2 = 65 \cdot 10^{-10} \text{ m}, \quad b_2 = 55 \cdot 10^{-10} \text{ m}$$

Lichidul nr.3

$$f(\gamma) = \frac{1,35 - (1 - 0,067)(1,35 - 1)}{0,067 \cdot 1,35(1 + \frac{1,35}{3})} = 3,1$$

$$A_1^2(0) - 0,677 A_1(0) + 0,107 = 0$$

$$A_1(0) = 0,251 \text{ iar } e = 0,69$$

Pentru $D_3 = 110 \cdot 10^{-10}$ m rezulta

$$a_3 = 68 \cdot 10^{-10} \text{ m și } b_3 = 49 \cdot 10^{-10} \text{ m}$$

Influența cîmpului magnetic asupra permisivității dielectrice

Pentru calculul susceptivității electrice a lîmplilor magnetice în prezența cîmpului magnetic vom folosi relația (40)

$$X_e = \frac{(1 - NV)(\epsilon_{fr} - 1) + NV\epsilon_{fr}G(\alpha, \gamma)}{1 - \frac{NV}{3}\epsilon_{fr}G(\alpha, \gamma)} \quad (40)$$

unde expresia $G(\alpha, \gamma)$ o vom particulariza pentru cazul $\alpha = 0$ și $\gamma \gg 1$, adică o vom considera în cîmpuri magnetice intense și cîmpuri electrice slabe, și obținem

$$G(\alpha, \gamma) = \frac{1}{A_2(0)} + \left(\frac{1}{A_1(0)} - \frac{1}{A_2(0)} \right) \left(1 - \frac{1}{\gamma} e^{-\gamma} + \frac{1}{\gamma^2} e^{-2\gamma} - \frac{1}{\gamma^3} e^{-3\gamma} \right)$$

Pentru $\gamma \rightarrow \infty$, adică $H_0 \rightarrow \infty$, rezulta

$$G(\alpha, \gamma) = \frac{1}{A_1(0)}, \text{ susceptivitatea liniară.}$$

acest este valoarea maximă.

Ordinul de mărime al parametrilor α și γ este, pentru lichidul nr.1, spre exemplu

$$\begin{aligned}\alpha &= \left(\frac{1}{A_1} - \frac{1}{A_2} \right) \frac{\epsilon_f \cdot V}{2kT} E_0^2 = \\ &= \left(\frac{1}{0,2} - \frac{1}{0,4} \right) \frac{2,5 \cdot 4\pi \cdot 10^3 \cdot 10^{-30} E_0^2}{4\pi \cdot 9 \cdot 10^9 \cdot 3 \cdot 2 \cdot 1,38 \cdot 10^{-23} \cdot 300} = \\ &\approx 3 \cdot 10^{-14} E_0^2\end{aligned}$$

și

$$\gamma = \frac{\mu_0 K_s V}{kT} H_0 = \frac{0,5 \cdot 4 \cdot 1,02^3 \cdot 10^{-24}}{3 \cdot 3 \cdot 10^2 \cdot 1,38 \cdot 10^{-23}} H_0 = 5 \cdot 10^{-4} H_0$$

relația (80) putînd deci fi folosită cu bună aproximare pentru $H_0 > 10^4$ A/m.

Valorile maxime calculate, ale susceptivității electrice ale celor trei lichide sunt

$$x_{elmax} = 3,64 \quad x_{e2max} = 4,66 \quad x_{e3max} = 1,4.$$

Vom calcula susceptivitățile celor trei lichide pentru $\gamma = 5$.

Lichidul nr.1

$$A_1(0) = 0,198 \quad A_2(0) = \frac{1}{2}(1 - 0,198) = 0,401$$

$$G(\alpha, \gamma) = \frac{1}{0,401} + \left(\frac{1}{0,198} - \frac{1}{0,401} \right) 0,6 = 4,02$$

$$x_e = \frac{(1-0,092)1,5+0,082 \cdot 2,5 \cdot 4,02}{1 - \frac{0,082}{3} 2,5 \cdot 4,02} = 5,03$$

Lichidul nr.2

$$A_1(0) = 0,294 \quad A_2(0) = 0,353$$

$$G(\alpha, \gamma) = 3,11$$

$$x_e = \frac{(1-0,16)1,5+0,16 \cdot 2,5 \cdot 3,11}{1 + \frac{0,16}{3} \cdot 2,5 \cdot 3,11} = 4,27$$

Lichidul nr.3

$$A_1(0) = 0,251 \quad A_2(0) = 0,374$$

$$G(,) = 3,459$$

$$x_e = \frac{(1-0,067) \cdot 0,85 + 0,067 \cdot 1,85 \cdot 3,459}{1 + \frac{0,067}{3} \cdot 1,85 \cdot 3,459} = 1,42$$

Rezultatele experimentale sunt apropiate de cele calculate, unele abateri explicindu-se prin faptul că în calcule am considerat particulele în suspensie drept medii conductoare (adică $\epsilon_2 \rightarrow \infty$). Pentru ϵ_2 finit, rezultatele calculated s-ar fi apropiat mai mult de cele măsurate.

O verificare teoretică corectă ar fi posibilă doar după cunoașterea dimensiunilor particulelor, obținută cu ajutorul unui microscop electronic.

In concluzie, experiențele confirmă faptul că în prezența unui câmp magnetic paralel cu cel electric suscitativitatea electrică a lichidelor magnetice crește, rezultatul fiind asemănătoare cu cele întâlnite în [55].

CAPITOLUL 3

FORTE ÎN MEDII NELINIARE

Problema determinării forțelor ce se exercită asupra fluidelor neliniare introduse în cîmp electromagnetic este deosebit de importantă în aplicații.

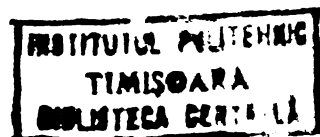
In acest capitol se deduce expresia densității efective a forței de volum ce se exercită asupra fluidelor neliniare introduse în cîmp magnetic. Se vor deduce apoi forțele ce se exercită la suprafața de separație dintre medii fluide neliniare atunci cînd sunt plasate în cîmp electromagnetic, suprafață parcursă de curenti superficiali de conductie și avînd sarcina liberă pe ea.

In scopul determinării forțelor la suprafața de separație dintre medii neliniare avînd $J_s \neq 0$ și $\rho_s \neq 0$ este necesar să se trateze în mod unitar problema ciupurilor electrocinetice repartizate pe suprafete.

3.1. Forțe în medii fluide neliniare

In literatură densitatea forței de volum ce se exercită asupra mediilor neliniare se determină după ce în prealabil se stabilește expresia tensorului tensiunilor exercitată de cîmpul magnetic asupra acestora. Ipoteza acestor demonstrații constă în echivalarea oricărui cîmp electromagnetic din medii masive cu cîmpul care s-ar stabili între conductoare filiforme parcuse de curenti de conductie [50]...[55].

In cele ce urmăiază se va stabili în mod direct tensitatea efectivă a forței de volum exercitată de cîmpul electromagnetic asupra mediilor fluide fără îstereză, izotropă și omogene pe porțiuni fără a face ipoteza menzionată, permind



de la teorema generalizată a forțelor lagrangeene care se enunță astfel :

La deformații ale corpurilor cu polarizare ireversibilă din interiorul unei suprafețe închise Σ care fixează fixe punctele acestei suprafețe și în rest sunt arbitrară, lucrul mecanic elementar cedat de cimp este egal și în sens contrar cu variația energiei electromagnetice localizate în V_Σ , dacă în decursul variației elementare considerate fluxurile magnetice și electrice prin orice suprafață atesată S conținută în V_Σ sunt constante [60]. Adică :

$$\int_{V_\Sigma} \bar{f}_m \bar{v} dv = - \frac{d}{dt} \int_{V_\Sigma} w_m dv \quad (32)$$

dacă $\frac{d\bar{B}}{dt} = \frac{d\bar{f}}{dt} = 0$

unde

\bar{f}_m = densitatea efectivă a forței de volum

\bar{v} = viteza punctelor materiale din interiorul suprafeței

w_m = densitatea de volum a energiei magnetice libere.

Pentru medii neliniare, fără nisteroză densitatea de energie magnetică liberă are expresia :

$$w_m = w_m(H, \rho, T) = HB - \int_0^H B dH$$

unde $B = \mu(H, \rho, T)H$ reprezintă inducția magnetică.

Tinând cont că în decursul deplasării elementare considerate punctele suprafeței Σ rămân fixe, expresia (32) a bilanțului energetic se poate scrie sub formă :

$$\int_{V_\Sigma} \bar{f}_m \bar{v} dv = - \int_{V_\Sigma} \frac{\partial w_m}{\partial t} dv \quad (33)$$

pentru calculul variației locale a densității de energie magnetică liberă datorată deplasării elementare și variației în raport cu timpul a intensității unui cimp magnetic și a densității de masă se va ține cont că

$$w_m = w_m [H(r, t) \rho(r, t)] = w_m(r, t)$$

Derivata substanțială a densității de energie magnetice liberă are expresia

$$\frac{d_s w_m}{dt} = \frac{\partial w_m}{\partial t} + \bar{v} \operatorname{grad} w_m = \frac{\partial w_m}{\partial H} \frac{d_s H}{dt} + \frac{\partial w}{\partial \rho} \frac{d \rho}{dt} \quad (34)$$

Cum însă $\frac{d \rho}{dt} = 0$ din legea conservării masei, și având în vedere relația

$$\frac{d \rho}{dt} = \frac{d_s \rho}{dt} - \bar{v} \operatorname{grad} \rho + \operatorname{div}(\rho \bar{v}) = \frac{d_s \rho}{dt} + \rho \operatorname{div} \bar{v}$$

rezultă pentru variația locală a densității de energie expresia

$$\frac{\partial w_m}{\partial t} = -\bar{v} \operatorname{grad} w_m - \rho \frac{\partial w_m}{\partial \rho} \operatorname{div} \bar{v} + \frac{\partial w_m}{\partial H} \left(\frac{\partial H}{\partial t} + \bar{v} \operatorname{grad} H \right) \quad (35)$$

sau

$$\begin{aligned} \frac{\partial w_m}{\partial t} &= -\bar{v} \operatorname{grad} HB + \bar{v} \operatorname{grad} \int_0^H B dH - \operatorname{div}(\bar{v} \rho \frac{\partial w_m}{\partial \rho}) + \\ &+ \bar{v} \operatorname{grad}(\rho \frac{\partial w_m}{\partial \rho}) + H \frac{\partial B}{\partial H} \left(\frac{\partial H}{\partial t} + \bar{v} \operatorname{grad} H \right) = \\ &= -\bar{v} \operatorname{grad} HB + \bar{v} \operatorname{grad} \int_0^H B dH - \operatorname{div}(\bar{v} \rho \frac{\partial w_m}{\partial \rho}) + \\ &+ \bar{v} \operatorname{grad} \left(\rho H \frac{\partial B}{\partial \rho} - \int_0^H \rho \frac{\partial B}{\partial \rho} dH \right) + H \frac{\partial B}{\partial H} \left(\frac{\partial H}{\partial t} + \bar{v} \operatorname{grad} H \right) \end{aligned} \quad (36)$$

Variația locală a inducției magnetice, $B = B(H(r, t), \rho(r, t))$ se poate scrie în același mod :

$$\frac{\partial B}{\partial t} = -\bar{v} \operatorname{grad} B - \rho \frac{\partial B}{\partial \rho} \operatorname{div} \bar{v} + \frac{\partial B}{\partial H} \left(\frac{\partial H}{\partial t} + \bar{v} \operatorname{grad} H \right) \quad (37)$$

Inmulțind relația (37) cu H rezultă :

$$\begin{aligned} H \frac{\partial B}{\partial t} &= \bar{H} \frac{\partial \bar{B}}{\partial t} = \bar{H} \cdot \frac{d_f \bar{B}}{dt} - \bar{H} \operatorname{rot}(\bar{B} \times \bar{v}) = -\bar{v} \bar{H} \operatorname{grad} B - \\ &- H \rho \frac{\partial B}{\partial \rho} \operatorname{div} \bar{v} + H \frac{\partial B}{\partial H} \left(\frac{\partial H}{\partial t} + \bar{v} \operatorname{grad} H \right) = \end{aligned}$$

$$= -\bar{v}H \operatorname{grad} B - \operatorname{div}[\bar{v}H\rho \frac{\partial B}{\partial p}] + \bar{v} \operatorname{grad}(H\rho \frac{\partial B}{\partial p}) + \\ + H \frac{\partial B}{\partial H} \left(\frac{\partial H}{\partial t} + \bar{v} \operatorname{grad} H \right).$$

Din ultima egalitate, cu $\frac{d\bar{f}}{dt} = 0$, prin ipoteza și având în vedere egalitatea

$$+ \bar{H} \operatorname{rot}(\bar{B}x\bar{v}) = \operatorname{div}[(\bar{B}x\bar{v})x\bar{H}] + \bar{J}(\bar{B}x\bar{v})$$

se obține :

$$\bar{v} \operatorname{grad}(H\rho \frac{\partial B}{\partial p}) = -\operatorname{div}[(\bar{B}x\bar{v})x\bar{H}] - \bar{J}(\bar{B}x\bar{v}) + \bar{v}H \operatorname{grad} B + \\ + \operatorname{div}(\bar{v}H\rho \frac{\partial B}{\partial p}) - H \frac{\partial B}{\partial H} \left(\frac{\partial H}{\partial t} + \bar{v} \operatorname{grad} H \right) \quad (83)$$

Introducind expresia (83) în (86), avem :

$$\frac{\partial w_m}{\partial t} = -\bar{v}(H \operatorname{grad} B + B \operatorname{grad} H) + \bar{v} \operatorname{grad} \int_0^H B dH - \operatorname{div}(\bar{v}\rho \frac{\partial w_m}{\partial p}) - \\ - \bar{v} \operatorname{grad} \int_0^H \rho \frac{\partial B}{\partial p} dH + H \frac{\partial B}{\partial H} \left(\frac{\partial H}{\partial t} + \bar{v} \operatorname{grad} H \right) - \operatorname{div}[(\bar{B}x\bar{v})x\bar{H}] - \\ - \bar{v}(\bar{J}x\bar{B}) + \bar{v}H \operatorname{grad} B + \operatorname{div}(\bar{v}H\rho \frac{\partial B}{\partial p}) - H \frac{\partial B}{\partial H} \left(\frac{\partial H}{\partial t} + \bar{v} \operatorname{grad} H \right) \quad (83)$$

Din bilanțul energetic, după aplicarea relației lui Gauss-Ostrogradski termenilor de tip divergență, și având în vedere faptul că pe suprafața Σ , $\bar{v}=0$, rezultă expresia densității efective a forței de volum

$$\bar{f}_m = \bar{J}x\bar{B} + B \operatorname{grad} H - \operatorname{grad} \int_0^H B dH + \operatorname{grad} \int_0^H \rho H \frac{\partial u}{\partial p} dH \quad (90)$$

Indicii H, T în expresia (90) scot în evidență și derivata se consideră la intensitatea cîmpului magnetic, și la temperatură constantă.

Cum îndă \mathbf{B} grad $\mathbf{H} = \text{grad} \frac{\mathbf{BH}}{2} - \frac{\mathbf{H}^2}{2} \text{grad} \mu$, expresia (90) devine

$$\begin{aligned}\bar{f}_m &= \bar{J}x\bar{B} - \frac{\mathbf{H}^2}{2} \text{grad} \mu + \text{grad} \left(\frac{\mathbf{BH}}{2} - \int_0^H \mathbf{B} dH \right) + \\ &+ \text{grad} \left(\int_0^H \rho H \frac{\partial \mu}{\partial \rho} \Big|_{H,T} dH \right) \quad (91)\end{aligned}$$

Densitatea de forță \bar{f}_m poate fi exprimată în funcție de vectorii \bar{M} și \bar{H} , ținind cont de legea legăturii între \bar{B} , \bar{M} și \bar{H} . Astfel expresia (91) ia forma

$$\begin{aligned}\bar{f}_m &= \bar{J}x\bar{B} + \mu_o(H+M) \text{grad} H - \text{grad} \int_0^H \mu_o(H+M) dH + \\ &+ \text{grad} \int_0^H \rho \frac{\partial}{\partial \rho} (\mu_o H + \mu_o M) dH\end{aligned}$$

sau

$$\bar{f}_m = \bar{J}x\bar{B} + \mu_o M \text{grad} H - \text{grad} \int_0^H \mu_o L dH + \text{grad} \int_0^H \rho \mu_o \frac{\partial L}{\partial \rho} \Big|_{H,T} dH \quad (92)$$

Notând $\frac{1}{\rho} = v$, volumul unității de masă, rezultă

$$\bar{f}_m = \bar{J}x\bar{B} - \text{grad} \int_0^H \mu_o \frac{\partial(vM)}{\partial v} \Big|_{H,T} dH + \mu_o v \text{grad} H \quad (93)$$

expresie identică cu cea întâlnită în literatură.

3.1.1. Tensorul tensiunilor

Forța rezultantă ce se exercită asupra unui volum unitar mediu are expresiile echivalente

$$\bar{F} = \int_{V_\Sigma} \bar{f} dv = \oint_{\Sigma} \bar{T}_n ds \quad (94)$$

unde \bar{T}_n reprezintă vectorul stare de tensiune locală definit prin relația

$$\bar{T}_n = \frac{dF_n}{ds} \quad (95)$$

$d\bar{F}_n$ fiind forță ce se exercită prin elementul de suprafață ds având orientarea normală n asupra punctelor din vecinătatea suprafeței spre care e îndreptată normala \bar{n} . Deoarece vectorul \bar{T}_n depinde de orientarea normalei \bar{n} , relația (93) definește o infinitate de vectori. Mulțimea tuturor vectorilor \bar{T}_n reprezintă un tensor de ordinul al doilea \bar{T} , numit tensorul stare de tensiune. Folosind transformarea Gauss-Ostrogradski referitoare la tensori, relația (94) devine :

$$\bar{F} = \oint_{\Sigma} \bar{T}_n ds = \int_{V_{\Sigma}} \operatorname{div} \bar{T} dv$$

Pentru V_{Σ} arbitrar rezultă

$$\bar{f}_v = \operatorname{div} \bar{T}$$

sau în coordinate carteziene

$$f_x = \frac{\partial T_{xx}}{\partial x} + \frac{\partial T_{xy}}{\partial y} + \frac{\partial T_{xz}}{\partial z}$$

$$f_y = \frac{\partial T_{yx}}{\partial x} + \frac{\partial T_{yy}}{\partial y} + \frac{\partial T_{yz}}{\partial z}$$

$$f_z = \frac{\partial T_{zx}}{\partial x} + \frac{\partial T_{zy}}{\partial y} + \frac{\partial T_{zz}}{\partial z}$$

Se poate demonstra că există o infinitate de stări de tensiune fictive, echivalente cu densitățile de forță date [61]. Pentru a găsi una dintre ele, în expresia (90) se ține cont de următoarele egalități

$$\operatorname{grad} (\bar{H} \cdot \bar{H}) = 2[\bar{H} \times \operatorname{rot} \bar{H} + (\bar{H} \operatorname{grad}) \bar{H}]$$

Mediul fiind considerat isotrop, rezultă :

$$\bar{B} \operatorname{grad} \bar{H} = \bar{B} \times \operatorname{rot} \bar{H} + (\bar{B} \operatorname{grad}) \bar{H}$$

iar expresia densității de forță devine :

$$\bar{f}_m = (\bar{B} \operatorname{grad}) \bar{H} - \operatorname{grad} \int_0^H B dH + \operatorname{grad} \int_0^H H \rho \frac{\partial \mu}{\partial H} \Big|_{H,T} dH \quad (96)$$

Componenta după direcția x a forței \bar{f}_m are expresia :

$$f_x = B_x \frac{\partial H_x}{\partial x} + B_y \frac{\partial H_x}{\partial y} + B_z \frac{\partial H_x}{\partial z} - \frac{\partial}{\partial x} \int_0^H B dH + \\ + \frac{\partial}{\partial x} \int_0^H \rho_H \frac{\partial \mu}{\partial p} |_{H,T} dH$$

Având în vedere că $\operatorname{div} \vec{B} = 0$ se poate scrie :

$$T_{xx} = H_x B_x - \int_0^H B dH + \int_0^H H \rho \frac{\partial \mu}{\partial p} |_{H,T} dH$$

$$T_{xy} = H_x B_y$$

$$T_{xz} = H_x B_z$$

Calculind în mod analog f_y și f_z , rezultă expresia finală a componentelor tensorului tensiunilor sub forma

$$T_{ij} = \left\{ - \int_0^H B dH + \int_0^H \rho_H \frac{\partial \mu}{\partial p} |_{H,T} dH \right\} \delta_{ij} + H_i B_j \quad (97)$$

Componentele tensorului tensiunilor pot fi scrise și sub forma

$$T_{ij} = \left\{ - \kappa_0 \frac{H^2}{2} + \int_0^H \mu_0 \frac{\partial (vM)}{\partial v} |_{H,T} dH \right\} \delta_{ij} + H_i B_j \quad (98)$$

corespunzătoare expresiei (92) a densității de volum a forței.

3.1.2. Calculul vectorului \vec{T}_n

Descompunem vectorul T_n în coordinate carteziene

$$\vec{T}_n = T_{xx} \vec{i} + T_{yx} \vec{j} + T_{zx} \vec{k}$$

și se sănătărește relațiile

$$\vec{T}_n = \vec{T}_x \cos(\vec{n}, \vec{i}) + \vec{T}_y \cos(\vec{n}, \vec{j}) + \vec{T}_z \cos(\vec{n}, \vec{k})$$

unde \vec{T}_x , \vec{T}_y și \vec{T}_z sunt tensiunile corespunzătoare direcției

axelor, fiecare avînd trei componente scalare :

$$\bar{T}_x = T_{xx} \bar{i} + T_{yx} \bar{j} + T_{zx} \bar{k}$$

$$\bar{T}_y = T_{xy} \bar{i} + T_{yy} \bar{j} + T_{zy} \bar{k}$$

$$\bar{T}_z = T_{xz} \bar{i} + T_{yz} \bar{j} + T_{zz} \bar{k}$$

Pentru \bar{T}_n corespunzător relației (97) se obține :

$$\begin{aligned}\bar{T}_n &= [H_x B_x \cos(\bar{n} \cdot \bar{i}) + \left(- \int_0^H B dH + \int_0^H H \rho \frac{\partial \mu}{\partial \rho} \Big|_{H,T} dH \right) \cos(\bar{n} \cdot \bar{i}) + H_x B_y \cos(\bar{n} \cdot \bar{j}) + \\ &+ H_x B_z \cos(\bar{n} \cdot \bar{k})] \bar{i} + [H_y B_x \cos(\bar{n} \cdot \bar{i}) + H_y B_y \cos(\bar{n} \cdot \bar{j}) + H_y B_z \cos(\bar{n} \cdot \bar{k})] \bar{j} + \\ &+ [H_z B_x \cos(\bar{n} \cdot \bar{i}) + H_z B_y \cos(\bar{n} \cdot \bar{j}) + H_z B_z \cos(\bar{n} \cdot \bar{k})] \bar{k} \\ \bar{T}_n &= \bar{H}(\bar{B} \cdot \bar{n}) + \left\{ - \int_0^H B dH + \int_0^H H \rho \frac{\partial \mu}{\partial \rho} \Big|_{H,T} dH \right\} \bar{n}\end{aligned}$$

Valoarea vectorială a tensorului \bar{T} este deci cuprinsă în planul format de vectorii \bar{H} și \bar{n} (fig.25).

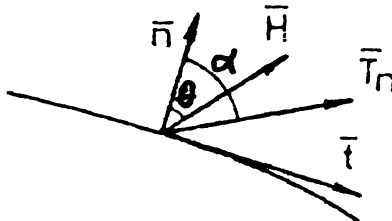


Fig.25

Componenta normală și tangentă a vectorului \bar{T}_n într-un punct la suprafața S se poate scrie :

$$T_{nn} = \bar{T}_n \cdot \bar{n} = H B \cos^2 \theta + \left(- \int_0^H B dH + \int_0^H H \rho \frac{\partial \mu}{\partial \rho} \Big|_{H,T} dH \right)$$

$$T_{nt} = \bar{T}_n \cdot \bar{t} = \frac{dH}{d\rho} \sin 2\theta.$$

Vectorul T_n are moduluo egal cu

$$T_n = \sqrt{\frac{H^2 B^2}{4} \sin^2 2\theta + \left[HB \cos^2 \theta + \int_0^H \rho H \frac{\partial \mu}{\partial \rho} |_{H,T} dH - \int_0^H BdH \right]^2}$$

și face cu normala \bar{n} un unghi α dat de relația

$$\operatorname{tg} \alpha = \frac{1}{2} \frac{HB \sin 2\theta}{HB \cos^2 \theta + \int_0^H H \rho \frac{\partial \mu}{\partial \rho} |_{H,T} dH - \int_0^H BdH}$$

Pentru medii liniare, și dacă suprafața trece prin puncte în care $\frac{\partial \mu}{\partial \rho} = 0$, avem $\alpha = 2\theta$ și $|T_n| = \frac{HB}{2}$.

3.1.3. Forțe superficiale

Se consideră un cîmp magnetic staționar stabili într-un mediul fluid neliniar și neomogen. Fie S_{12} suprafața de separație între cele două medii diferite, presupuse neîncurcă de curenti superficiali de conductie (fig.26).

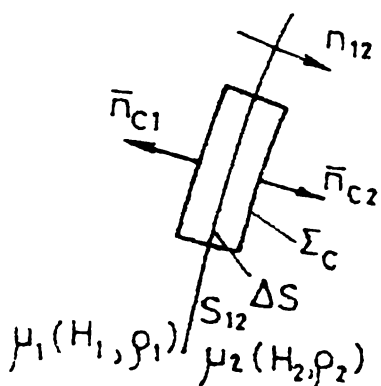


Fig.26

Expresia (91) a densității echivalente a forței de coacere nu poate fi folosită în punctele suprafeței S_{12} , deoarece aceasta reprezintă o suprafață de discontinuitate pentru proprietățile μ , ϵ , H , expresia (91) fiind dedusă în ipoteza continuității acestor proprietăți. Presupunând că trecesc la valoările μ_1 , μ_2 , B_1 din primul mediu, la valoările μ_2 , μ_1 , B_2 din al doilea mediu se face continuu, pe un strat de grosime relativă mică h , se poate calcula expresia forței ce se exercită

asupra ariei unitare de pe suprafață S_{12} . Considerim în acest scop un cilindru elementar Σ_c , a cărui bază de arie ΔS este paralelă cu S_{12} și are înălțimea h . În ipoteza enunțată, forța rezultantă ce se exercită asupra mediului din interiorul lui Σ_c este :

$$\begin{aligned} \Delta \bar{F} = & \int_{V_{\Sigma_c}} dv \bar{f}_m = - \frac{1}{2} \int_{V_{\Sigma_c}} H^2 \text{grad} \mu dv + \int_{V_{\Sigma_c}} \text{grad} \left(\frac{BH}{2} - \int_0^H BdH \right) dv + \\ & + \int_{V_{\Sigma_c}} \text{grad} \left(\int_0^H H \left. \frac{\partial \mu}{\partial \rho} \right|_{H,T} dH \right) dv \end{aligned} \quad (100)$$

Deoarece la suprafața de separație S_{12} , $\text{div}_{S_{12}} \bar{B} = 0$ și $\text{rot}_{S_{12}} \bar{H} = 0$, este avantajos să se exprime H^2 în formă

$$H^2 = H_n^2 + H_t^2 = H_t^2 + \frac{B_n^2}{\mu^2}$$

Relația (100) se va transforma în

$$\begin{aligned} \Delta F = & - \frac{H_t^2}{2} \int_{V_{\Sigma_c}} \text{grad} \mu dv + \frac{B_n^2}{2} \int_{V_{\Sigma_c}} \frac{1}{\mu^2} \text{grad} \mu dv + \\ & + \int_{V_{\Sigma_c}} \text{grad} \left(\frac{BH}{2} - \int_0^H BdH \right) dv + \int_{V_{\Sigma_c}} \text{grad} \left(\int_0^H H \left. \frac{\partial \mu}{\partial \rho} \right|_{H,T} dH \right) dv \end{aligned}$$

Tinând cont de transformarea lui Gaus: $\text{div}_{S_{12}} \bar{A} = \sum \text{curl}_{S_{12}} \bar{n}_i A_i$ referitoare la gradient rezultă :

$$\begin{aligned} \Delta F = & - \frac{H_t^2}{2} [\mu_1 \bar{n}_{c1} + \mu_2 \bar{n}_{c2}] \Delta S_c + \frac{B_n^2}{2} \left[\frac{1}{\mu_1} \bar{n}_{c1} + \frac{1}{\mu_2} \bar{n}_{c2} \right] \Delta S_c + \\ & + \left(\frac{B_n H_2}{2} - \int_0^{H_2} B_2 dH_2 \right) \bar{n}_{c2} \Delta S_c + \left(\frac{B_1 H_1}{2} - \int_0^{H_1} B_1 dH_1 \right) \bar{n}_{c1} \Delta S_c + \\ & + \left(\int_0^{H_2} H_2 \left. \frac{\partial \mu}{\partial \rho} \right|_2 dH_2 \right) \bar{n}_{c2} \Delta S_c + \left(\int_0^{H_1} H_1 \left. \frac{\partial \mu}{\partial \rho} \right|_1 dH_1 \right) \bar{n}_{c1} \Delta S_c \end{aligned}$$

Densitatea superficială a forței e definită prin relația :

$$\bar{f}_{sm} = \lim_{\substack{\Delta h \rightarrow 0 \\ \Delta S \rightarrow 0}} \frac{\Delta \bar{F}}{\Delta S} \quad (101)$$

La limita $\Delta S_c \rightarrow \Delta S$, $\bar{n}_{c1} \rightarrow -\bar{n}_{12}$, $\bar{n}_{c2} \rightarrow \bar{n}_{12}$ și deci \bar{F}_{sm} va fi

$$\bar{f}_{sm} = \frac{B_n^2}{\mu_1 \mu_2} (\mu_1 - \mu_2) \bar{n}_{12} + \text{grad}_S \left(- \int_0^H B dH + \int_0^H H \rho \frac{\partial \mu}{\partial \rho} \Big|_{H,T} dH \right) \quad (102)$$

Pentru medii liniare, termenul al doilea devine

$$\begin{aligned} & \text{grad}_S \left(- \int_0^H B dH + \int_0^H H \rho \frac{\partial \mu}{\partial \rho} \Big|_{H,T} dH \right) = \\ &= -\text{grad}_S \left(\frac{\mu_H^2}{2} \right) + \text{grad}_S \left(\frac{H^2}{2} \rho \frac{\partial \mu}{\partial \rho} \right) = \\ &= \left(\frac{\mu_1 - \mu_2}{2} H_t^2 + \frac{\mu_2 - \mu_1}{2 \mu_1 \mu_2} B_n^2 \right) \bar{n}_{12} + \text{grad}_S \left(\frac{H^2}{2} \rho \frac{\partial \mu}{\partial \rho} \right) \end{aligned}$$

iar forța superficială se scrie :

$$\bar{f}_{sm} = \frac{\mu_1 - \mu_2}{2} \left(H_t^2 + \frac{B_n^2}{\mu_1 \mu_2} \right) \bar{n}_{12} + \text{grad}_S \left(\frac{H^2}{2} \rho \frac{\partial \mu}{\partial \rho} \right)$$

expresie cunoscută în literatură.

Forța rezultantă ce se exercită asupra volumului închis de Σ_c poate fi calculată și cu ajutorul tensiunilor efective

$$\Delta \bar{F} = \int_{\Sigma_c} \bar{T}_n ds \quad (103)$$

Dacă se neglijăza integrala efectuată pe suprafața laterală a cilindrului în raport cu cele de pe suprafețele baselor, rezultă

$$\bar{F}_{sm} \Delta S = \bar{T}_{n1} \Delta S + \bar{T}_{n2} \Delta S$$

sau

$$\bar{f}_{sm} = -\bar{H}_1 (\bar{B}_1 \bar{n}_{12}) + \bar{H}_2 (\bar{B}_2 \bar{n}_{12}) + \text{grad}_S \left(- \int_0^H B dH + \int_0^H H \rho \frac{\partial \mu}{\partial \rho} \Big|_{H,T} dH \right) \quad (104)$$

Suma primilor doi termeni ai relației (104) se poate transforma după cum urmează

$$\begin{aligned} (\bar{H}_{2t} + \bar{H}_{2n})B_{2n} - (\bar{H}_{1t} + \bar{H}_{1n})B_{1n} &= \\ = (H_{2n}B_{2n} - H_{1n}B_{1n})\bar{n}_{12} &= \frac{\mu_1 - \mu_2}{\mu_1 + \mu_2} B_{2n}^2 \bar{n}_{12} \end{aligned} \quad (105)$$

deoarece $H_{1t} = H_{2t} = H_t$ și $B_n = B_{1n} = B_{2n}$.

Introducând expresia (105) în (104) se obține expresia (102).

Deducerea expresiei forței ce se exercită asupra fluidelor neliiniare aflate în cîmp magnetic staționar s-a făcut pornind de la teorema generalizată a forțelor lagrangeane.

Dacă în decursul deformațiilor elementare ale corpurilor din interiorul suprafeței închise Σ , care plătească fixe punctele acestei suprafețe, fluxul magnetic printr-o suprafață atașată conținută în V_Σ nu ar fi constant, atunci variatul energetic pentru domeniul V_Σ s-ar scrie [36]:

$$\int_{V_\Sigma} \bar{f}_E \cdot \bar{v} \, dv = - \frac{d}{dt} \int_{V_\Sigma} w_n \, dv + \int_{V_\Sigma} \bar{H} \frac{d \bar{B}}{dt} \, dv \quad (106)$$

Procedind ca la începutul paragrafului (3.1) rezultă

$$\begin{aligned} - \frac{\partial w_n}{\partial t} &= \bar{v} \cdot \text{grad}(\bar{H} - \int_0^H B \, dh) + \text{div}(\rho \frac{\partial w}{\partial \varphi} |_{H,T} \bar{v}) - \\ - \bar{v} \cdot \text{grad}(\bar{H} \frac{\partial \varphi}{\partial \rho} |_{H,T}) &= \int_0^H H \rho \frac{\partial \mu}{\partial \rho} |_{H,T} \, dh; \quad H \frac{\partial B}{\partial H} \frac{\partial H}{\partial t} + \bar{v} \cdot \text{grad} \, H \end{aligned}$$

și

$$\begin{aligned} \bar{H} \frac{d \bar{B}}{dt} &= \bar{H} \frac{\partial \bar{B}}{\partial t} + \bar{H} \cdot \text{rot}(\bar{B} \times \bar{v}) = H \frac{B}{t} + \text{div}[\bar{H} \times (\bar{B} \times \bar{v})] + \bar{v} \cdot \text{curl} \, \bar{B} = \\ - \bar{H} \left[-\bar{v} \cdot \text{grad} \, B - \rho \frac{\partial B}{\partial \rho} \, \text{div} \, \bar{v} + \frac{\partial B}{\partial H} \frac{\partial H}{\partial t} + \bar{v} \cdot \text{grad} \, H \right] &+ \\ + \text{div}[\bar{H} \times (\bar{B} \times \bar{v})] + \bar{v} \cdot (\bar{J} \times \bar{B}) & \end{aligned}$$

Inlocuind expresiile de mai sus în (106), și, în cont de transformarea Gauss Ostrogradski, se obține

pentru densitatea forței \bar{f}_m relație (91), densitatea nu trebuie să depindă de modul în care se efectuează complicitatea elementare.

Asupra fluidelor neliniiare introduse în câmp electric se exercită forțe, a căror densitate poate fi calculată în modul prezentat, considerind bilanțul energetic dat de o relație de tipul (82) în care intervine densitatea de energie electrică liberă în forma

$$w_c(E, \rho, T) = ED - \int_0^E D dE \quad (107)$$

iar densitatea de forță se va nota cu \bar{f}_e .

Fără a mai repeta calculele, vom prezenta doar rezultatele finale. Pentru densitatea de forță \bar{f}_e se obține expresia :

$$\bar{f}_e = \rho_v \bar{E} + D \operatorname{grad} E + \operatorname{grad} \left(- \int_0^E D dE + \int_0^E \rho \frac{\partial \epsilon}{\partial \rho} \Big|_{E, T} \right) \quad (108)$$

unde ρ_v reprezintă densitatea sarcinii libere. Expresia (108) poate fi pusă sub formele echivalente :

$$\bar{f}_e = \rho_v \bar{E} - \frac{E^2}{2} \operatorname{grad} \epsilon + \operatorname{grad} \left(ED - \int_0^E D dE \right) + \operatorname{grad} \left(\int_0^E \rho \frac{\partial \epsilon}{\partial \rho} \Big|_{E, T} \right) \quad (109)$$

$$\bar{f}_e = \rho_v \bar{E} + P \operatorname{grad} E - \operatorname{grad} \left(P dE \right) + \operatorname{grad} \left(\int_0^E P \frac{\partial \rho}{\partial \rho} \Big|_{E, T} \right) \quad (110)$$

$$\bar{f}_e = \rho_v \bar{E} + P \operatorname{grad} E - \operatorname{grad} \left(\int_0^E \frac{\partial (vP)}{\partial v} \Big|_{E, T} \right) \quad (111)$$

Pentru vectorul stare de tensiune se obține expresia :

$$\bar{T}_{ne} = \bar{E}(\bar{L} \cdot \bar{n}) + \left\{ - \int_0^E D dE + \int_0^E \rho E \frac{\partial \epsilon}{\partial \rho} \Big|_{E, T} \right\} \bar{n} \quad (112)$$

Componentele tensorului tensiunilor vor fi

$$T_{eij} = \left\{ - \int_0^E D dE + \int_0^E E \rho \frac{\partial \epsilon}{\partial \rho} \Big|_{E,T} dE \right\} \delta_{ij} + E_i D_j \quad (113)$$

unde

$$\delta_{ij} = \begin{cases} 0 & i \neq j \\ 1 & i = j \end{cases}$$

3.2. Cîmpuri electrocinetice repartizate pe suprafete

Pentru studiul comportării lichidelor magnetice conductorice aflate în cîmp electromagnetic este necesară deducerea densității forțelor de volum și de suprafață ce se exercită asupra acestora. Suprafața de separație dintre medii fluide neliniare poate fi parcursă de curenti superfeiciali de conductie. Pentru determinarea densităților de forță ce se exercită asupra unor astfel de suprafete, e necesar să se facă în prealabil o prezentare a teoriei macroscopice a cîmpurilor electrocinetice repartizate pe suprafete [3].

In acest paragraf se prezintă un studiu al cîmpurilor cu repartiție pe suprafete de configurație arbitrară introducindu-se în acest scop concepte matematice adecvate și se stabilesc formele pe care le iau legile diferențiale ale cîmpului electromagnetic în puncte situate pe astfel de suprafete. De asemenea se prezintă în detaliu proprietățile cîmpurilor electrocinetice staționare cu repartiție pe suprafete. Noțiunile ce urmează sătăcă sint inspirate din definiția date în [5] divergenței plane, mărime introdusă pentru studiul cîmpurilor plan paralele. Fie o suprafață S, pe care s-a definit un cîmp scalar V_s . Se numește gradient pe suprafață mărimea :

$$\text{grad}^* V_s = \lim_{\Delta S_r \rightarrow 0} \frac{\oint_{r_s} V_s d\ell \bar{a}}{\Delta S_r} \quad (114)$$

în care \bar{a} este versorul normalei tangențiale, iar r o curăță mărginiește suprafață elementară ΔS_r de pe suprafață S (fig.27). Vectorul tangențial a e orientat spre exteriorul su-

prefetei ΔS_r . Prin procedeele folosite la studiul gradientului unei funcții scalare, se poate arăta că și gradientul pe suprafață are următoarele proprietăți

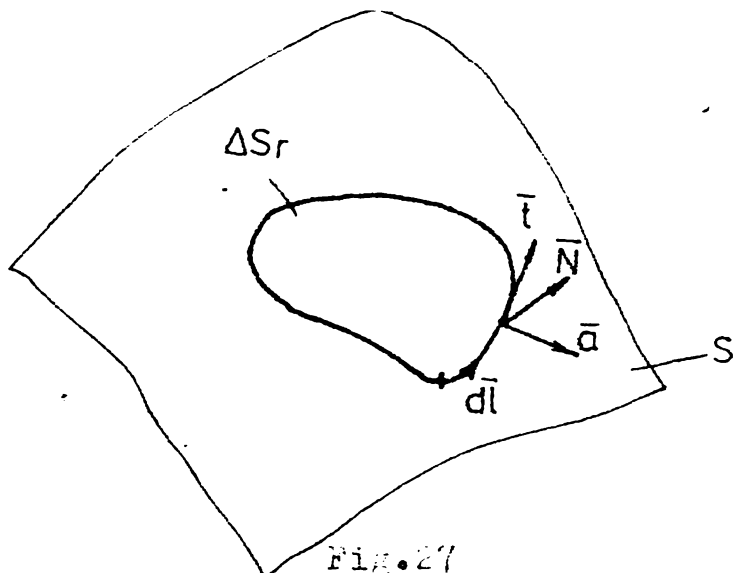


Fig. 27

- este perpendicular pe curbele echiscaleare : $V_s = \text{cst}$
și

$$d\ell \cdot \text{grad}^* V_s = dV_s$$

sau

$$\int_1^2 \text{grad}^* V_s d\ell = V_{s2} - V_{s1} \quad (115)$$

iar dacă V_s împreună cu derivatele sale este o funcție continuă, teorema lui Gauss-Ostrogradski referitoare la gradient obține forma :

$$\oint_r V_s \bar{a} d\ell = \int_{S_r} \text{grad}^* V_s ds \quad (116)$$

Fie acum un cîmp vectorial definit pe suprafața S și \bar{F}_s vectorul cîmpului. Se numește divergență pe suprafață a vectorului \bar{F}_s expresia :

$$\text{div}^* \bar{F}_s = \lim_{\substack{\Delta S_r \rightarrow 0 \\ \Delta S_r}} \frac{\oint_r \bar{F}_s \cdot \bar{a} d\ell}{\Delta S_r} \quad (117)$$

Dacă la trecerea prin curba C_d , ce separă două mediile diferențite, componentele $(\bar{F}_s \cdot \bar{a})$ suferă un salt, expresia (117) obține valori infinite în orice punct situat pe C_d . În restul de puncte se operează cu divergență lineică a vectorului \bar{F}_s , dată de :

$$\operatorname{div}_{\ell}^* \bar{F}_s = (\bar{F}_{s2} - \bar{F}_{s1}) \bar{a}_{12} \quad (118)$$

în care \bar{a}_{12} este normala tangențială orientată spre medial al doilea, iar F_{s1} și F_{s2} reprezintă vectorii cimpului în cele două medii. Cu (117) și (118) se obține transformarea lui Gauss-Ostrogradski referitoare la divergență pe suprafață sub forma:

$$\oint_{\Gamma} \bar{F}_s \cdot \bar{a} d\ell = \int_{S_r} \operatorname{div}^* \bar{F}_s ds + \int_{C_d} \operatorname{div}_{\ell}^* \bar{F}_s d\ell \quad (119)$$

Prezintă interacție în teoria cimpurilor cu repartiție pe suprafețe identitatea :

$$\operatorname{div}^* V_s \bar{F}_s = V_s \operatorname{div}^* \bar{F}_s + \bar{r}_s \cdot \operatorname{grad}^* V_s \quad (120)$$

care se demonstrează prin procedee obișnuite.

Se numește vectorul pe suprafață a vectorului F_s mărimea :

$$\operatorname{rot}^* \bar{F}_s = \lim_{\Delta S_r \rightarrow 0} \frac{\oint_{\Gamma} \bar{F}_s \times \bar{a} d\ell}{\Delta S_r} = \bar{N} \lim_{\Delta S_r \rightarrow 0} \frac{\oint_{\Gamma} \bar{F}_s \cdot d\ell}{\Delta S_r} \quad (121)$$

în care \bar{N} reprezintă normală la suprafață, iar $d\ell$ un element orientat al curbei Γ . Orientarea pe normală la suprafață corespunde triedrului barboux determinat de vectorii \bar{t} , \bar{n} , \bar{N} .

Ultima egalitate din relația (121) rezultă observând că

$$\bar{F}_s \times \bar{a} = \bar{F}_s \times (\bar{N} \times \bar{t}) = \bar{N} \cdot (\bar{F}_s \cdot \bar{t})$$

$$\text{și } \bar{a} = \bar{t} d\ell$$

Din definiția dată (121) rezultă că în cazul cimpurilor pe suprafață eminamente potențiale : $\bar{F}_s = \operatorname{grad}^* V_s$, rotorul acestora fiind nul deoarece $\oint_{\Gamma} \operatorname{grad} V_s d\ell = 0$ cum rezultă din (115).

Cind există curbe C_d la care componentele tangențiale ale vectorului \bar{F}_s sunt discontinue, definiția (121) conduce la valori infinite în puncte situate pe C_d . În acest caz se opere-

reză cu rotorul lineic dat de

$$\operatorname{rot}_{\ell}^* \bar{F}_s = (F_{st2} - F_{st1}) \bar{N} \quad (122)$$

în care F_{st2} respectiv F_{st1} sînt componentele tangente ale vectorilor \bar{F}_{sl} respectiv \bar{F}_{s2} la curba C_d , iar \bar{t} este vectorul tangent la această curbă luat în sens trigonometric.

Tinînd seama de (121) și (122) teorema lui Stokes devine :

$$\oint_C \bar{F}_s d\ell = \int_{S_r} \operatorname{rot}^* \bar{F}_s ds + \int_{C_d} \operatorname{rot}_{\ell}^* \bar{F}_s \cdot \bar{N} d\ell \quad (123)$$

In continuare se vor stabili ecuațiile cîmpurilor electrocinetice cu repartiție pe suprafațe, fig.23, numite și pînze de curent. Fie o curbă C situată pe această suprafață și $d\ell$ un element al curbei.

Se numește intensitatea lineică a curentului de conducție prin curba C mărimea

$$i_{lc} = \int_C \bar{J}_s \cdot \bar{a} d\ell \quad (124)$$

în care \bar{a} reprezintă sensul de referință al curentului, iar \bar{J}_s densitatea sa pe suprafață.

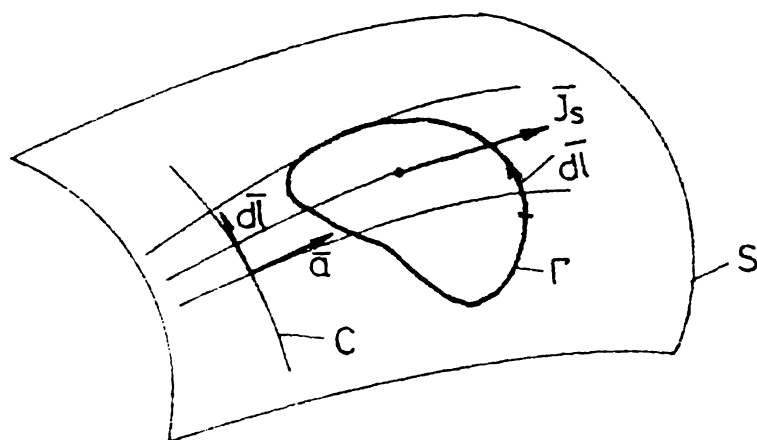


Fig.28

Se consideră o suprafață închisă Σ a cărei intersecție cu S este curba Γ , astfel concepută încît normalele pe Σ în punctele curbei Γ coincid cu versorii normalelor tangențiale pe Γ , exterioare lui S_r . Mai presupunem că suprafața Σ nu in-

tersectează alte medii conductoare. Aplicând legea conservării sarcinii electrice libere pe suprafața Σ avem :

$$i_{\Sigma} = i_Q = - \frac{dQ}{dt} \quad (125)$$

în care Q reprezintă sarcina liberă închisă de Σ .

In ipoteza că sarcina din Σ este repartizată numai pe S cu densitatea ρ_s și că suprafața S este în repaos, din (124) și (125) rezultă :

$$\oint_C \bar{J}_s \cdot d\ell = - \int_S \frac{\partial \rho_s}{\partial t} ds \quad (126)$$

care reprezintă forma integrală a legii conservării sarcinii libere în cazul pînzelor de curent. Forma diferențială se obține din definițiile operațiilor $\text{div}^* \bar{J}_s$ și $\text{div}_{\ell}^* \bar{J}_s$:

$$\text{div}^* \bar{J}_s = - \frac{\partial \rho_s}{\partial t} \quad \text{și} \quad \text{div}_{\ell}^* \bar{J}_s = - \frac{\partial Q}{\partial t} \quad (127)$$

în care ρ_s reprezintă densitatea lineică a sarcinii libere repartizată pe curba C .

Mentionăm că prima egalitate din (127) dînește de cunoscuta formă diferențială a legii continuității exprimată cu ajutorul divergenței de suprafață.

In cazul mediilor liniare și isotrope legea conductiei exprimă proporționalitatea între densitățile de suprafață a curentului de conducție și intensitatea cîmpului în sens larg $\bar{E}_s + \bar{E}_{is}$, factorul de proporționalitate fiind conductivitatea de suprafață, σ_s , a mediului :

$$\bar{J}_s = \sigma_s (\bar{E}_s + \bar{E}_{is}) \quad (128)$$

Legea inducției electromagnetice conduce la relația:

$$\text{rot}^* \bar{E}_s = \frac{\partial \bar{B}_N}{\partial t} \quad (129)$$

unde $\bar{B}_N = (\bar{B} \cdot \bar{N}) \bar{N}$ reprezintă componentă normală a vectorului inducției magnetice iar legea circuitului magnetic se scrie cu forma obișnuită

$$\text{rot}_s \bar{H} = \bar{J}_s \quad (130)$$

Pentru a stabili expresia legii transformării energiei electromagnetice prin curent de conductie în cazul pînzelor de curent se va folosi legea conservării energiei care se va aplica energiei cîmpului electromagnetic din volumul închis de o suprafață Σ în interiorul căreia există pînze de curent iar corpurile sunt imobile și nu există surse de energie (fig.29). Presupunem că în exteriorul lui Σ nu avem curenți de conductie repartizați pe suprafete. În aceste condiții, legea conservării energiei se scrie în forma :

$$-\oint_{\Sigma} (\bar{E} \times \bar{H}) d\bar{S} = \frac{\partial W_{elm}}{\partial t} + P \quad (131)$$

în care primul membru reprezintă curentul de energie care intră prin Σ , iar P este energia care în unitatea de timp se transformă în energie interioară prin degajare de căldură.

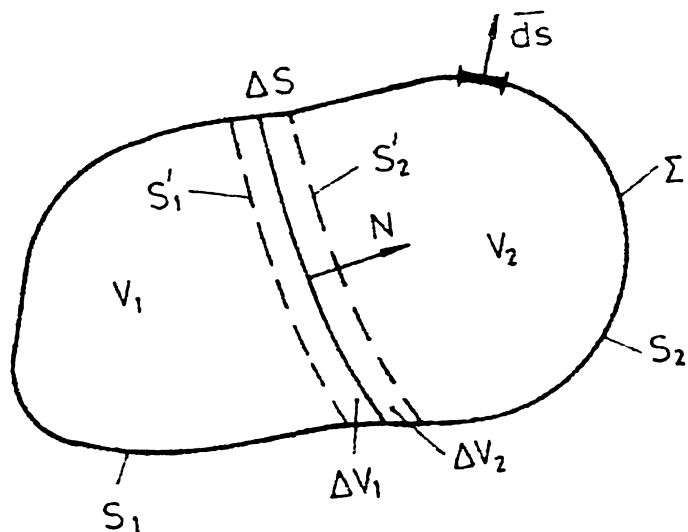


Fig.29

Suprafață S care conține pînze de curent se va încălza cu ajutorul suprafetelor S_1' , S_2' și ΔS , fig.29. Folosind noțiunile din fig.29, se poate scrie succesiv :

$$\int_{S_1 \cup S_1'} (\bar{E} \times \bar{H}) d\bar{S} = \int_{V_1 - \Delta V_1} \operatorname{div}(\bar{E} \times \bar{H}) dv = \quad (132)$$

$$= \int_{V_1 - \Delta V_1} (\bar{H} \cdot \operatorname{rot} \bar{E} - \bar{E} \cdot \operatorname{rot} \bar{H}) dv = - \int_{V_1 - \Delta V_1} \left(\mu_0 \left(\frac{\partial \bar{E}}{\partial t} + \bar{J} \right) \cdot \bar{H} \right) dv - \int_{V_1 - \Delta V_1} \bar{J} \cdot \bar{H} dv$$

$$\int_{S_2 \cup S'_2} (\bar{E} \times \bar{H}) d\bar{s} = - \int_{V_2 - \Delta V_2} (\bar{H} \frac{\partial \bar{B}}{\partial t} + \bar{E} \frac{\partial \bar{D}}{\partial t}) dv - \int_{V_2 - \Delta V_2} \bar{J} \cdot \bar{E} dv \quad (133)$$

în care s-au folosit ecuațiile lui Maxwell. Însumând egalitățile (132) și (133) se obține :

$$\int_{S_1 \cup S'_2} (\bar{E} \times \bar{H}) d\bar{s} + \int_{S'_1 \cup S'_2} (\bar{E} \times \bar{H}) d\bar{s} = - \int_{V_1 + V_2 - \Delta V} (\bar{H} \frac{\partial \bar{B}}{\partial t} + \bar{E} \frac{\partial \bar{D}}{\partial t}) dv - \int_{V_1 + V_2 - \Delta V} \bar{J} \cdot \bar{E} dv \quad (134)$$

Prin trecerea la limită a relației (134) cînd $\Delta V = \Delta V_1 + \Delta V_2 \rightarrow 0$, reuniunea $S_1 \cup S'_2$ tinde spre suprafața Σ și (134) devine :

$$\oint_{\Sigma} (\bar{E} \times \bar{H}) d\bar{s} + \int_S \bar{N}_{12} (\bar{E}_1 \times \bar{H}_1 - \bar{E}_2 \times \bar{H}_2) d\bar{s} = - \int_{V_{\Sigma}} (\bar{H} \frac{\partial \bar{B}}{\partial t} + \bar{E} \frac{\partial \bar{D}}{\partial t}) dv - \int_{V_{\Sigma}} \bar{J} \cdot \bar{E} dv \quad (135)$$

Pe de altă parte se poate scrie :

$$\begin{aligned} \bar{N}_{12} (\bar{E}_1 \times \bar{H}_1 - \bar{E}_2 \times \bar{H}_2) &= \bar{H}_1 \bar{E}_1 t \bar{a} - \bar{E}_2 \bar{E}_2 t \bar{a} = \bar{E}_t (\bar{H}_1 - \bar{H}_2) \cdot \bar{a} = \\ &= \bar{N}_{12} [\bar{E}_t \times (\bar{H}_1 - \bar{H}_2)] = \bar{E}_t \text{ rot}_S \bar{H} = \bar{E}_t \cdot \bar{J}_S = \bar{E}_S \cdot \bar{J}_S \end{aligned}$$

în care s-a ținut seama de continuitatea componentelor tangențiale ale vectorului E , de (130) și de egalitatea evidentă

$$\bar{E}_t = \bar{E}_S$$

Cu acestea, bilanțul energetic (135) devine :

$$-\oint_{\Sigma} (\bar{E} \times \bar{H}) d\bar{s} = \int_{V_{\Sigma}} (\bar{H} \frac{\partial \bar{B}}{\partial t} + \bar{E} \frac{\partial \bar{D}}{\partial t}) dv - \int_{V_{\Sigma}} \bar{J} \cdot \bar{E} dv - \int_S \bar{E}_S \bar{J}_S \quad (136)$$

Comparind (131) cu (136) rezultă nemijlocit că efectul Joule-Lenz în puncte situate pe suprafața S are expresia :

$$P_{JS} = \bar{E}_S \cdot \bar{J}_S \quad (137)$$

și reprezintă puterea cedată de cimpul electromagnetic prin curent de conductie repartizat pe suprafață.

Prezintă interes proprietățile pînzelor de curent în regim electrocinetic staționar. Legile scrise anterior obțin, în cîmpuri electrocinetice staționare cu repartiție pe suprafațe și fără cîmpuri imprimate, formele :

$$\begin{aligned} \operatorname{div}^* \bar{J}_s &= 0 \\ \operatorname{div}_{\ell}^* \bar{J}_s &= 0 \\ \bar{J}_s &= \bar{v}_s \bar{E}_s \\ \operatorname{rot}^* \bar{E}_s &= 0 \\ P_{JS} &= \bar{E}_s \cdot \bar{J}_s \end{aligned} \quad (138)$$

Din penultima egalitate din (138) rezultă că \bar{E}_s este un cîmp eminamente potențial $\bar{E}_s = -\operatorname{grad}^* V_s$, fiind potențialul scalar al intensității cîmpului electrocinetic.

Deoarece egalitățile (138) sunt identice cu cele ale unui cîmp electrocinetic staționar cu repartiție de volum rezultă că formele teoremelor de unicitate, de reflecție, de superpoziție, etc. își mențin valabilitatea și pentru pînze de curent.

Cum teorema reciprocității stă la baza conceptului de rezistență, va fi demonstrată în cele ce urmează.

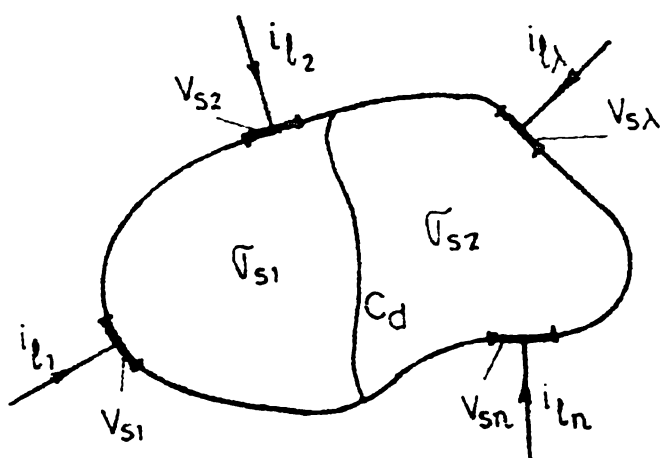


Fig.30

Fie suprafața conductoare S_r , eventual născută dintr-o cîmpură și fără cîmp imprimat, marginită de către o jumătate

mentată prin n electrozi sub potențialele V_{s1}, \dots, V_{sn} , cu intensitățile lineice $i_{\ell_1}, i_{\ell_2} \dots i_{\ell_n}$ (fig. 3o).

Considerăm o altă stare a cîmpului cu repartiție de suprafață în care electrozii au potențialele $V'_{s1}, V'_{s2} \dots V'_{sn}$ iar curentii valorile $i'_{\ell_1}, i'_{\ell_2} \dots i'_{\ell_n}$.

Se arată ușor că cele două stări satisfac relația :

$$\operatorname{div}^*(V'_s \bar{J}_s - V_s \bar{J}'_s) = -\bar{E}'_s \bar{J}_s + \bar{E}_s \bar{J}'_s = 0 \quad (139)$$

Aplicînd teorema (119) vectorului $V'_s \bar{J}_s - V_s \bar{J}'_s$ referitor la suprafața S_r avem :

$$\oint_r V'_s \bar{J}_s \bar{a} d\ell = \oint_r V_s \bar{J}'_s \bar{a} d\ell \quad (140)$$

deoarece pe curba C_d de separație între cele două medi, ne poate scrie

$$[(V'_s \bar{J}_s)_2 - (V'_s \bar{J}_s)_1] \bar{a} = V'_s \operatorname{div}^* \bar{J}_s = 0$$

$$[(V_s \bar{J}'_s)_2 - (V_s \bar{J}'_s)_1] \bar{a} = V_s \operatorname{div}^* \bar{J}'_s = 0$$

potențialele V_s și V'_s fiind funcții continue.

Desvoltînd integralele din (140) și observînd că în puncte pe curba Γ , cu excepția electrozilor $\bar{J}_s \cdot \bar{E} = \bar{J}'_s \cdot \bar{E}$ se obține :

$$\sum_1^n V'_s \lambda_i \ell_\lambda = \sum_1^n V_s \lambda_i \ell'_\lambda \quad (141)$$

care reprezintă forma integrală a teoremei reciprocidității.

În sumele ce intervin în (141) intensitatea de curenț i_λ și i'_{λ} sunt contate pozitiv dacă sensurile ℓ_λ și ℓ'_λ de referință sunt îndreptate spre mediu și negativ atunci contrar.

Arătăm acum că rezistor (fig. 31.a) format din n electrozi lineici ce stau sub potențialele V_{s1} și V_{s2} prin care trec în sensuri opuse curenti egali :

$$i_{\ell_1} = i_{\ell_2} = i_\ell$$

Suprafața conductoare poate fi nehomogenă, deci înstropă și fără cimp imprimat.

Se consideră o altă stare a sistemului fiz căreia să steargă proprietatea de rezistor, reprezentată prin V'_{S1} , V'_{S2} și $\frac{i}{i_0}$:

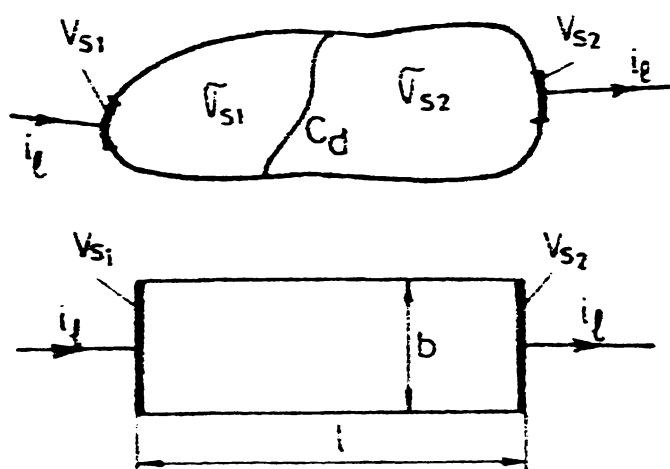


Fig.31

Cu teorema reciprocității avem :

$$\frac{V_{S1} - V_{S1}'}{i} = \frac{V'_{S1} - V'_{S2}}{i_0} = R_s \quad (142)$$

care demonstrează că raportul între diferența de potențial între electrozii și intensitatea curentului liniic este o cantitate independentă de stările electrocinetice ale mediului său. El se numește rezistență de suprafață a rezistorului.

Dacă se consideră un rezistor uniform, fig.31.c, rezistența devine

$$R_s = \frac{E_s}{\sigma_s b} = \frac{\ell}{\sigma_s b} \quad (143)$$

expresie ce justifică metoda de măsurare a lui E_s arătată în [32]. Jaldura dezvoltată în unitatea de timp într-un rezistor devine o formă carecăre, în baza relației (137) și a legii Ohm-

tici e dată de relația :

$$\frac{dQ}{dt} = \int_S \bar{J}_S \bar{E}_S ds = \int_S \frac{J_s^2}{\sigma_s} ds$$

Ultima integrală se evoluă ușor observând că pentru regimul electrocinetic stătionalar

$$\operatorname{div}^* V_s \bar{J}_s = - \frac{J_s^2}{\sigma_s}$$

și

$$\begin{aligned} \frac{dQ}{dt} &= - \int_{S_r} \operatorname{div}^* V_s \bar{J}_s ds = - \oint_{\Gamma} V_s \bar{J}_s \cdot \bar{n} d\ell = \\ &= (V_{s1} - V_{s2}) i_\ell = i_\ell^2 R_s = \frac{(V_{s1} - V_{s2})^2}{R_s} \end{aligned} \quad (144)$$

Se vede deci că rezistența unui rezistor de suprafață are proprietăți identice cu cele ale rezistenței mediilor finite pentru cimpuri electrocinetice stătionalare distribuite în volum [64].

3.3. Forțe la suprafața de separație dintre medii neliniare în cimp electromagnetic

În literatură expresia densității forței ce se exercită la suprafața de separație dintre medii fluide diferite, în prezența cimpului electromagnetic se face presupunând mediile liniare, fie cu ajutorul vectorului stare de tensiune, fie calculând limita forței de volum ce se exercită asupra unui cilindru plat cind înălțimea acestuia tinde spre zero [65, 66, 67]. A doua metodă a fost folosită în paragraful 3.1, lucru posibil datorită faptului că densitățile superficiale ale curentului de conductie și ale sarcinii libere erau nule.

În acest paragraf se stabilește expresia densității forței ce se exercită la suprafața de separație dintre medii fluide, neliniare, parcuse de curenti superficiali cu tensi-

tatea \bar{J}_s și încărcată cu sarcina liberă având densitatea ρ_s .

După cum s-a arătat în paragraful (3.1) forța se supraprafetează se calculează cu relația

$$\bar{F}_s = \lim_{\begin{array}{l} \Delta h \rightarrow 0 \\ \Delta S \rightarrow 0 \end{array}} \frac{\Delta F}{\Delta S}$$

unde ΔF reprezintă forța ce exercită asupra unui cilindru plat având aria bazei ΔS și înălțimea Δh . Pentru calculul forței ΔF , va trebui să demonstrăm că dacă într-un domeniu V_Σ din cîmp există suprafete S_d pentru care componentele tangente ale intensității cîmpului magnetic și componentele normale ale inducției electrice nu sunt continue, expresia tensorului tensiunilor (respectiv vectorul stare de tensiune) pentru puncte aparținînd suprafetei ce limitează domeniul considerat este formată identică cu expresia ce se obține dacă în interiorul suprafetei Σ n-ar exista astfel de suprafete de discontinuitate.

In acest scop, considerăm suprafața Σ ce limitează domeniul V_Σ în interiorul căreia există suprafete S_d cu $\bar{J}_s \neq 0$ și $\rho_s \neq 0$. Expresia bilanțului energetic pentru domeniul limitat de suprafața Σ , în care se ține cont și de pierderile prin efect Joule datorate curentilor superficiali (123) se scrie :

$$\frac{dh}{dt} + P_m + \int_{V_\Sigma} \bar{J} \bar{E} dv + \int_{S_d} \bar{J}_s \bar{E} ds + \oint_{\Sigma} \bar{S} d\bar{s} = 0 \quad (145)$$

unde

h = energia electromagnetică liberă înmagazinată în V_Σ

P_m = puterea mecanică dezvoltată în sistem

\bar{J}, \bar{J}_s – densitatea de volum, respectiv de suprafață a curentilor de conductie

\bar{S} – densitatea curentului de energie

în [68] se arată că expresia $\bar{S} = \bar{E} \bar{H}$ rămâne valabilă și în medii neliniare. Tinînd cont că pe suprafetele de discontinuitate S_d ,

$$\begin{aligned} \operatorname{div}_S(\bar{E}x\bar{H}) &= \bar{n}_{12}(\bar{E}_2x\bar{H}_2 - \bar{E}_1x\bar{H}_1) = \bar{n}_{12}[(\bar{E}_t + \bar{E}_{2n})x\bar{H}_2 - \\ &- (\bar{E}_t + \bar{E}_{1n})x\bar{H}_1] = \bar{E}_t[\bar{n}_{12}x(\bar{H}_1 - \bar{H}_2)] = \\ &= -\bar{E} \operatorname{rot}_S \bar{H} = -\bar{E}\bar{J}_S. \end{aligned}$$

ultimul termen al expresiei (145) se transformă după cum urmează

$$\begin{aligned} \oint_{\Sigma} (\bar{E}x\bar{H})ds &= \int_{V_{\Sigma}} \operatorname{div}(\bar{E}x\bar{H})dv + \int_{S_d} \operatorname{div}_S(\bar{E}x\bar{H})ds = \\ &= \int_{V_{\Sigma}} \operatorname{div}(\bar{E}x\bar{H})dv - \int_{S_d} \bar{J}_S \cdot \bar{E}ds \end{aligned}$$

Relația (145) capătă deci forma :

$$\frac{d\bar{W}}{dt} + P_m + \int_{V_{\Sigma}} \bar{J} \cdot \bar{E} dv + \int_{V_{\Sigma}} \operatorname{div}(\bar{E}x\bar{H})dv = 0$$

Egalitatea obținută este identică cu forma folosită în literatură pentru a determina tensorul tensiunilor într-un punct al suprafetei Σ , ce nu conține în interior suprafetele de discontinuitate S_d , fapt ce asigură invarianta formulă a tensorului tensiunilor.

Vectorul stare de tensiune \bar{T}_n va fi egal cu suma vectorilor \bar{T}_{nm} și \bar{T}_{ne} date de relațiile (99) și (112).

Densitatea forței f_s va fi

$$\bar{f}_s = \bar{f}_{se} + \bar{f}_{sm} = \bar{T}_n \cdot l + \bar{T}_n \cdot 2$$

unde cei doi termeni se calculează cu relațiile :

$$\begin{aligned} \bar{f}_{se} &= \bar{E}_2(\bar{D}_2 \cdot \bar{n}_{12}) - \bar{E}_1(\bar{D}_1 \cdot \bar{n}_{12}) + \\ &\quad \text{grad}_S \left(- \int_0^E L dE + \int_0^E E \rho \frac{\partial \epsilon}{\partial \rho} \Big|_{E_0} dE \right) \end{aligned} \quad (146)$$

respectiv (104) pentru \bar{f}_{sm} .

Vom transforma termenii \bar{f}_{se} și \bar{f}_{sm} în aşa fel încât să apară în mod explicit densitatea de curent \bar{J}_s și densitatea de sarcină ρ_s .

3.3.1. Calculul densității \bar{f}_{sm}

Tinând cont de identitatea

$$\bar{B} \times (\bar{H} \times \bar{n}) = \bar{H}(\bar{B}, \bar{n}) - \bar{n}(\bar{B} \cdot \bar{H})$$

vom exprima vectorul \bar{T}_{nm} în forma

$$\bar{T}_{nm} = \bar{B}x(\bar{H}x\bar{n}) + \bar{n}(\bar{H} \cdot \bar{B}) + \left\{ - \int_0^H B \, dH + \int_0^H H \rho \frac{\partial \mu}{\partial \rho} \Big|_{H,T} \, dH \right\} \bar{n}$$

și deci relația (104) devine :

$$\begin{aligned} \bar{f}_{sm} &= \bar{B}_2 x(\bar{H}_2 x \bar{n}_{12}) - \bar{B}_1 x(\bar{H}_1 x \bar{n}_{12}) + \bar{n}_{12}(\bar{B}_2 \bar{H}_2 - \bar{B}_1 \bar{H}_1) + \\ &+ \text{grad}_s \left(- \int_0^H B \, dH + \int_0^H H \rho \frac{\partial \mu}{\partial \rho} \Big|_{H,T} \, dH \right) \end{aligned} \quad (147)$$

Suma primilor termeni ai relației (147) (tinând cont de egalitățile

$$\left\{ \bar{n}_{12} \times (\bar{H}_2 - \bar{H}_1) = \bar{J}_s \right. \quad (148)$$

$$\left. B_m = B_{2n} = B_n \right. \quad (149)$$

devine :

$$\begin{aligned} \bar{B}_2 x(\bar{H}_2 x \bar{n}_{12}) - \bar{B}_1 x(\bar{H}_1 x \bar{n}_{12}) + \bar{n}_{12}(\bar{B}_2 \cdot \bar{H}_2 - \bar{B}_1 \cdot \bar{H}_1) &= \\ = \bar{B}_n x[(\bar{H}_2 - \bar{H}_1) \times \bar{n}_{12}] + \bar{B}_{2t} x(\bar{H}_{2t} \times \bar{n}_{12}) - \bar{B}_{1t} x(\bar{H}_{1t} \times \bar{n}_{12}) &+ \\ + \bar{n}_{12}(B_{2n}H_{2n} + B_{2t}H_{2t} - B_{1n}H_{1n} - B_{1t}H_{1t}) &= \\ = \bar{J}_s \bar{B}_n + \bar{n}_{12} B_n^2 \left(\frac{1}{\mu_2} - \frac{1}{\mu_1} \right) \end{aligned}$$

Se obține, în final, densitatea \bar{f}_{sm} în formă :

$$\bar{f}_{sm} = \bar{J}_s \times \bar{B}_n + \frac{\mu_1 - \mu_2}{\mu_1 \mu_2} B_n^2 \bar{n}_{12} + \text{grad}_s \left(- \int_0^H \beta dH + \int_0^H \rho H \frac{\partial u}{\partial \rho} |_{H,T} dH \right) \quad (149)$$

3.3.2. Calculul densității \bar{f}_{se}

Vom transforma relația (146) astfel încât să apară densitatea de sarcină în mod explicit ținând cont de

$$\begin{cases} \bar{n}_{12}(\bar{D}_2 - \bar{D}_1) = \rho_s \\ \bar{E}_{t1} = \bar{E}_{t2} = \bar{E}_t \end{cases} \quad (150)$$

Primii doi termeni din relația (146) devin :

$$\begin{aligned} \bar{E}_2(\bar{D}_2 \cdot \bar{n}_{12}) - \bar{E}_1(\bar{D}_1 \cdot \bar{n}_{12}) &= (\bar{E}_t + \bar{E}_{2n})(\bar{D}_2 \cdot \bar{n}_{12}) - (\bar{E}_t + \bar{E}_{1n})(\bar{D}_1 \cdot \bar{n}_{12}) = \\ &= \bar{E}_t[(\bar{D}_2 - \bar{D}_1) \cdot \bar{n}_{12}] + \bar{E}_{2n}(\bar{D}_2 \cdot \bar{n}_{12}) - \bar{E}_{1n}(\bar{D}_1 \cdot \bar{n}_{12}) = \\ &= \rho_s \bar{E}_t + \frac{\bar{E}_{2n}(\bar{D}_2 \cdot \bar{n}_{12}) - \bar{E}_{1n}(\bar{D}_1 \cdot \bar{n}_{12})}{2} + \bar{n}_{12} \frac{1}{2} \left(\frac{D_{2n}^2}{\varepsilon_2} - \frac{D_{1n}^2}{\varepsilon_1} \right) \end{aligned}$$

Cu relațiile (150), expresia de mai sus se transformă în :

$$\begin{aligned} \rho_s \bar{E}_t + \frac{\bar{E}_{2n}(\rho_s + \bar{D}_1 \cdot \bar{n}_{12}) - \bar{E}_{1n}(\bar{D}_2 \cdot \bar{n}_{12} - \rho_s)}{2} + \bar{n}_{12} \frac{1}{2} \left(\frac{D_{2n}^2}{\varepsilon_2} - \frac{D_{1n}^2}{\varepsilon_1} \right) = \\ = \rho_s \frac{\bar{E}_1 + \bar{E}_2}{2} + \bar{n}_{12} \frac{1}{2} \left(\frac{1}{\varepsilon_2} - \frac{1}{\varepsilon_1} \right) D_{1n} D_{2n} + \bar{n}_{12} \frac{1}{2} \left(\frac{D_{2n}^2}{\varepsilon_2} - \frac{D_{1n}^2}{\varepsilon_1} \right) \end{aligned}$$

În final se obține pentru \bar{f}_{se} expresia

$$\begin{aligned} \bar{f}_{se} = \rho_s \frac{\bar{E}_1 + \bar{E}_2}{2} + \bar{n}_{12} \frac{\varepsilon_1 - \varepsilon_2}{2\varepsilon_1 \varepsilon_2} D_{1n} D_{2n} + \bar{n}_{12} \frac{1}{2} \left(\frac{D_{2n}^2}{\varepsilon_2} - \frac{D_{1n}^2}{\varepsilon_1} \right) + \\ + \text{grad}_s \left(- \int_0^R D dE + \int_0^E \rho E \frac{\partial \varepsilon}{\partial \rho} |_{E,T} dE \right) \quad (151) \end{aligned}$$

In continuare se vor particulariza relatiile (149) si (151) pentru medii liniare fara polarizare permanenta unde $\bar{B} = \mu \bar{H}$ si $\bar{D} = \epsilon \bar{E}$, iar ϵ si μ sunt independente de intensitatea campului electric, respectiv magnetic.

Relatia (149) se va scrie, in acest caz

$$\begin{aligned} \bar{f}_{sm} &= \bar{J}_s \times \bar{B}_n + \frac{\mu_1 - \mu_2}{\mu_1 \mu_2} B_n^2 \bar{n}_{12} \bar{n}_{12} \frac{\mu_1^{H1} - \mu_2^{H2}}{2} + \\ &+ \text{grad}_s \left(\frac{H^2}{2} \rho \frac{\partial H}{\partial \rho} \right) \end{aligned} \quad (152)$$

Termenul al treilea al relatiei (152) se poate transforma astfel :

$$\begin{aligned} \bar{n}_{12} \frac{\mu_1^{H1} - \mu_2^{H2}}{2} &= \bar{n}_{12} \frac{\mu_1^{H1n} - \mu_2^{H2n}}{2} + \bar{n}_{12} \frac{\mu_1^{H1t} - \mu_2^{H2t}}{2} = \\ &= \bar{n}_{12} \frac{B_n^2}{2} \left(\frac{1}{\mu_1} - \frac{1}{\mu_2} \right) + \frac{\mu_1 \bar{H}_{1t} \times (\bar{n}_{12} \times \bar{H}_{1t}) - \mu_2 \bar{H}_{2t} \times (\bar{n}_{12} \times \bar{H}_{2t})}{2} = \\ &= - \frac{\mu_1 - \mu_2}{2\mu_1 \mu_2} B_n^2 \bar{n}_{12} + \frac{\mu_1 \bar{H}_{1t} \times [\bar{n}_{12} \times (\bar{H}_{2t} + \bar{n}_{12} \times \bar{J}_s)]}{2} - \\ &- \frac{\mu_2 \bar{H}_{2t} \times [\bar{n}_{12} \times (\bar{H}_{1t} - \bar{n}_{12} \times \bar{J}_s)]}{2} = \frac{\mu_1 - \mu_2}{2\mu_1 \mu_2} B_n^2 \bar{n}_{12} + \\ &+ \frac{\mu_1 \bar{H}_{1t} \times (\bar{n}_{12} \times \bar{H}_{2t}) - \mu_2 \bar{H}_{2t} \times (\bar{n}_{12} \times \bar{H}_{1t})}{2} + \frac{(\bar{B}_{1t} + \bar{B}_{2t}) \times [\bar{n}_{12} \times (\bar{H}_{12} \times \bar{J}_s)]}{2} \\ &= \frac{(\mu_1 - \mu_2)}{2\mu_1 \mu_2} B_n^2 \bar{n}_{12} + \frac{\bar{B}_{1t} + \bar{B}_{2t}}{2} \times (-\bar{J}_s) + \frac{\mu_1 - \mu_2}{2} \bar{n}_{1t} \cdot \bar{n}_{2t} \bar{n}_{12} \end{aligned}$$

Pentru medii liniare se obtine deci expresia densitatii de forta \bar{f}_{sm} in forma

$$\bar{f}_{sm} = \bar{J}_s \times \frac{\bar{B}_1 + \bar{B}_2}{2} + \frac{\mu_1 - \mu_2}{2} \left(\frac{B_n^2}{\mu_1 \mu_2} + H_{1t} \cdot H_{2t} \right) \bar{n}_{12} + \text{grad}_s \left(\frac{H}{2} \rho \frac{\partial \mu}{\partial \rho} \right) \quad (153)$$

Pentru a obține expresia densității \bar{f}_{se} în cazul mediilor liniare vom observa că

$$\frac{\bar{n}_{12}}{\bar{n}_{12}} \frac{\epsilon_1 E_1^2 - \epsilon_2 E_2^2}{2} = \frac{\epsilon_1 - \epsilon_2}{2} E_t^2 \bar{n}_{12} + \frac{1}{2} \left(\frac{D_{1n}^2}{\epsilon_1} - \frac{D_{2n}^2}{\epsilon_2} \right) \bar{n}_{12}$$

astfel încât \bar{f}_{se} ia forma finală :

$$\begin{aligned} \bar{f}_{se} &= \rho_s \frac{\bar{E}_1 + \bar{E}_2}{2} + \frac{\epsilon_1 - \epsilon_2}{2} \left(\frac{D_{1n} \cdot D_{2n}}{12} + E_t^2 \right) \bar{n}_{12} + \\ &+ \text{grad}_s \left(\frac{E}{2} \rho \frac{\partial \epsilon}{\partial \rho} \right) \end{aligned} \quad (154)$$

La suprafața de separație metal dielectric, câmpul electric nu are decât componentă normală în mediul dielectric și din relația (154) rezultă

$$\bar{f}_s = \rho_s \frac{\bar{E}_2}{2} = \rho_s \frac{\bar{E}}{2}$$

sau

$$\bar{f}_s = \frac{\bar{E} \rho}{2}$$

în concordanță cu rezultatul cunoscut din literatură.

Se observă deci că în expresia densității de forță \bar{f}_s , apar în mod firesc termenii $\bar{s} \frac{\bar{B}_1 + \bar{B}_2}{2}$ și $\bar{J}_s \frac{\bar{B}_1 + \bar{B}_2}{2}$, adică densitățile \bar{J}_s și ρ_s se înmulțesc cu cîmpurile corespunzătoare calculate ca semisuma cîmpurilor de pe cele două fețe ale suprafeței de discontinuitate.

Toate relațiile de mai sus se reduc la cele cunoscute, în cazul cînd $\rho_s = 0$ și $\bar{J}_s = 0$.

CAPITOLUL 4

LICHIDE MAGNETICE ÎN REGIM STATIC

In acest capitol se face un studiu al fluidelor magnetice în regim static prin determinarea presiunii în puncte din interiorul acestora atunci cînd sunt păstrate în cămpuri magnetice exterioare. Rezultatele obținute se folosesc la elaborarea unei metode de măsurare a curentilor intensiuni la studiul levitației magnetice. [74]

4.1. Presiunea în lichide magnetice

In literatură pentru determinarea presiunii în lichide magnetice se folosește în general relația lui Bernoulli generalizată [69], [70] termenul considerat drept "presiune magnetică" incluzind, în mod nejustificat doar o parte din ariile magnetice.

In acest capitol se determină în mod direct presiunea magnetică pe baza condiției de echilibru static a fluidului.

Considerăm un fluid magnetic situat în cămp exterior (fig. 32).

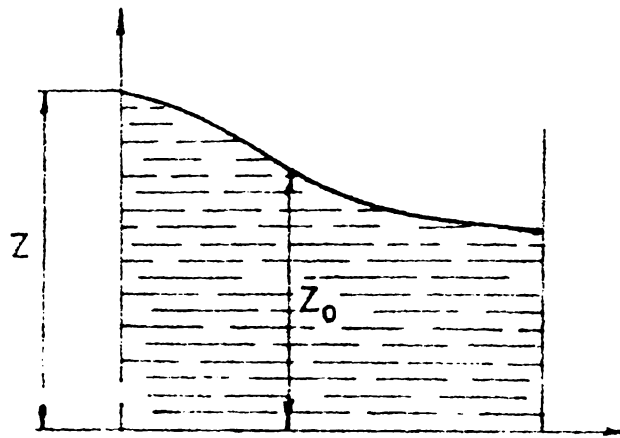


Fig.32

Condiția de echilibru a lichidului se exprimă prin relația

$$\text{grad } p - \bar{f}_v = 0 \quad (155)$$

unde

p = presiunea într-un punct din fluid

\bar{f}_v = densitatea de volum a forțelor ce se exercită asupra fluidului.

Cum lichidul se află în cîmpul gravitațional și în cîmpul magnetic, densitatea de volum \bar{f}_v va fi :

$$\begin{aligned} \bar{f}_v = & -\text{grad } \rho g z + \bar{J}_x \bar{B} + \mu_0^M \text{grad } H - \text{grad} \int_0^H \mu_0^M dH + \\ & + \text{grad} \int_0^H \mu_0 \rho \frac{\partial H}{\partial \rho} |_{H,T} dH \end{aligned} \quad (156)$$

Considerind conductivitatea lichidului nulă, rezultă $\bar{J}_x \bar{B} = 0$. Termenul al treilea al relației (156) se poate scrie

$$\mu_0^M \text{grad } H = \text{grad} \int_0^H \mu_0^M dH - \left(\int_0^H \mu_0 \frac{\partial H}{\partial T} dH \right) \text{grad } T$$

În ipoteza că nu există variații de temperatură, $\text{grad } T = 0$, introducind relația de mai sus în (156) și efectuând o integrare, se obține presiunea p în formă

$$p + \rho g z - \int_0^H \mu_0 \rho \frac{\partial H}{\partial \rho} |_{H,T} dH = A \quad (157)$$

unde A este o constantă de integrare. Pentru a o determina se pună condiția $p(P_0) = p_0 - f_{so}$ unde f_{so} reprezintă densitatea de suprafață a forței de natură magnetică ce se exercită asupra lichidului și este dată de relația (152). Deci

$$\begin{aligned} A = & \rho g z_0 + \int_0^{z_0} \mu_0 \rho \frac{\partial H}{\partial \rho} |_{H,T} dH = p_0 - \frac{B_0^2 (\mu - \mu_0)}{\mu \mu_0} - \\ & - \left[\int_0^{H(z_0)} B dH - \frac{\mu_0 H_0^2 z_0}{2} \right] + \int_0^{H(z_0)} H \rho \frac{\partial \mu}{\partial \rho} |_{H,T} dH \end{aligned}$$

Introducind constanta A în (157) presiunea p devine

$$p = p_0 + \rho g(z_0 - z) + \int_0^H \mu_0 \rho \frac{\partial B}{\partial z} \left. \frac{B_n^2(\mu - \mu_0)}{\mu \mu_0} \right|_{H,T} dz - \\ - \int_0^{H(z_0)} \mu_0 B_n^2 dH + \frac{\mu_0 H(z_0)^2}{2} - \mu_0 \frac{H_0^2}{2}$$

sau după unele calcule

$$p = p_0 + \rho g(z_0 - z) + \int_0^H \rho \mu_0 \left. \frac{\partial B}{\partial z} \right|_{H,T} dH - \\ - \left\{ \frac{B_n^2(z_0)(\mu - \mu_0)^2}{2 \mu_0 \mu^2} + \int_0^{H(z_0)} \mu_0 B_n^2 dH \right\} \quad (158)$$

cu precizarea faptului că mărimele $B_n(z_0)$ și $H(z_0)$ din relația de mai sus sunt calculate în punctul P_0 .

În cazul cînd punctul de referință este P_0 , este situat undeva în afara cimpului magnetic, relația (158) în formă :

$$p = p_0 + \rho g(z_0 - z) + \int_0^H \mu_0 \rho \left. \frac{\partial B}{\partial z} \right|_{H,T} dH \quad (159)$$

Ecuția suprafeței libere a lichidului, aflat în cimp magnetic se obține parind condiția că într-un punct oricăre pe suprafață se există relația

$$p = p_0 - f_s$$

Deci

$$\rho_0 g(z_0 - z) + \int_0^{H(z)} \rho \mu_0 \left. \frac{\partial B}{\partial z} \right|_{H,T} dH = \left\{ \frac{B_n^2(\mu - \mu_0)^2}{2 \mu_0 \mu^2} + \int_0^{H(z)} B_n^2 dH \right\} \\ = p_0 - \frac{B_n^2(\mu - \mu_0)}{\mu_0 \mu^2} - \left[\int_0^{H(z)} B_n^2 dH - \mu_0 \frac{H_0^2}{2} \right] + \int_0^{H(z)} \rho \left. \frac{\partial \mu}{\partial z} \right|_{H,T} dH$$

unde μ' este valoarea pe care o ia permisibilitatea magnetică atunci cînd intensitatea cîmpului magnetic este cea din punctul de referință.

In final se obține :

$$\rho_g(z-z_0) = \frac{B_n^2(z)(\mu-\mu_0)^2}{2\mu_0\mu} + \int_0^{H(z)} \mu_0 h \cdot dH - \\ - \left\{ \frac{B_n^2(z_0)(\mu'-\mu_0)^2}{2\mu_0\mu^2} + \int_0^{H(z_0)} \mu_0 h \cdot dH \right\} \quad (160)$$

Dacă punctul de referință s-ar afla în afara cîmpului, ecuația suprafeței ar fi dată de

$$\rho_g(z-z_0) = \frac{B_n^2(z)(\mu-\mu_0)^2}{2\mu_0\mu} + \int_0^{H(z)} \mu_0 h \cdot dH \quad (161)$$

Avînd în vedere că la suprafața de separație lîsind aer este satisfăcută relația $B_n = \mu_0 H_{no} = \mu_0 (k_n + k_n)$, primul termen al relației (160) se poate scrie :

$$\frac{B_n^2}{2\mu_0} \left(\frac{1}{\mu} - \frac{2}{\mu} + \frac{\mu_0}{\mu^2} \right) = \frac{1}{2} \left[\mu_0 H_{no}^2 - 2\mu_0 H_{nf}(k_{nf} + k_n) + \mu_0 k_{nf}^2 \right] = \\ = \frac{\mu_0}{2} (2k_n k_{nf}^2 + k_n^2) - \mu_0 H_{nf} k_n = \mu_0 \frac{k_n^2}{2}$$

relațiile (160) și (161) pot fi scrise doar în funcție de k_n

$$\rho_g(z-z_0) = \frac{\mu_0 k_n^2(z)}{2} + \int_0^{H(z)} \mu_0 h \cdot dH - \left\{ \frac{\mu_0 k_n^2(z_0)}{2} + \int_0^{H(z_0)} \mu_0 h \cdot dH \right\} \quad (160')$$

$$\rho_g(z-z_0) = \frac{\mu_0 k_n^2(z)}{2} + \int_0^{H(z)} \mu_0 h \cdot dH \quad (161')$$

Drept exemplu simplu de folosire al relației (160), sau (161) vom considera aranjamentul experimental întâlnit în

teratură [1], [2] (fig.33) unde firul conductor e parcurs de curentul continuu I . Datorită simetriei cilindrice intensi-

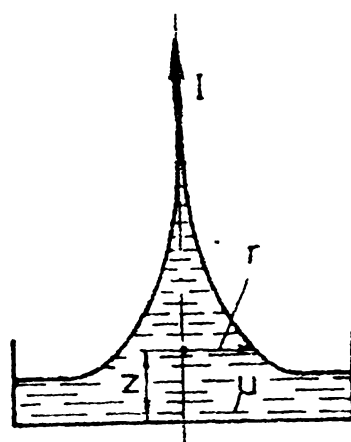


Fig.33

tatea cîmpului magnetic într-un punct la distanța r se calculează cu relația

$$H = \frac{I}{2\pi r}$$

Forma suprafetei lichidului va fi dată de relația (lei, în care se ține cont că $B_n = 0$ deci

$$z-z_0 = \frac{1}{\rho_E} \int_0^{H(z)} \mu_0 L dH$$

Pentru valori mici ale cîmpului, adică la distanțe mari de fir, considerînd porțiunea liniară a caracteristicii de magnetizare $L = (\mu_r - 1)H$ și rezultă

$$z-z_0 = \frac{(\mu-\mu_0)}{8\pi^2 \rho_E} \frac{I^2}{r^2}$$

Pentru valori mari ale cîmpului – la distanțe mici de fir – $L = L_s$ și vom avea

$$z-z_0 = \frac{\mu_0 L_s}{2\pi \rho_E} \frac{I}{r}$$

În concordanță cu rezultatele din literatură.

Relația (160) ar putea fi folosită pentru determinarea experimentală a permeabilității lichidelor magnetice folosind aranjamentul experimental din fig.34.

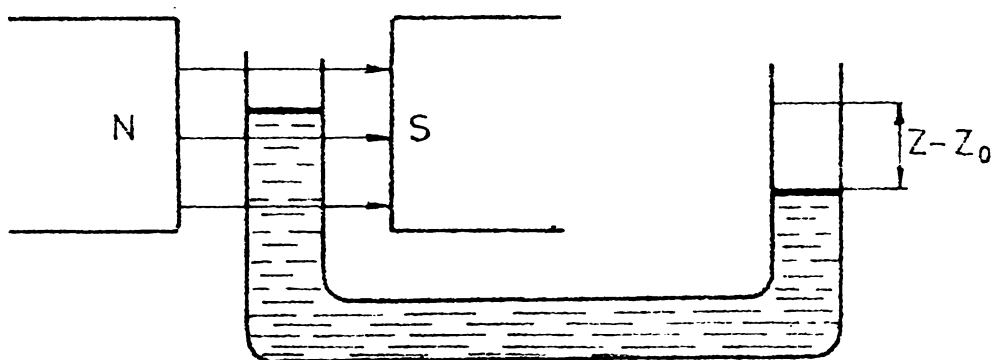


Fig.34

Considerind cîmpul între polii electromagnetului ca avînd doar componentă tangentă la suprafața lichidului, relația (160) devine

$$z - z_0 = \frac{1}{\rho g} \int_0^H \mu_0 L dH = F(H) \quad (162)$$

Experimental se poate trage caracteristica $z - z_0 = F(H)$, după care susceptivitatea magnetică a lichidului se va calcula cu relația

$$x_n = \frac{\rho g}{\mu_0 H} \frac{dF}{dH}$$

Derivînd grafic funcția $F(H)$.

Cînd raportul $\frac{z - z_0}{H}$ devine constant, relația (162) scoasă în evidență faptul că lichidul magnetic a ajuns la saturație

$$L_s = \frac{(z - z_0)}{H} \frac{\rho g}{\mu_0}$$

4.2. Măsurarea curentilor continuu intenzi. Rezultate experimentale

Măsurarea curentilor continuu intenzi reprezintă problema majoră în transportul, distribuția și utilizarea ener-

giei cînd acestea se realizează cu curent continuu. Metodele obișnuite cunoscute în literatura de specialitate, prezintă dezavantaje atât din punct de vedere al complexității (transformatoare sau amplificatoare de c.c.) cît și a preciziei de măsurare (shunturi) cu excepția schemelor care folosesc sonde Hall.

4.2.1. Principiul metodici de măsurare a curentilor continui intenși constă în denivelarea fluidelor magnetice sub acțiunea forțelor ce se exercită asupra lor cînd sunt introduse într-un cîmp magnetic (fig.35) [74]

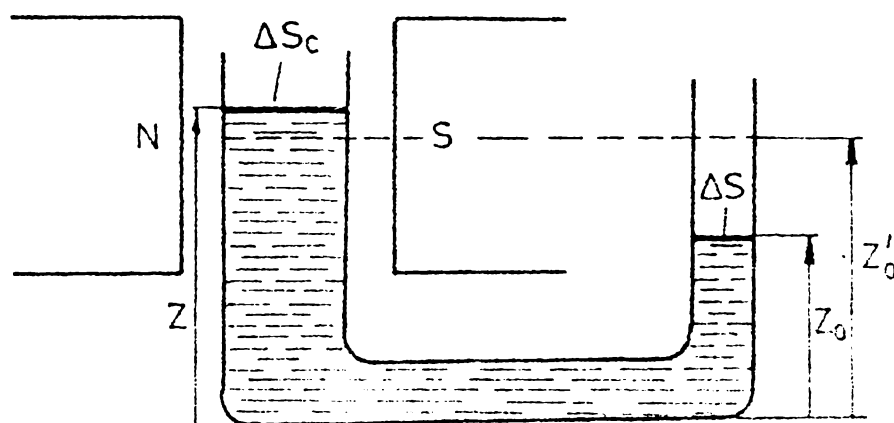


Fig.35

Cele două brațe ale tubului avînd secțiuni neegale, conservarea volumului de lichid ne conduce la relația

$$(z-z'_0) \Delta S_c = (z'_0-z_0) \Delta S$$

Notînd denivelarea $z'_0-z_0 = \Delta h_0$, mărime ce va fi măsurată experimental avem

$$\Delta h_0 \doteq (z-z'_0) \frac{\Delta S_c}{\Delta S} = \Delta h \frac{\Delta S_c}{\Delta S}$$

în care $\Delta h = z-z'_0$ reprezintă denivelarea lichidului din brațul aflat în cîmp magnetic.

Ca urmare diferența de nivel $(z-z_0)$ care apare în relația (161) se scrie

$$z - z_o = z - z'_o + z'_o - z_o = \Delta h_o \frac{\Delta S + \Delta S_c}{\Delta S_c}$$

Rezultă deci

$$\Delta h_o = \frac{1}{\rho g} \int_0^H \mu_o^{indH} \frac{1}{1 + \frac{\Delta S}{\Delta S_c}} \quad (163)$$

Dacă $\Delta S = \Delta S_c$, egalitatea anterioară devine

$$\Delta h'_o = \frac{1}{2\rho g} \int_0^H \mu_o^{indH} \quad (164)$$

Relația (163) scoate în evidență faptul că denivelarea este o funcție de intencitatea cîmpului magnetic care, la rîndul ei, depinde de intensitățile curentului electric care o produce.

In felul acesta s-a stabilit o relație între curentul electric și denivelarea fluidului magnetic. Evident că relația este nelinieră, dar prin intermedial unui traductor adecvat, în anumite limite se poate obține o relație liniară între indicația instrumentului la care e conectat traductoare și intensitatea curentului electric.

Din cele prezentate rezultă deci posibilitatea de a măsura curenți intenzi și chiar dacă aceștia sunt staționari.

4.2.2. Traductorul de denivelare folosit a fost un traductor inductiv, variațiile de denivelare fiind transformate în variații ale inductivității bobinelor.

Variația inductivității traductorului a fost măsurată cu o punte LELI – folosind montajul din fig. 36.

Un braț al tubului a fost introdus între porii unei magnet weiss, iar pe celălalt braț aflat în afara cîmpului magnetic s-au bobinat 200 spire.

S-a procedat în acest mod deoarece permeabilitatea magnetică relativă a fluidului e maximă la $B=0$, cum rezultă din măsurările efectuate și deci traductorul să variază numai în cîmpuri magnetice mici.

In absența cîmpului magnetic, puntea a fost echilibrată montînd în alt braț al ei o bobină cu același număr de spire.

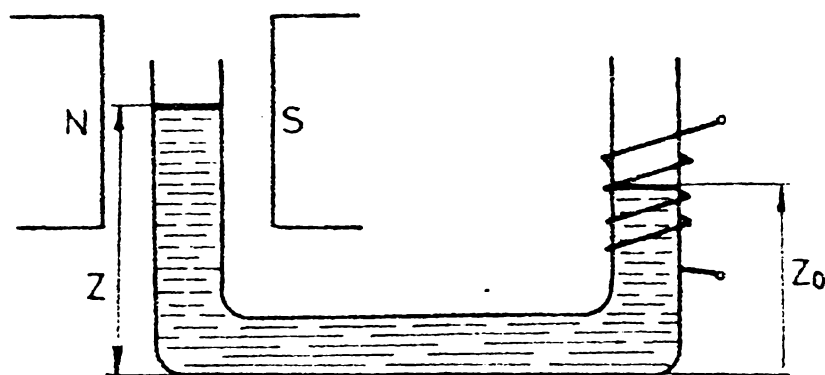


Fig. 36

Cu ajutorul electromagnetului s-au stabilit cîmpuri magnetice de diverse inducții, măsurate cu un teslametru Hall, iar de-nivelarea lichidului a fost determinată prin variația inducțivității, aceasta fiind proporțională cu indicația punții. Rezultatele experimentale obținute sunt date în fig. 37.

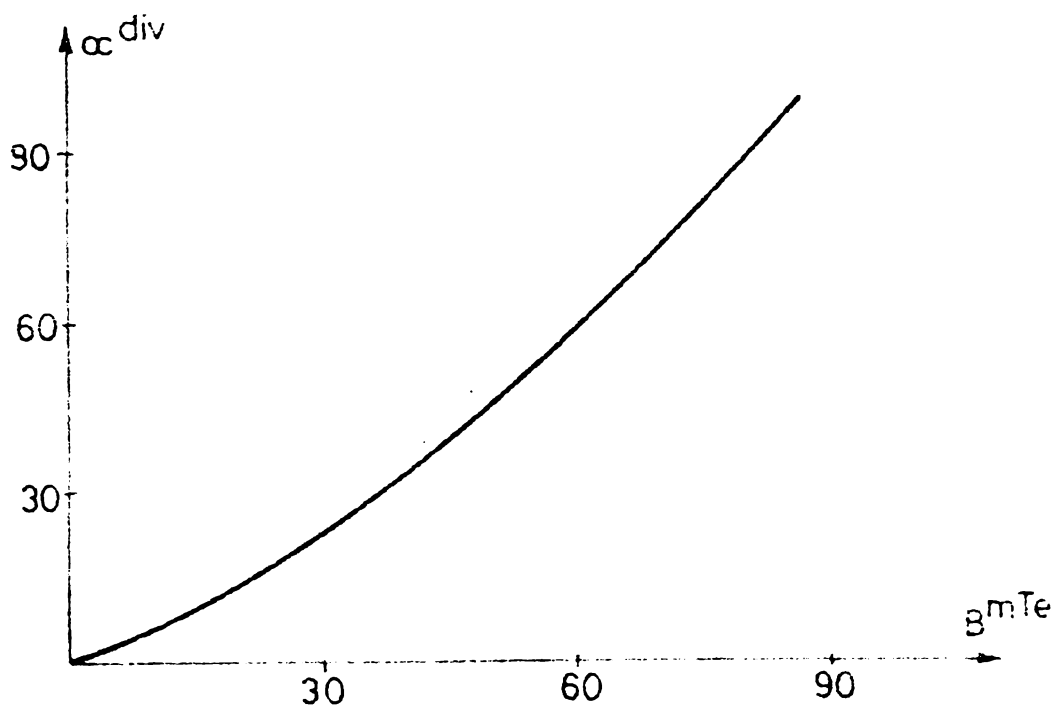


Fig. 37

Se constată că între 30 mTe și 90 mTe , $\alpha = f(B)$, reprezentă o dreaptă ceea ce face traductorul foarte util în cîntul de măsurare a curenților continui intenzi.

Pentru determinarea analitică a variației inductivității trădutorului cu denivelarea, va trebui considerată o bobină de lungime finită, având în interior mediul neomogen (fig.38). Bobina are N spire bobinate uniform, parcuse de curentul i . Vom considera mediul din interiorul bobinei liniar (curentul i din brațul punții de măsură este foarte mic, așa încât putem considera portiunea liniară a caracteristicii $B = B(H)$ a lichidului).

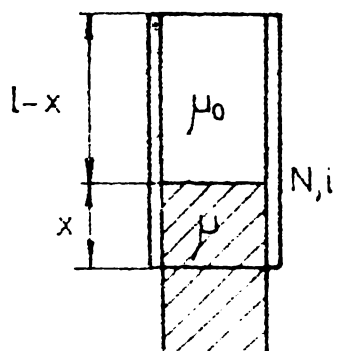


Fig.38

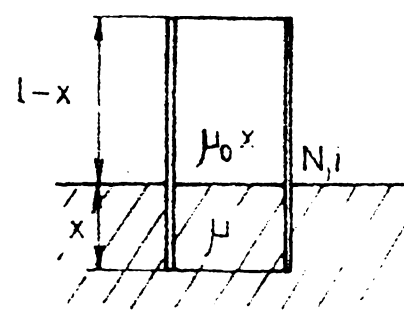


Fig.39

Tinând cont că în exteriorul bobinei intensitatea cimpului magnetic e mult mai mică decât în interiorul ei, bobina din fig.38 o vom înlocui cu cea din fig.39, și să cărei inductivitate poate fi calculată cu metoda imaginilor magnetice. În [71] este rezolvată problema determinării cimpului magnetic produs de un circuit filiform de formă arbitrară aflat într-un mediu neomogen, suprafața de separație dintre cele două medii fiind un plan, prin metoda imaginilor magnetice.

Modul de aplicare a metodei imaginilor magnetice pentru cazul bobinei considerate este ilustrat în fig.40.

Cimpul magnetic produs de bobina cufundată, parțial în fluid, pe înălțimea x va fi, conform principiului superpoziție: egal cu suma dintre cimpul produs de bobina de lungime $(l-x)$ avind $\frac{N}{\ell}(l-x)$ spire parcuse de curentul i alături în întregime în mediul de permeabilitate μ_0 și cimpul produs de bobina de lungime x , având $\frac{N}{\ell} x$ spire parcuse de același curent i și aflată în întregime în mediul de permeabilitate μ .

Pentru calculul cîmpului magnetic produs de bobina aflată în mediul cu permeabilitatea magnetică μ_0 vom proceda astfel :

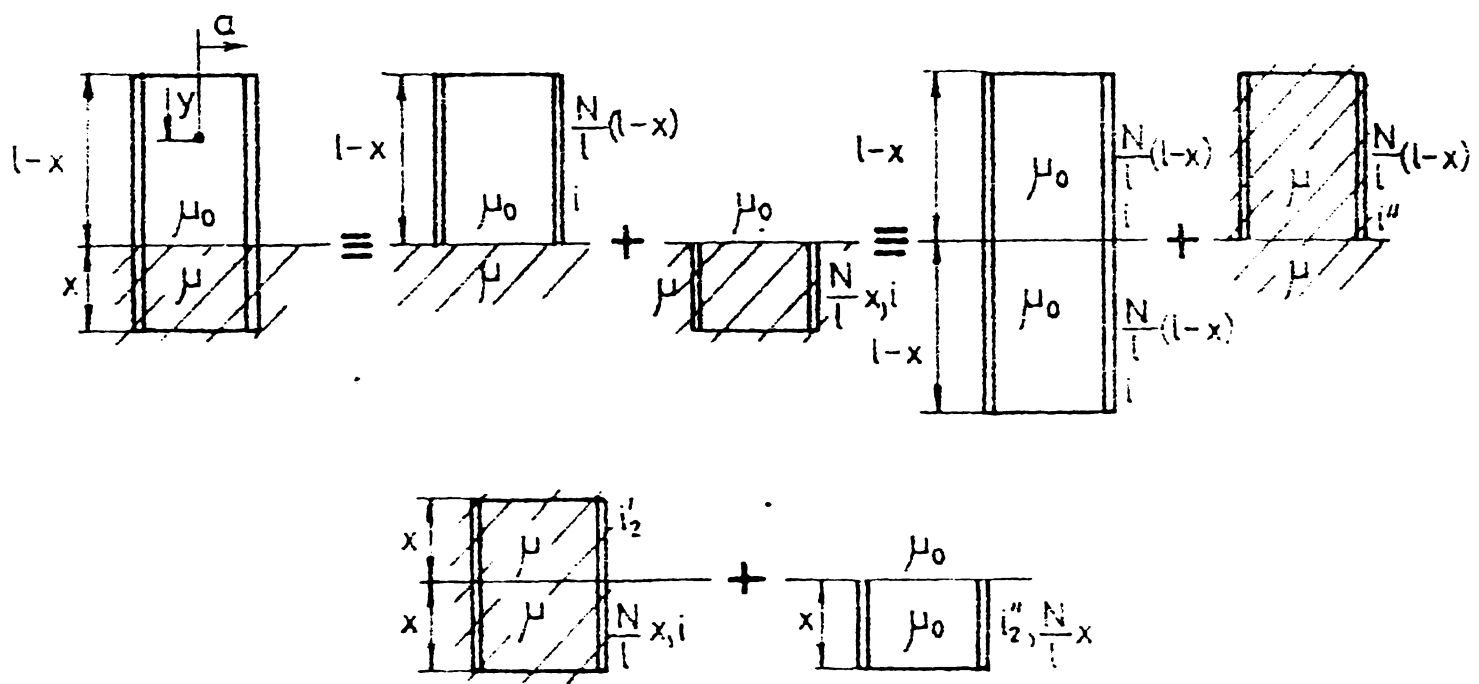


Fig. 40

- În orice punct deasupra suprafeței de separație dintre cele două medii, cîmpul magnetic va fi egal cu suma dintre cîmpul produs de bobina parcursă de curentul i și al altă deasupra suprafeței de separație și cîmpul produs de o bobină identică cu ea (avînd același număr de spire și același dimensiuni), simetric așezată față de suprafața de separație, parcursă de un curent i' necunoscut, medial în care se află cele două bobine fiind omogen și avînd permeabilitatea μ_0 .

- În orice punct sub suprafața de separație cîmpul magnetic va fi egal cu cîmpul produs de o bobină identică cu cea de mai sus, aflată deasupra suprafeței și parcursă cu un curent necunoscut i'' , medial întreg fiind prelungit, avînd permeabilitatea μ .

Curenții necunoscuți se determină în cîteva feluri și fie îndeplinite condițiile de continuitate a componentelor tangente ale intensității cîmpului magnetic și ale cîmpului normal.

lor normale ale inducției magnetice la suprafața de separație dintre cele două medii.

Calculul cîmpului în felul prezentat mai sus e posibil deoarece sînt îndeplinite condițiile teoremei de unicitate adică distribuția curenților liberi și proprietățile de material rămîn neschimbate în fiecare domeniu, păstrîndu-se și condițiile de trece la suprafața de separație dintre cele două medii.

In mod analog se calculează cîmpul produs de bobina aflată în mediul de permeabilitate magnetică . (fig.40.c).

Curenții necunoscuți au expresiile :

$$i_1' = \frac{\mu - \mu_0}{\mu + \mu_0} i \quad i_2' = \frac{\mu_0 - \mu}{\mu_0 + \mu} i \quad (165)$$

$$i_1'' = \frac{2\mu_0}{\mu + \mu_0} i \quad i_2'' = \frac{2\mu}{\mu + \mu_0} i$$

Cu relațiile (165) cîmpul magnetic într-un punct pe axa de simetrie a bobinei, aflat la distanța y de marginile superioară va fi dat de relație :

$$\begin{aligned} H_1(y) = & \frac{ni}{2} \left(\frac{y}{\sqrt{y^2+a^2}} + \frac{1-x-y}{\sqrt{(\ell-x-y)^2+a^2}} \right) + \\ & + \frac{ni}{2} \left(-\frac{\ell-x-y}{\sqrt{(\ell-x-y)^2+a^2}} + \frac{z(\ell-x)-y}{\sqrt{[z(\ell-x)-y]^2+a^2}} \right) \frac{\mu - \mu_0}{\mu + \mu_0} + \\ & + \frac{ni}{2} \left(-\frac{\ell-x-y}{\sqrt{(\ell-x-y)^2+a^2}} + \frac{\ell-y}{\sqrt{(\ell-y)^2+a^2}} \right) \frac{2\mu}{\mu + \mu_0} \end{aligned}$$

sau

$$H_1(y) = \frac{ni}{2} \left\{ \frac{y}{\sqrt{y^2+a^2}} + 2 \frac{\mu_0 - \mu}{\mu + \mu_0} \frac{\ell - x - y}{\sqrt{(\ell - x - y)^2 + a^2}} + \right. \\ \left. + \frac{\mu - \mu_0}{\mu + \mu_0} \frac{z(\ell - x) - y}{\sqrt{[z(\ell - x) - y]^2 + a^2}} + \frac{2\mu}{\mu + \mu_0} \frac{\ell - y}{\sqrt{(\ell - y)^2 + a^2}} \right\} \quad (166)$$

unde

$$n = \frac{N}{\ell}$$

In mod analog cimpul intr-un punct situat in mediu de permeabilitate μ are expresia :

$$H_2(y) = \frac{n i}{2} \left\{ \frac{\ell-y}{\sqrt{(\ell-y)^2+a^2}} + \frac{\mu_0-\mu}{\mu_0+\mu} \frac{y+2x-\ell}{\sqrt{(y+2x-\ell)^2+a^2}} + \right. \\ \left. + \frac{2\mu_0}{\mu_0+\mu} \frac{y}{\sqrt{y^2+a^2}} + 2 \frac{\mu-\mu_0}{\mu+\mu_0} \frac{y-\ell+x}{\sqrt{(y-\ell+x)^2+a^2}} \right\} \quad (167)$$

Pentru calculul inductivitatii bobinei de lungime ℓ , vom considera cimpul intr-o sectiune oarecare egal cu cimpul corespunzator de pe axa de simetrie. In acest fel inrampirea magnetică a bobinei va fi

$$\Psi = \mu_0 \int_0^{\ell-x} H_1(y) dy + \mu \int_{\ell-x}^{\ell} H_2(y) dy \cdot \pi a^2$$

si deci inductivitatea L se calculeaza cu relatie

$$L = \frac{\pi a^2 n}{i} (\mu_0) \int_0^{\ell-x} H_1(y) dy + \mu \int_{\ell-x}^{\ell} H_2(y) dy \quad . \quad (168)$$

Introducind relatiile (166) si (169) in (168) si efectuand calculele se obtine in final pentru inductivitatea a expresia :

$$L = \pi a^2 n^2 \frac{\mu-\mu_0}{\mu+\mu_0} \left\{ 2(\mu \sqrt{x^2+a^2} - \mu_0 \sqrt{(\ell-x)^2+a^2}) + \frac{2\mu_0}{\mu-\mu_0} \sqrt{\ell^2+a^2} + \right. \\ \left. + \mu_0 \sqrt{(\ell-x)^2+(\frac{a}{2})^2} - \mu \sqrt{x^2+(\frac{a}{2})^2} - \frac{3(\mu^2+\mu_0^2)-2\mu\mu_0}{2(\mu-\mu_0)} \right\} \quad (169)$$

Pentru $x=0$, adica stanga fiind bobina se atrage in intreaga in mediu de permeabilitate μ_0 , inductivitatea devine :

$$L = \pi a^2 \frac{H^2}{\ell} \mu d \left[\frac{2\mu_0}{\mu + \mu_0} \sqrt{1 + \left(\frac{a}{\ell}\right)^2} + \frac{\mu - \mu_0}{\mu + \mu_0} \sqrt{1 + \left(\frac{a}{2\ell}\right)^2} - \frac{a}{\ell} \frac{3\mu_0 + \mu}{2(\mu + \mu_0)} \right] \quad (170)$$

Pentru $\mu \gg \mu_0$ relația (170) devine

$$L = \pi a^2 \frac{H^2}{\ell} \mu_0 \left[\sqrt{1 + \left(\frac{a}{2}\right)^2} - \frac{a}{2\ell} \right]$$

iar pentru $\mu = \mu_0$ avem

$$L = \pi a^2 \frac{H^2}{\ell} \mu_0 \left[\sqrt{1 + \left(\frac{a}{\ell}\right)^2} - \frac{a}{\ell} \right]$$

Pentru $\ell \gg a$ și $x \gg a$ expresia (169) a inductivității se transformă în

$$L = \pi a^2 \frac{H^2}{\ell} \left\{ \mu_0 + \frac{x}{\ell} (\mu - \mu_0) \right\} \quad (171)$$

În relațiile de mai sus, făcind schimbarea de variabile
 $x = \ell - x_0 - \Delta h_0$, x_0 caracterizând poziția inițială față de
marginea superioară a bobinei în absența vreunei denivelării,
se va obține variația inductivității bobinei cu denivelarea
 Δh_0 definită de relația (163). Astfel relația simplificată
(171) devine :

$$L = \pi a^2 \frac{H^2}{\ell} \left\{ \mu - \frac{x_0}{\ell} (\mu - \mu_0) - \frac{\Delta h_0}{\ell} (\mu - \mu_0) \right\}$$

iar în absența denivelării Δh_0 ,

$$L_0 = \pi a^2 \frac{H^2}{\ell} \left\{ \mu - \frac{x_0}{\ell} (\mu - \mu_0) \right\}$$

Indicația ζ a aparatului de alătură folosit - punctua tensometrică - este proporțională cu variația inductivității trăductoarei datorită denivelării Δh_0 , adică :

$$\zeta = \text{const}(L_0 - L) = \text{const.} \frac{\pi a^2 H^2}{\ell^2} (\mu - \mu_0) \Delta h_0 = \kappa \Delta h_0 \quad (172)$$

Introducând relația (163) în (172) obținem

$$\alpha = \frac{k}{\rho g \left(1 + \frac{\Delta S_c}{\Delta S}\right)} \int_0^H \mu_0 B dH \quad (173)$$

In fig.4. se reprezinta variația $\alpha = \alpha(H)$ și se constată că există o porțiune în care relația $\alpha = \alpha(H)$ este liniară ($H > H^*$). Pentru ca H să fie cît mai mic ar trebui ca lichidul magnetic să se satureze cît mai repede.

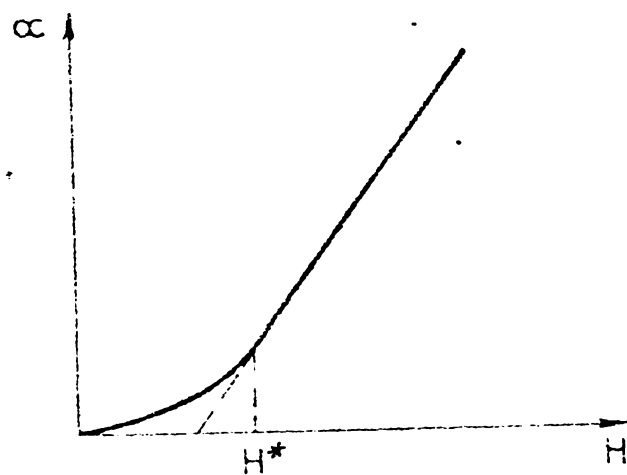


Fig.41

Intensitatea cișmepului magnetic, n , poate fi adăugată linear proporțională cu intensitatea curentului electric de la magnet.

4.2.3. Circuitul feromagnetic în interiorul căruia se va plasa un brăț al tubului cu fluid magnetic, a fost conceput și dimensionat astfel încât inducția magnetică din interior să fie o funcție liniară de amperispiralele de magnetică.

Dimensiunile circuitului feromagnetic sunt date în fig.42. Pe cele trei colanți - sau planuri boabe - total 100 spire cu un ecou de peste 5 A conduce la 1000 As. În acest fel se modelază o intensitate de curent de loco 1A.

Dupa realizare circuitul magnetic a fost testat, rezultatele măsurărilor fiind date în fig.43, a, b și c, arăta că inducția magnetică măsurată în centrul întărierii și variația liniară în funcție de amperispiralele de magnetică, din fig.44,a,b sunt în evidență că în regimul normal, cișmepul magnetic e practic nesec.

In întrefier inducția magnetică remanentă nu depășește $1,5 \text{ mT}$ pentru orice valoare a supraspirilor de magnetizare.

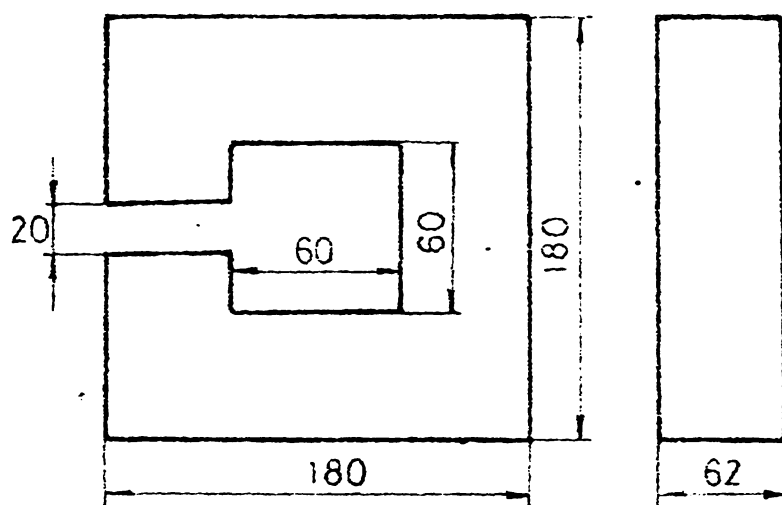


Fig. 42

Pentru măsurarea curentilor continuu interbeli, transformatorul împreună cu panza s-a etalonat folosindu-măriția din fig. 45.

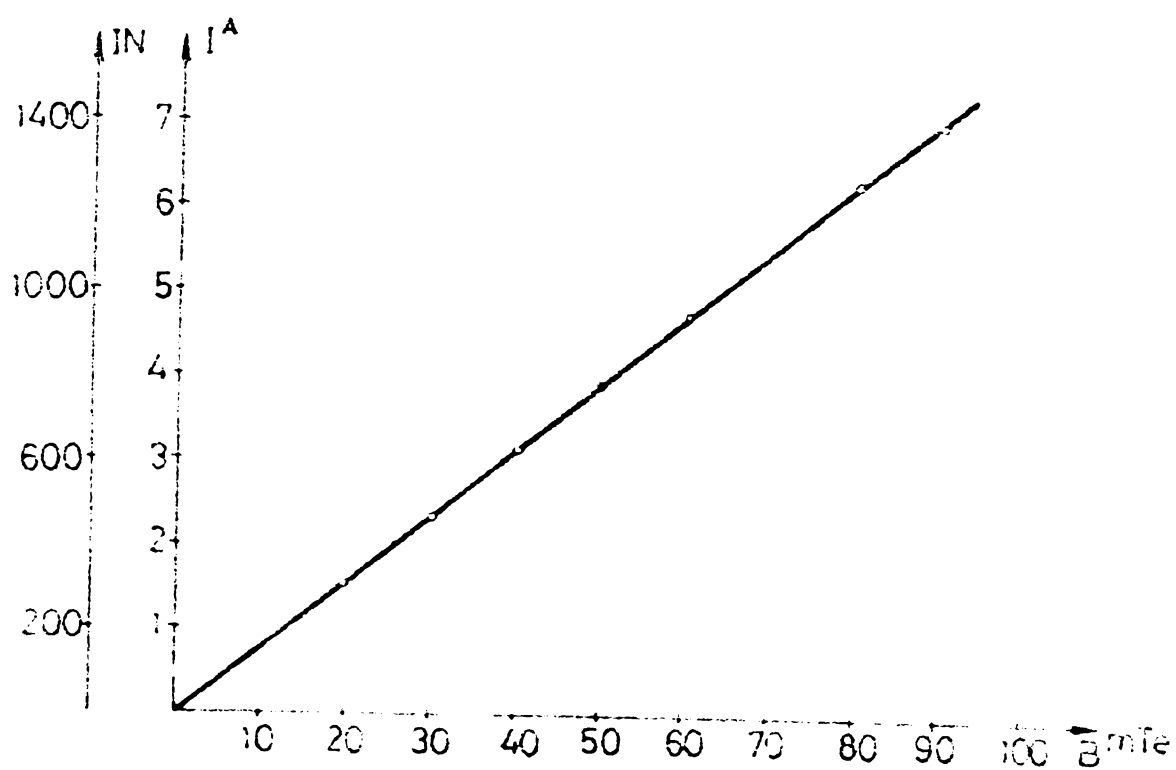


Fig. 45

Rezultatele măsurătorilor sunt prezentate în figura 46. Fig. 46-a reprezintă deviația panza în funcție de suprafața de magnetizare plină la valoare de $600 \text{ A}_{\text{dc}}$, iar în figura 46-b reprezintă dependența acestei deviații în intervalul $0 \text{ a} \text{ } 100 \text{ A}_{\text{dc}}$ și $0 \text{ a} \text{ } 1000 \text{ A}_{\text{dc}}$.

Se constată că în ultimul interval dependența e practic liniară. Se verifică răptul că această porțiune coincide

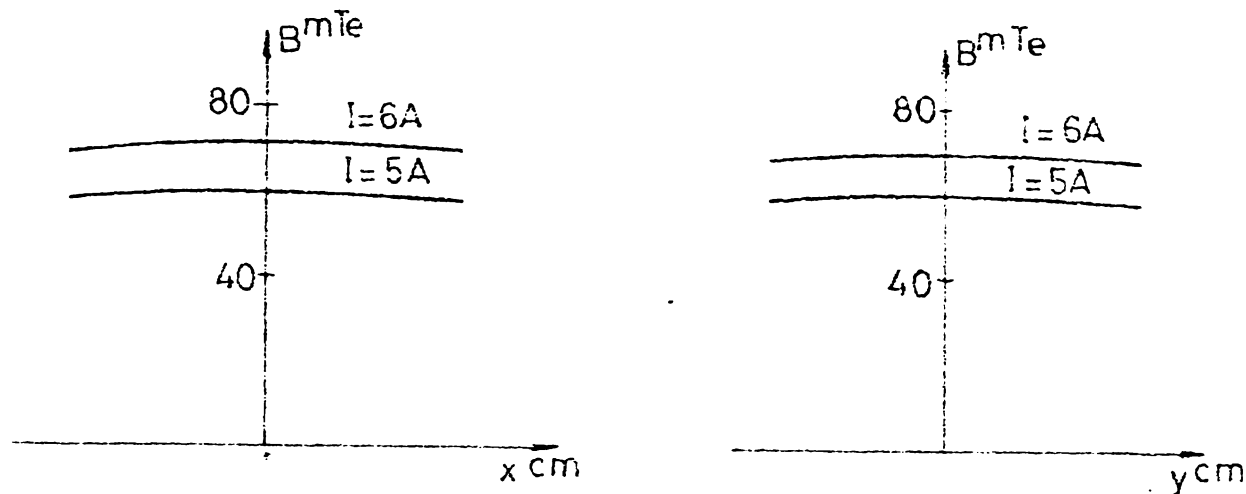


Fig.44

cu domeniul inducției magnetice în care deviația în funcție de inducție magnetică este liniară.

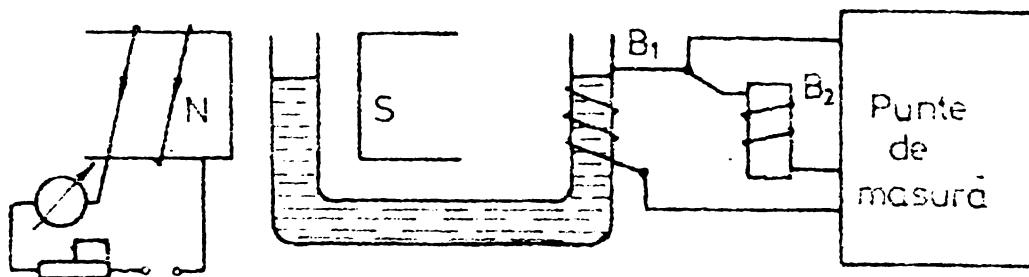


Fig.45

S-a mai verificat influența pe care o are supracarea corpurilor feromagnetică de întrefața circuitului magnetic. În experiențele au arătat că aceste influențe lipsesc și nu există cind distanța între circuit și corpuri feromagnetic este sub 1,5 cm (fig.46).

- Contajul prezentat lărgeste gama montajelor folosite în măsurarea curentilor continui înfișând exemplu de către cele care utilizează şunturi sau transformatoare de curent continuu. Dacă nu poate concura însă cu metoda în ampermetre folosesc sondă hidr., decorece acestora indică variații întotdea-

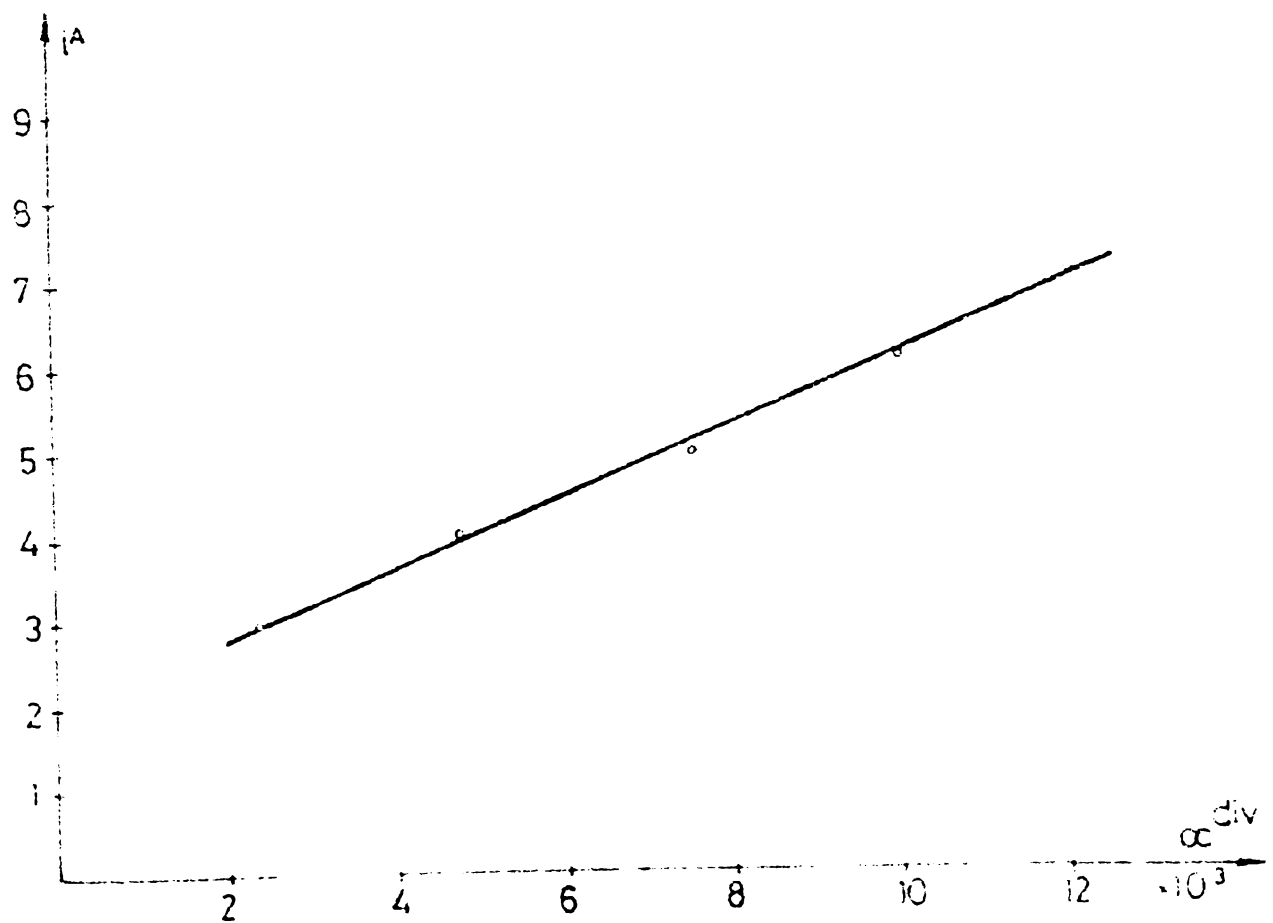
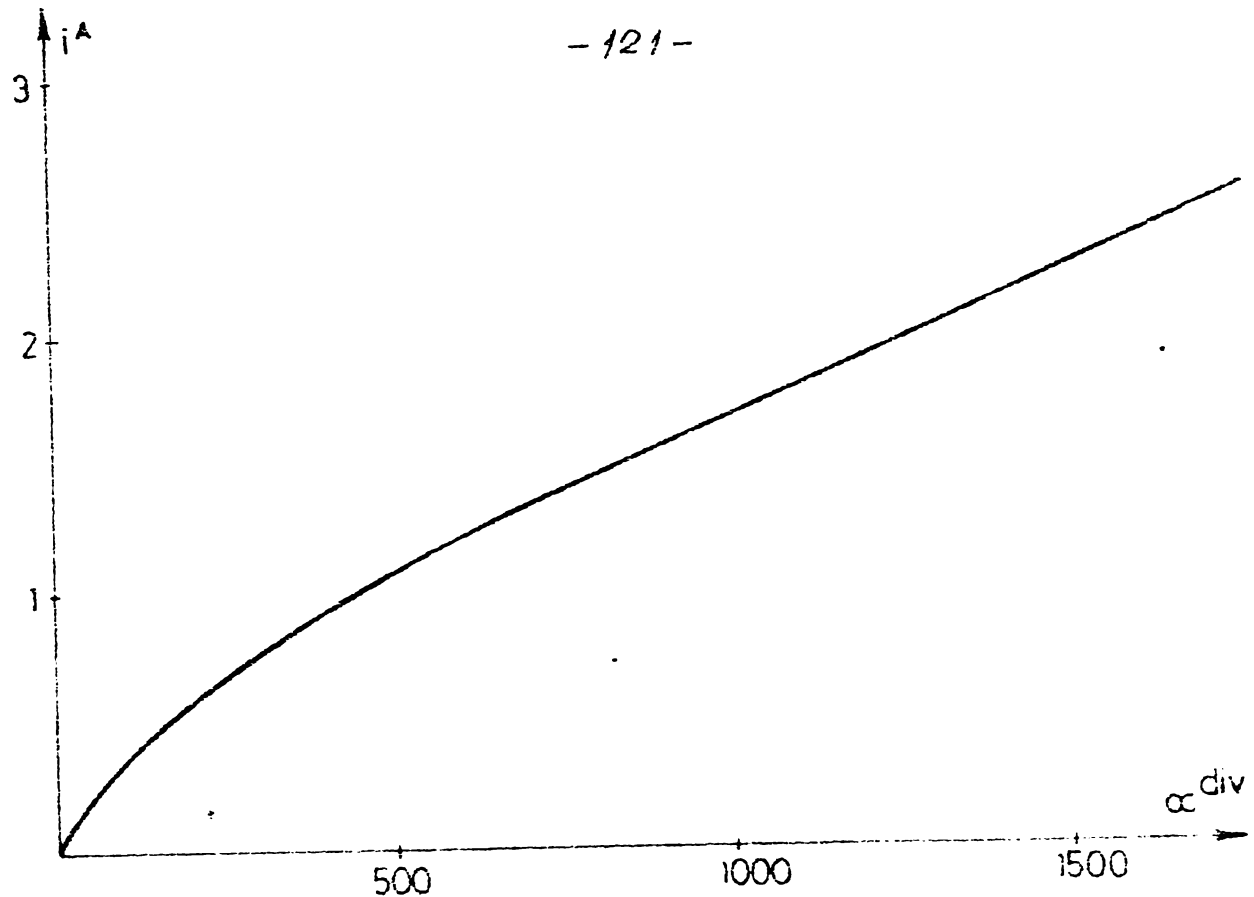


Fig. 46

tății curentului continuu prin intermediul tensiunii nule căze se măsoară simplu cu un milivoltmetru.

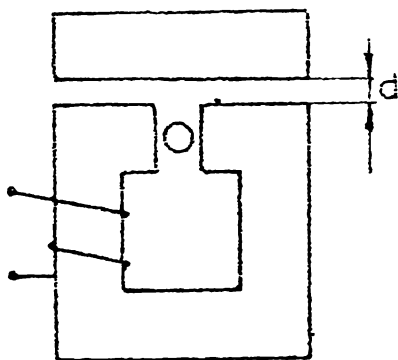


Fig. 47

Respectarea poziției tubului în care se află fluidul magnetic cu cea corespunzătoare în care traductorul a fost etalonat reprezintă o condiție suplimentară față de montajele care folosesc sonde Hall.

- Lărgirea domeniului de măsură se poate face înălțând conductă în jurul miezului astfel ca $H_i \gg H_o$. Astfel se satisfacă această condiție atunci deviația scură indicator al punctii este liniară.

4.3. Levitație magnetică

In literatură se prezintă levitația corporilor nemagnetic introduse într-un lichid magnetic în prezența unui magnet permanent aflat în lichid magnetic, în ceea ce privește levitația de ordinul 1) precum și levitația lui magnet permanent aflat în lichid magnetic, în ceea ce privește levitația de ordinul 2). Problema levitației de ordinul 1 este deocamdată în literatură nu înălțată de același autor. Articolii din [5d], [6d], [7d] se introduce o mărime λ_p numită magnetizare medie prin relația $\tilde{M}_p = \frac{1}{V} \int M_p dV$ unde V este volumul ocupat de corpul nemagnetic, adică $\lambda_p = 0$ și deci \tilde{M}_p reprezintă și o justificare fizică.

Levitație de ordinul 1. În acestă lucrare vom să analizăm levitațiile de ordinul 1 și să tratăm într-un mod general, considerind un corp de formă care poate chiar fi o liliacă sau un cilindru magnetic permanent, care își poate genera un câmp magnetic.

tică μ_2 diferită de cea a fluidului magnetic, μ_1 , și cupundat în el, în prezență cîmpului magnetic (fig. 48).

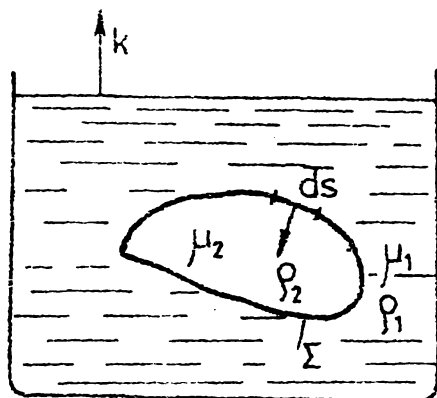


Fig. 48

Tratarea va fi omisă, în sensul că se vor ielege, pentru calculul forței rezultante pe se exercită asupra corpului cupundat în fluid, expresiile densităților de forță deduse în paragrafele anterioare, fără a face apel la ecuația lui Bernoulli, cum se procedează de obicei în literatură.

Forța rezultantă care se exercită asupra corpului este:

$$\bar{F}_{rez} = -\rho_2 V g \bar{k} + \oint_{\Sigma} (\bar{p} + \bar{f}_s) d\bar{s} + \int_{\Sigma} \bar{f}_{Vm} dV \quad (174)$$

unde : V reprezintă volumul corpului limitat de suprafață Σ

\bar{f}_s - densitatea de forță ce se exercită la suprafață

\bar{f}_{Vm} - densitatea de volum a forței de natură magnetică ce se exercită asupra corpului

p - presiunea hidrostatică la suprafață Σ

Introducind relațiile (149), (90) și (159) în (174) se obține

$$\begin{aligned} \bar{F}_{rez} = & -\rho_2 V g \bar{k} + \oint_{\Sigma} \left\{ p_0 - \rho_1 g z + \int_0^{H_1} \rho_1 \mu_1 \left(\frac{\partial \mu}{\partial p} \right)_1 dH_1 \right. \\ & + \left. \frac{\mu_1 - \mu_2}{\mu_1 \mu_2} B_R^2 + \int_0^{H_1} B_1 dH_1 - \int_0^{H_2} B_2 dH_2 \right\} d\bar{s} - \rho_2 g \bar{k} \int_V \left(\mu_1 \rho_1 \left(\frac{\partial \mu}{\partial p} \right)_1 dH_1 \right) dV \\ & - \int_0^{H_2} \left(\mu_1 \rho_1 \left(\frac{\partial \mu}{\partial p} \right)_1 dH_1 \right) d\bar{s} + \int_{\Sigma} \left(\mu_2 \rho_2 \int_0^{H_2} \mu_2 \rho_2 \left(\frac{\partial \mu}{\partial p} \right)_2 dH_2 \right) d\bar{s} \end{aligned}$$

Tinind cont de transformarea Gauss-Ostrogradski referitoare la integrala de volum a unui functie scalare si făcind unele reduceri, forța rezultantă se va scrie în forma

$$\bar{F}_{rez} = (\rho_1 - \rho_2) v \bar{k} + \int_{\Sigma} \left\{ \frac{\mu_1 - \mu_2}{\mu_1 \mu_2} B_n^2 + \int_0^{H_1} B_1 dH_1 - \int_0^{H_2} B_2 dH_2 \right\} d\bar{s} \quad (175)$$

Cu legea legăturii $\bar{B} = \mu_0 (\bar{H} + \bar{M})$, egalitatea componentelor normale ale inducției magnetice și a componentelor tangențiale ale lui \bar{H} , după unele transformări relația (175) devine

$$\bar{F}_{rez} = (\rho_1 - \rho_2) v \bar{k} + \int_{\Sigma} \left\{ \frac{\mu_0}{2} (B_{n1}^2 - B_{n2}^2) + \int_0^{H_1} \mu_0 H_1 dH_1 - \int_0^{H_2} \mu_0 H_2 dH_2 \right\} d\bar{s} \quad (176)$$

In cazul în care corpul cufundat în lichid este nonmagnetic, notând cu μ permisibilitatea magnetică a fluidului, relația (176) se scrie în forma particionată :

$$\bar{F}_{rez} = (\rho_1 - \rho_2) v \bar{k} + \int_{\Sigma} \left\{ \mu_0 \frac{1}{2} + \int_0^H \mu_0 H dH \right\} d\bar{s} \quad (177)$$

cunoscută în literatură [50].

Se observă că în afară de forțe următoarele obișnuite, orientată după direcția \bar{k} , mai apare o forță de natură magnetică, forță diferită de zero doar în ciupuri neconductoare.

CONCLuzII

Lucrarea conține în principal rezultatele noi obținute de autor în legătură cu problemele abordate.

Principalele contribuții originale cuprinse în lucrare sunt :

- determinarea dependenței polarizării electrice de intensitatea cîmpului electric, echivalind particulele în suspensie cu elipscoizi conductori;
- stabilirea unei relații de tip Clausius-Mossotti pentru lichide magnetice;
- determinarea influenței cîmpului magnetic asupra polarizării electrice și a influenței cîmpului electric asupra magnetizării lichidelor magnetice situate în cîmpuri electrice și magnetice paralele.

Se arată că prezența cîmpului magnetic dă se creștere permisivității electrice relative, iar prezența cîmpului electric dă la creșterea permeabilității magnetice relative. Rezultatele experimentale efectuate sunt în concordanță cu teoria teoretică prezentată.

Dependențele $P = P(E; H)$ și $L=L(H; B)$ sunt tratate în cazul cînd cîmpurile electrice și magnetice sunt perpendiculare.

Se stabilește relația $P = P(n; n)$ și $L=L(n; L)$ pentru cazul în care particulele în suspensie coloidală sunt dielectrice.

- prezentarea unei noi metode de măsurare a permeabilității lichidelor magnetice pe baza comportării lor asupra acțiunilor exogene;
- prezentarea unei demonstrații originale pentru apărențarea densității de volum a forțelor de natură electro-magnetică ce se exercită în fluide neliniști și nlinieră, ca polarizare revizibilă;
- studierea cîmpurilor electrocavitatiști apărute pe suprafețe arbitrale, parțial în evidență pierzându-se în

- deducerea expresiilor pentru densitățile de forță ce se exercită la suprafața de separație între fluide nemiscibile, suprafață parcursă de curenți superficiali ac conduce și având pe ea sarcină liberă, până în evidență în mod explicit termenii \bar{J}_s și ρ_s .

- determinarea în mod direct a presiunii în lichide magnetice, stabilind sistemul ce determină forma suprafeței dintre două fluide nemiscibile ;

- prezentarea unei noi metode de măsurare a curenților continuu întregi folosind traductoare inductive cu lichid magnetic.

BIBLIOGRAFIE

1. Hosenweig,K.E. Magnetic fluids, Int.Sci.and Technology, july 1966
2. Neuringer,J.L. and Hosenweig,K.E. Ferrohydrodynamics. The Physics of fluids, vol.7, nr.12 dec.1964
3. Harle,L.O. and Thomas,R.J., Dispersions of Ferromagnetic cobalt particles, U.S.Patent 3.228.832 11 jan 1966
4. Papell,S.S., Low viscosity magnetic fluid obtained by the suspension of magnetic particles, U.S.Patent 3.215.572 nov.1969
5. Shepherd,P.G., Popplewell,J., Ferrofluids containing Ni-Fe alloy particles, Phil.Mag., nr.23, 1971 p.239
6. Ferrofluidics Corporation, A catalog of magnetic fluids 1972.
7. Lunina,A.L., Novojilov,A.Iu., Electriceskii kondensatsionniy sposob poluchenija organodispersii metallov, Kolloidnii Jurnal vol.XXII, nr.3, 1969, p.467
8. Mozgovoi,B.N., Blum,E.Ia., Magnitnie svoistva melkodispersii ferrosuspenzii sinteziruenih electrocondensationom sposobom. Magnitnaia Ghidrodinamica, Nr.4, 1971, p.13
9. Thomas,J.H., Preparation and Magnetic Properties of Colloidal Particles, J.Appl.Phys., 37, 1966, p.2914
10. Hess,H.F. and Parker,P.H.jr. Polymers for Stabilization of Colloidal Particles, J.Appl.Polymer Science, vol.10, 1966, p.1915
11. Bibik,A.b., Lavrov,L.S., Izmerenie sil stepenia chastit v ogreghirovannih dispersnih sistemah, kolloidnii jurnal XXII, nr.4, 1970, p.307
12. Hosenweig,K.E., Miskolczy,G. and Lzekiel,F.Z., Magnetic fluid sessis, Machine Design, march 1968
13. Kaiser,K. and Miskolczy,G., Some applications of ferrofluid Magnetic Colloids, IEEE Transactions of Magnetism, MAG-6, Nr.3 sept.1970 p.694

14. Rosensweig,R.E., Progress in Ferrohydrodynamics, Industr. Res., 12, 1970
15. Ferrofluidics Corporation, Magnetic Fluids, Machine Design, June 1972
16. Ferrofluidics Corporation, A catalog of Magnetic Fluids 1972
17. The Broad New Applications of Ferrofluids - Ferrolubricants, ASME Paper Nr.74-DE-2, 1974
18. Koskowitz,H., Dynamic Sealing with Magnetic Fluids, ASME Transactions, 13, nr.2, 1974, p.135
19. Ezekiel,D.F., Uses of Magnetic Fluids in Bearings Lubrication and Damping, ASME Publication, Nr.75-DE-5, 1975
20. Koskowitz,H. and Ezekiel,D.F., Non-Wearing Ferrofluidic Seals, Off-Highway Vehicle Meeting, Milwaukee Wisconsin, September 3-11, 1975
21. Perry,P.H., and Jones B.T., Hydrostatic Loading of Magnetic Liquid Seals, IEEE Trans. on Magnetics MAG-12, nr.6, 1976, p.793
22. Rosensweig,R.E., Theory of an improved thermomagnetic generator, Proc., IEEE, 114, nr.3, March 1967, p.465
23. Boyd,E.C.jr, and Fenion,H.F., On the Utilisation of Ferrofluids for transducer Applications, The Journal of the Acoustical Society of America, 45, nr.3, 1969, p.1210
24. Bertrand,A.R.V., Les Ferrofluides, Rev.Inst.Franc.reinole, XXV, nr.1, janvier, 1970, p.16
25. Rosensweig,R.E., Means for and Method of Moving Objects by Ferrohydrodynamics, U.S.Patent 3.433.531, Jan.1970
26. Kaiser,H., Process for Cleaning up Oil spills, U.S.Patent 3.635.319 Jan.1970
27. Beaman,J.J., Reconditioning of suspensions used in the separation of minerals, U.S.Patent 3.637.294 Aug.1972
28. Rosensweig,R.E., Resnick,J. and Berger,L., Magnetic fluid display device, U.S.Patent 3.643.269, March, 1972
29. Newbower,S.R., Magnetic Fluids in the blood, Ann Trans.on Magnetics MAG-5, nr.5, Sept.1973, p.447
30. Koskowitz,H. and Ezekiel,D.F., Magnetic fluid something to consider, Instruments control systems, Oct.1971, p.10

31. Bădescu,R., Călugăru,Gh., Magnetoviscozimetru automat pentru studiul ferrofluidelor, EEA, Automatică și Electrică, 20, nr.3, 1976, p.144
32. Călugăru,Gh., Contribution à l'étude du mécanisme de l'effect Procopin, C.R.Acad.Paris 268, 1969, p.328
33. Călugăru,Gh., Bădescu,R., Magnetoviscozitatea coloiziilor magnetici de Fe_3O_4 , Lucrările primei conferințe naționale de magnetism, 27, dec. Iași 1974, p.218
34. Călugăru,Gh., Cotae,G., Bădescu,E., Bădescu V., Luca,E., Annew aspect of the movement of ferrofluids in a rotating magnetic field, Rev.Roum.Phys.21, nr.4, 1976,p.439
35. Călugăru,Gh., Bădescu,R., Luca,E., Magnetoviscoziti of the ferrofluids, Rev.Roum.Phys., 21, nr.3, 1976, p.305
36. Cotae,E., Bădescu,V., Călugăru,Gh., Mișcarea ferrofluidelor într-un cîmp magnetic rotitor, Colocviul național al tineretului de probleme de fizică și domenii conexe, Suceava 9-11 sept.1976
37. Luca,E., Cotae,G., Călugăru,Gh., L'effet procopi sur les ferrofluids, Buletinul Institutului politehnic Iași, Secția 1, Fasc.3-4, 1976, p.87
38. Anton,I., Vékás,L., Potenz,I., Suciu,E., Mișcarea ferrofluidelor sub acțiunea unui cîmp magnetic rotitor.
39. Anton,I., Vékás,L., Potenz,I., Suciu,E., Cercetări experimentale de Ferohidrodinamică.
40. Anton,I., ş.a. Protocol, contract CNST Nr.358 (1976)
41. De Sebata I., Colțeu,A., Frangos,N., Cilindru și elipsoid neliniar în cîmp magnetic uniform. Măsurarea permeabilității fluidelor magnetice. Bil.Si.al inv., editia omagială "Cîntarea României"
42. De Sebata,I., Asupra stărilor hidrostatice ale fluidelor magnetice, Lucrări științifice, seria A, Oradea, 1976-1977
43. Colțeu,A., Forțe în mediile fluide neliniare, Bil.Si. tehnici și APVT tom. 22(36), Fasc.1 - 1977.
44. Mcague,J.R., Magnetoviscozity of Magnetic Colloids, The Journal of Chemical Physics, 61, nr.1, July 1974, p.133

45. Hall,W.F., and Busenberg,N.S., Viscosity of Magnetic Suspensions, The Journal of Chemical Physics 51, nr.1, july 1969, p.137
46. Rosensweig,R.E., Kaiser,H, and Liskolczi,G., Viscosity of Magnetic Fluid in a Magnetic Field, Journal of Colloid and Interface Science, 29, nr.4, april 1969, p.630
47. Sliomis,L.I., Effectivnaia viazkosti magnitnih suspenzii, Jurnal experimentalnoi i teoreticeskoj fiziki, 61, nr.6 (12), 1971, p.2411
48. Kozgovoii,E., Blum,E., Tebers,A., Tocenie ferromagnitnoi vjazkosti v magnitnom pole, Magnitnaia Ghidrodinamica, Nr.1, 1973, p.61
49. Landau,L., Lifchitz,E., Électrodynamique des milieux continus, Éditions Mir, Moscou, 1969, p.35
50. Durand,E., Electrostatique et magnetostatique, Lasson &Co, Paris 1953
51. Nădălet,R., Bazele teoretice ale electrotehnicii, Bucureşti Litografia învățământului, 1959, vol.1 p.355
52. Andronescu,P., Bazele electrotehnicii, Bucureşti, Didactică și pedagogică, vol.1, p.111
53. Stratton, Théorie de l'électromagnétisme, Paris, Ec. Sup. 1961
54. Tugulea A., Tîmotin,A., Condițiile de unicitate în determinarea cimpurilor electrostatice și magnetice coexistente în materiale neliniare cu polarizare reversibilă și magnetizare reversibilă, Studii și cercetări de energetica și electrotehnică, Tom 53, nr.3, p-531-537
55. Haiffert,A., Bobone,N., Dielectric behaviors of a ferrofluid subjected to a uniform magnetic field, Second International Conference on Magnetic Fluids 1980
56. Landau, L., Lifchitz,E., Electrodynamique des milieux continus, Éditions Mir, Moscou, 1969, p.109
57. Cowley,M.D., Rosensweig,R.E., The interfacial stability of a ferromagnetic fluid, J.of Fluid Mech . Cambridge University Press, 1967, V.30 part 4, p.71
58. Rosensweig,R.E., "Ferrohydrodynamics" The Longman Scientific Dictionary of Physics (Pergamon Press), p.212-217

55. Brown,N.F., Electric and Magnetic Forces : A Direct calculation, Am.J.of Phys., 19, p.280-284, 1951
60. Timotin,A., Generalizarea teoremeelor forțelor Lagrangeiene, Electrotehnica București nr.4, 1958, p.119
61. De Sabata,I., Bazele electrotehnicii, Timișoara Ed.IPT, 1974, V.I, p.144
62. Hăduleț,R., Bazele teoretice ale electrotehnicii, vol.I, București, Litografia învățământului, 1955, p.433
63. Popescu,C., Curs de materiale electrotehnice, București, Ed. de Stat didactică și pedagogică, 1960, p.293
64. De Sabata,I., bazele electrotehnicii, vol.I, Timișoara Centru de multiplicare IPTVT 1972, p.273-293
65. De Sabata,I., Bazele electrotehnicii, vol.I, Timișoara Centru de multiplicare a IPTVT, 1972 p.149
66. Babe,B., Unele considerații privind forțele efective și echivalente exercitate de cimpul electromagnetic microscopic asupra mediilor fluide. Studii și cercetări a energetici și electrotehnici, tom. XI p. 1971
67. Toma,L.B., bazele teoriei electricității, fizico-technică, București, 1957, p.265
68. Timotin,A., Teză de doctorat, București, 1957
69. Rivquier,A.B., Jones,F.B., hydrostatic profiles of magnetofluidic plasma & vertical current-carry wire. The injection of fluids, 17, nr.10, 1974, p.1331
70. Moskowitz,N., what is new in ferrofluidic applications, Research Development, May 1974 vol.15, no.5, p.1-16
71. De Sabata,I., bazele electrotehnicii vol.I, Centrul de multiplicare IPTVT, 1974 p.95
72. Rosenblatt,N.B., progress in ferromagnetodynamics, Encycl. Sci. & Tech., 1970, p.36.
73. De Sabata I. A.Cotter, Sur la théorie des champs électrocinétiques distribués sur des surfaces, Bul. St. și Tehn al IPTVT, tom 25(37) fasc 2 - 1978.
74. De Sabata I. A.Cotter, N.François-, Măsurarea curentilor contrari măseni folosind lichide magnetice, Metodologie optica, vol. XXVII 1980 nr.3.